

**SISTEM PENDETEKSI KELAYAKAN AIR MINUM DALAM KEMASAN
BERBASIS MIKROKONTROLER**



SKRIPSI

*Diajukan untuk Memenuhi Salah Satu Syarat Guna Mencapai Gelar
Sarjana Komputer pada Jurusan Teknik Informatika
Fakultas Sains dan Teknologi
UIN Alauddin Makassar*

UNIVERSITAS ISLAM NEGERI

ALAUDDIN

MAKASSAR

Oleh :

AAN SULFIKAR

60200108033

**JURUSAN TEKNIK INFORMATIKA
FAKULTAS SAINS DAN TEKNOLOGI
UNIVERSITAS ISLAM NEGERI (UIN) ALAUDDIN
MAKASSAR**

2013

PERNYATAAN KEASLIAN SKRIPSI

Saya yang bertanda tangan di bawah ini :

Nama : Aan Sulfikar

NIM : 60200108033

Jurusan : Teknik Informatika

Judul Skripsi : Sistem Pendeteksi Kelayakan Air Minum Dalam Kemasan
Berbasis Mikrokontroler

Menyatakan dengan sebenarnya bahwa skripsi yang saya tulis ini benar merupakan hasil karya saya sendiri dan bukan merupakan pengambilalihan tulisan atau pikiran orang lain yang saya akui sebagai hasil tulisan atau pikiran sendiri.

Apabila dikemudian hari terbukti atau dapat dibuktikan bahwa skripsi ini hasil jiplakan, maka saya bersedia menerima sanksi atas perbuatan tersebut sesuai ketentuan yang berlaku.



Makassar, 08 Februari 2013

Penyusun,

AAN SULFIKAR
NIM : 60200108033

PERSETUJUAN PEMBIMBING

Pembimbing penulisan skripsi saudara **Aan Sulfikar**, NIM : **60200108033**, mahasiswa Jurusan Teknik Informatika pada Fakultas Sains dan Teknologi Universitas Islam Negeri (UIN) Alauddin Makassar, setelah dengan seksama meneliti dan mengoreksi skripsi yang bersangkutan dengan judul, “**Sistem Pendeteksi Kelayakan Air Minum Dalam Kemasan Berbasis Mikrokontroler**”, memandang bahwa skripsi tersebut telah memenuhi syarat-syarat ilmiah dan dapat disetujui untuk diajukan ke sidang *Munaqasyah*.

Demikian persetujuan ini diberikan untuk proses selanjutnya.

Makassar, 08 Februari 2013

Pembimbing I

UNIVERSITAS ISLAM NEGERI Pembimbing II

ALAUDDIN
M A K A S S A R

Abdul Wahid, S.T., M.Kom

Faisal, S.T., M.T

PENGESAHAN SKRIPSI

Skripsi yang berjudul, “**Sistem Pendeteksi Kelayakan Air Minum Dalam Kemasan Berbasis Mikrokontroler**”, yang disusun oleh Saudara Aan Sulfikar, NIM : 60200108033, Mahasiswa Jurusan Teknik Informatika pada Fakultas Sains dan Teknologi Universitas Islam Negeri (UIN) Alauddin Makassar, telah diuji dan dipertahankan dalam sidang Munaqasyah yang diselenggarakan pada hari senin tanggal 18 Februari 2013, dinyatakan telah dapat diterima sebagai salah satu syarat untuk memperoleh gelar Sarjana Komputer dalam Jurusan Teknik Informatika dengan beberapa perbaikan.

Makassar, 18 Februari 2013

DEWAN PENGUJI:

- | | | | |
|-------------------|---|-------------------------------------|------------|
| 1. Ketua | : | Dr. Muhammad Khalifah Mustami, M.Pd | () |
| 2. Sekretaris | : | Wasilah, S.T., M.T | () |
| 3. Munaqasyah I | : | Mustikasari, S.Kom., M.Kom | () |
| 4. Munaqasyah II | : | Nur Afif, S.T., M.T | () |
| 5. Munaqasyah III | : | Dr. H. Muslimin Kara, M.Ag | () |
| 6. Pembimbing I | : | Abdul Wahid, S.T., M.Kom | () |
| 7. Pembimbing II | : | Faisal, S.T., M.T | () |

Diketahui oleh :
 Dekan Fakultas Sains dan Teknologi
 UIN Alauddin Makassar

Dr. Muhammad Khalifah Mustami, M.Pd
NIP. 19710412 200003 1 001

KATA PENGANTAR

بِسْمِ اللَّهِ الرَّحْمَنِ الرَّحِيمِ

Assalamu Alaikum Wr. Wb.

Alhamdulillah, puji syukur penulis panjatkan kehadiran Allah SWT karena atas limpahan rahmat dan hidayah-Nya sehingga penulis dapat menyelesaikan skripsi yang berjudul **“Sistem Pendeteksi Kelayakan Air Minum Dalam Kemasan Berbasis Mikrokontroler”** ini sebagai salah satu syarat meraih gelar kesarjanaan pada Jurusan Teknik Informatika Fakultas Sains dan Teknologi Universitas Islam Negeri Alauddin Makassar.

Selama proses perancangan alat, penelitian, hingga penyusunan skripsi ini, penulis merasakan banyak hambatan dan kesulitan hingga membuat penulis hampir berputus asa. Namun berkat tekad dan kerja keras penulis serta dorongan dan bimbingan dari berbagai pihak, akhirnya penulis dapat menyelesaikan skripsi ini walaupun dalam bentuk yang sangat sederhana.

Oleh karena itu, melalui kesempatan ini penulis mengucapkan terima kasih yang sebesar-besarnya kepada :

1. Ayahanda Abbas Bangsawan dan Ibunda Nuraeni, atas segala doa, motivasi, dan pengorbanan yang dilakukan selama mendampingi penulis dalam penyelesaian

skripsi ini. Tak akan pernah cukup kata untuk mengungkapkan rasa terima kasih Ananda buat ayahanda dan ibunda tercinta.

2. Bapak Prof. Dr. H. A. Qadir Gassing, HT.MS. selaku Rektor Universitas Islam Negeri (UIN) Alauddin Makassar.
3. Bapak Dr. Muhammad Khalifah Mustami, M.Pd, selaku Dekan Fakultas Sains dan Teknologi Universitas Islam Negeri (UIN) Alauddin Makassar.
4. Bapak Faisal, S.Kom., M.Kom, dan Bapak Nur Afif, S.T., M.T masing-masing selaku Ketua dan Sekretaris Jurusan Teknik Informatika.
5. Bapak Yusran Bobihu, S.Kom., M.Si. selaku Ketua Jurusan Sistem Informasi.
6. Bapak Abdul Wahid, S.T, M.Kom, selaku Pembimbing I dan Bapak Faisal, S.T., M.T, selaku Pembimbing II yang telah membimbing dan membantu penulis untuk mengembangkan pemikiran dalam penyusunan skripsi ini hingga selesai.
7. Dosen, Staf, dan Karyawan Fakultas Sains dan Teknologi UIN Alauddin Makassar yang telah banyak memberikan sumbangsih baik tenaga maupun pikiran.
8. Kakanda Ansari Pratama dan Andina Dewi Kasmiani, yang telah sabar menghadapi tingkah laku penulis pada saat penyusunan skripsi ini.
9. Masyithah MS yang telah memberikan sumbangsih tenaga, waktu dan pikiran dalam menyelesaikan skripsi ini.
10. Teman terbaikku Arif Rivai, Arfan Zarkasi, Faisal Nur Resky, Fakhrol Ulum, Ajriani Syam, Kiki Amalia Kasi, Farlinda, Rosyanti dan Sri Amelia Sandi.

11. Teman-temanku sesama pejuang Teknik Informatika 2008 yang telah menjadi saudara seperjuangan menjalani suka dan duka bersama dalam menempuh pendidikan di kampus ini.
12. Seluruh pihak yang tidak dapat penulis sebutkan satu per satu, namun telah banyak terlibat membantu penulis dalam proses penyusunan skripsi ini.

Semoga Allah SWT senantiasa melimpahkan rahmat dan hidayah-Nya kepada kita semua. Seiring dengan itu pula penulis menghaturkan permohonan maaf kepada semua pihak, apabila selama proses penyusunan skripsi ini ada tutur kata tak terjaga, perilaku, dan karakter penulis yang tak terkontrol, yang tidak berkenan di hati Bapak, Ibu, dan seluruh pihak yang tidak dapat penulis sebutkan satu per satu, mohon kiranya dimaafkan karena penulis adalah manusia biasa yang tidak pernah luput dari kesalahan dan kekhilafan.

Akhir kalimat, semoga skripsi ini dapat bermanfaat bagi kita semua terlebih lagi kepada penulis sebagai penyusun.



Makassar, 08 Februari 2013

Penulis

DAFTAR ISI

HALAMAN JUDUL.....	i
ABSTRAK	ii
PERSETUJUAN PEMBIMBING.....	iii
PERNYATAAN KEASLIAN SKRIPSI.....	iv
PENGESAHAN SKRIPSI	v
KATA PENGANTAR	vi
DAFTAR ISI.....	ix
DAFTAR TABEL.....	xii
DAFTAR GAMBAR	xv
BAB I PENDAHULUAN	1
A. Latar Belakang.....	1
B. Rumusan Masalah.....	3
C. Batasan Masalah.....	3
D. Pengertian Judul.....	4
E. Tujuan dan Kegunaan Penelitian	5
BAB II KAJIAN PUSTAKA	6
A. Tinjauan Pustaka.....	6
B. Landasan Teori	7
1. Air Minum Dalam Kemasan (AMDK).....	7
2. <i>Total Dissolved Solids</i> (TDS)	8

	3. Mikrokontroler AVR ATmega 8535.....	9
	4. <i>Liquid Crystal Display</i> (LCD).....	23
	5. Op-Amp IC LM741	24
	6. Elektrolisa Air.....	25
	7. <i>Sensor Infrared</i>	26
	8. <i>Relay</i>	27
	9. <i>Flowchart</i>	28
	10. Sistem <i>Realtime</i>	29
	11. <i>Code Vision</i>	30
	12. <i>Visual Basic 6.0</i>	31
	13. <i>Blackbox Testing</i>	34
BAB III	METODOLOGI PENELITIAN	35
	A. Lokasi Penelitian	35
	B. Alat dan Bahan	35
	C. Metode Penelitian	36
BAB IV	ANALISIS DAN DESAIN SISTEM.....	38
	A. Analisis Sistem	38
	B. Desain Sistem	40
	1. Perancangan Perangkat Keras.....	40
	2. Perancangan Perangkat Lunak.....	43
BAB V	IMPLEMENTASI DAN PENGUJIAN SISTEM.....	52
	A. Implementasi	52

1. Hasil Perancangan Perangkat Keras	52
2. Hasil Perancangan Perangkat Lunak	58
B. Pengujian Sistem.....	64
1. Pengujian Perangkat Keras	64
2. Pengujian Perangkat Lunak	78
BAB VI PENUTUP	83
A. Kesimpulan	83
B. Saran	84
DAFTAR PUSTAKA	85
LAMPIRAN	
RIWAYAT HIDUP PENULIS	

DAFTAR TABEL

Tabel II.1.	Pemilihan Tegangan Referensi	20
Tabel II.2.	Pemilihan <i>Chanel Input</i>	20
Tabel II.3.	<i>ADC Prescaler</i>	22
Tabel II.4.	Simbol dalam <i>Flowchart</i>	28
Tabel II.5.	Simbol dalam Diagram <i>Realtime</i>	29
Tabel IV.1.	Rancangan Tabel AIR.....	46
Tabel IV.2.	Rancangan Tabel login	46
Tabel V.1.	Pengujian Tegangan Pada Sensor <i>Infrared</i>	64
Tabel V.2.	Perbandingan nilai TDS antara AMDK merek A pada tempat sejuk dan tempat bersuhu tinggi	65
Tabel V.3.	Perbandingan nilai TDS antara AMDK merek A pada tempat sejuk dan tempat bersuhu rendah	65
Tabel V.4.	Perbandingan nilai TDS antara AMDK merek B pada tempat sejuk dan tempat bersuhu tinggi	66
Tabel V.5.	Perbandingan nilai TDS antara AMDK merek B pada tempat sejuk dan tempat bersuhu rendah	66
Tabel V.6.	Perbandingan nilai TDS antara AMDK merek C pada tempat sejuk dan tempat bersuhu tinggi	67
Tabel V.7.	Perbandingan nilai TDS antara AMDK merek C pada tempat sejuk dan tempat bersuhu rendah	68

Tabel V.8. Perbandingan nilai TDS antara AMDK merek D pada tempat sejuk dan tempat bersuhu tinggi	68
Tabel V.9. Perbandingan nilai TDS antara AMDK merek D pada tempat sejuk dan tempat bersuhu rendah	69
Tabel V.10. Perbandingan nilai TDS antara AMDK merek E pada tempat sejuk dan tempat bersuhu tinggi	69
Tabel V.11. Perbandingan nilai TDS antara AMDK merek E pada tempat sejuk dan tempat bersuhu rendah	70
Tabel V.12. Perbandingan nilai TDS antara AMDK merek F pada tempat sejuk dan tempat bersuhu tinggi	71
Tabel V.13. Perbandingan nilai TDS antara AMDK merek F pada tempat sejuk dan tempat bersuhu rendah	71
Tabel V.14. Perbandingan nilai TDS antara AMDK merek G pada tempat sejuk dan tempat bersuhu tinggi	72
Tabel V.15. Perbandingan nilai TDS antara AMDK merek G pada tempat sejuk dan tempat bersuhu rendah	72
Tabel V.16. Perbandingan nilai TDS antara AMDK merek H pada tempat sejuk dan tempat bersuhu tinggi	73
Tabel V.17. Perbandingan nilai TDS antara AMDK merek H pada tempat sejuk dan tempat bersuhu rendah	74
Tabel V.18. Perbandingan nilai TDS antara AMDK merek I pada tempat sejuk dan tempat bersuhu tinggi	74

Tabel V.19. Perbandingan nilai TDS antara AMDK merek I pada tempat sejuk dan tempat bersuhu rendah	75
Tabel V.20. Perbandingan nilai TDS antara AMDK merek J pada tempat sejuk dan tempat bersuhu tinggi	75
Tabel V.21. Perbandingan nilai TDS antara AMDK merek J pada tempat sejuk dan tempat bersuhu rendah	76
Tabel V.22. Perbandingan rata-rata persentase nilai TDS beberapa merek AMDK tempat bersuhu tinggi dan tempat bersuhu rendah	77
Tabel V.23. Hasil Pengujian Sistem Secara Keseluruhan	77

DAFTAR GAMBAR

Gambar II.1.	Chip Mikrokontroler Atmega8535	9
Gambar II.2.	Diagram Blok ATmega8535	11
Gambar II.3.	Konfigurasi Pin Mikrokontoler ATmega8535	12
Gambar II.4.	Diagram Blok ATmega8535	13
Gambar II.5.	Minimum sistem mikrokontroler ATmega8535	15
Gambar II.6.	Register Memori AVR ATmega8535.....	16
Gambar II.7.	Diagram Blok ADC	18
Gambar II.8.	ADC Multipexer.....	19
Gambar II.9.	ADC Control dan Status Register.....	21
Gambar II.10.	Data Register ADC, ADCL dan ADCH	22
Gambar II.11.	LCD Tipe Karakter 16x2	23
Gambar II.12.	Konfigurasi Pin IC Op-Ap 741	24
Gambar II.13.	Elektrolisa Air	25
Gambar II.14.	Sensor Infrared	26
Gambar II.15.	Relay.....	27
Gambar IV.1.	Diagram Rancangan Sistem	40
Gambar IV.2.	Flowchart	42
Gambar IV.3.	Diagram Realtime.....	43
Gambar IV.4.	Interface Code Vision.....	44
Gambar IV.5.	Membuat File Project Baru	45

Gambar IV.6.	<i>Project</i> Baru Menggunakan <i>Code Vision AVR</i>	45
Gambar IV.7.	<i>Interface Visual Basic 6.0</i>	45
Gambar IV.8.	<i>Project</i> Baru	46
Gambar IV.9.	Rancangan <i>Form Login</i>	47
Gambar IV.10.	Rancangan <i>Form Menu Utama</i>	47
Gambar IV.11.	Rancangan <i>Form Sub Menu</i>	48
Gambar IV.12.	Rancangan <i>Form Sub Menu Proses Form Data</i>	48
Gambar IV.13.	Rancangan <i>Form Sub Menu Lihat Data</i>	49
Gambar IV.14.	Rancangan <i>Form Sub Menu Ubah Akun</i>	49
Gambar IV.15.	Rancangan <i>Form Sub Cetak</i>	50
Gambar IV.16.	Rancangan <i>Form Sub Cetak Berdasarkan Kode</i>	50
Gambar IV.17.	Rancangan <i>Form Sub Cetak Berdasarkan Nama</i>	50
Gambar IV.18.	Rancangan <i>Form Sub Bantuan</i>	51
Gambar V.1.	Sistem Pendeteksi Kelayakan AMDK Berbasis Mikrokontroler..	52
Gambar V.2.	Minimum Sistem Mikrokontroler Atmega8535.....	52
Gambar V.3.	Rangkaian LCD.....	53
Gambar V.4.	Rangkaian <i>Infrared</i>	54
Gambar V.5.	Regulator Tegangan	54
Gambar V.6.	Rangkaian Elektrolisa Air	55
Gambar V.7.	<i>Form Login</i>	58
Gambar V.8.	<i>Form Menu Utama</i>	59
Gambar V.9.	<i>Form Sub Menu Utama</i>	60

Gambar V.10.	<i>Form Data</i>	60
Gambar V.11.	<i>Form Lihat Data</i>	61
Gambar V.12.	<i>Form Sub Menu Cetak</i>	61
Gambar V.13.	<i>Form Cetak Berdasarkan Kode dan Nama</i>	62
Gambar V.14.	<i>Form Ubah Akun</i>	62
Gambar V.15.	<i>Form Bantuan</i>	63
Gambar V.16.	<i>Report</i>	63
Gambar V.17.	Tampilan Potongan <i>Form Menu Yang Masuk Sebagai User Umum</i>	79
Gambar V.18.	Tampilan Potongan <i>Form Menu Yang Masuk sebagai Admin</i> ...	79
Gambar V.19.	Tampilan <i>Form Pesan Jika Elemen Kosong</i>	80
Gambar V.20.	Tampilan <i>Form Pesan Jika Elemen Telah Terpakai Sebelumnya</i>	80
Gambar V.21.	Tampilan <i>Form Lihat Data Jika Masuk Sebagai Admin</i>	81
Gambar V.22.	Tampilan <i>Form Lihat Data Jika Masuk Sebagai User Umum</i>	81
Gambar V.23.	Tampilan <i>Report Jika Nama Atau Kode Tidak Sesuai</i>	82

ABSTRAK

Nama Penulis : Aan Sulfikar
Nim : 60200108033
Jurusan : Teknik Informatika
Judul : Sistem Pendeteksi Kelayakan Air Minum Dalam Kemasan Berbasis Mikrokontroler
Pembimbing : 1. Abdul Wahid, S.T, M.kom
2. Faisal, S.T.,M.T.

Perkembangan teknologi mikrokontroler telah membawa era baru dalam dunia elektronika. Salah satu bentuk penerapannya adalah sistem pendeteksi kelayakan air minum dalam kemasan, dimana alat ini berfungsi untuk menampilkan kadar TDS pada LCD dan *report* sehingga dapat mengetahui layak atau tidaknya air itu untuk dikonsumsi. Dalam perancangan alat ini, menggunakan mikrokontroler ATmega8535, *infrared*, elektrolisa air dan bahasa pemrograman *Visual Basic*.

Penelitian ini menggunakan metode penelitian kualitatif dengan pengujian *blackbox* yang berfokus pada persyaratan fungsional perangkat lunak.

Hasil dari rancangan sistem pada tugas akhir ini adalah sebuah penampil informasi yang memudahkan masyarakat untuk mengetahui layak atau tidaknya Air Minum Dalam Kemasan (AMDK) itu dikonsumsi, dimana standar TDS (*Total Dissolved Solids*) air menurut *World Health Organization* (WHO) dan Badan Pengawas Obat dan Makanan (BPOM) adalah 50 ppm. Alat ini juga dapat membantu BPOM dalam meneliti AMDK yang layak beredar di pasaran.

Dari Pengujian AMDK diketahui bahwa terjadi perbedaan nilai antara AMDK yang diletakkan di tempat sejuk dan AMDK yang diletakkan di tempat yang bersuhu tinggi yaitu sebesar 34,77% serta tempat yang bersuhu rendah yaitu sebesar 32,32%.

Dari hasil pengujian sistem secara keseluruhan didapatkan hasil dari beberapa contoh AMDK seperti merek A yaitu 131,96ppm, merek B yaitu 170,08ppm dan merek C yaitu 133,91ppm masih berbeda dengan data dari BPOM. Dimana dari data BPOM untuk merek A yaitu 139ppm, merek B yaitu 180ppm dan merek C yaitu 144ppm. Perbedaan tersebut berkisar 8,855 %. Perbedaan yang terjadi pada sistem dikarenakan faktor dalam seperti sensor yang digunakan kurang presisi dalam menangkap sinyal yang dipancarkan oleh *infrared* serta faktor luar seperti kontaminasi sinar matahari langsung, perubahan suhu dan kelembaban pada saat AMDK tersebut diuji. Namun secara keseluruhan alat yang dibuat, dapat bekerja dan berfungsi dengan baik, karena rata-rata perbedaan yang dihasilkan tidak melebihi batas toleransi sebesar 10%.

Kata Kunci: *Mikrokontroler, Sistem, Air, Air Minum Dalam Kemasan, Atmega 8535.*

BAB I

PENDAHULUAN

A. Latar Belakang

Air merupakan sumber daya alam yang sangat penting dalam kehidupan manusia dan digunakan untuk berbagai kegiatan sehari-hari, termasuk kegiatan pertanian, perikanan, peternakan, industri, pertambangan dan sebagainya. Hal ini juga dijelaskan secara luas dalam Q.S. Al-Anbiya ayat 30.



 أَوَلَمْ يَرِ الَّذِينَ كَفَرُوا أَنَّ السَّمَوَاتِ وَالْأَرْضَ كَانَتَا رَتْقًا فَفَتَقْنَاهُمَا ۖ وَجَعَلْنَا مِنَ
 الْمَاءِ كُلَّ شَيْءٍ حَيٍّ أَفَلَا يُؤْمِنُونَ ﴿٣٠﴾

Terjemahnya :

Dan Apakah orang-orang yang kafir tidak mengetahui bahwasanya langit dan bumi itu keduanya dahulu adalah suatu yang padu, kemudian Kami pisahkan antara keduanya. dan dari air Kami jadikan segala sesuatu yang hidup. Maka Mengapakah mereka tiada juga beriman? (Departemen Agama RI, 2005).

Berdasarkan ayat di atas menunjukkan bahwa air sebagai sumber kehidupan.

Dari ayat ini dapat dipahami bahwa air menjadi tiang dan pokok bagi penciptaan ilahi. Air adalah pokok bagi segala fenomena alam. Artinya, tanpa air kehidupan akan tiada.

Dewasa ini, masalah utama sumber daya alam air meliputi kuantitas air yang sudah tidak mampu memenuhi kebutuhan manusia yang terus meningkat dan kualitas air untuk keperluan domestik terus menurun khususnya untuk air minum. Hal ini

terutama disebabkan karena kerusakan lingkungan seperti perambahan hutan, pengalihan fungsi lahan hijau yang merupakan daerah resapan air dan kegiatan lain yang berdampak negatif terhadap sumber daya air, antara lain penurunan kualitas air.

Penurunan kualitas air sangat mempengaruhi stabilitas kehidupan makhluk hidup utamanya manusia. Menurut pakar kesehatan Dr. Suroso Adi Yudianto, M.Pd. tanpa air manusia hanya bisa bertahan hidup selama 9-10 hari, sedangkan tanpa makanan manusia bisa bertahan hidup selama 45-65 hari. Komposisi manusia dewasa sekitar 60-70% terdiri dari air. Air dibutuhkan oleh semua bagian tubuh manusia untuk dapat melakukan aktivitasnya.

Jumlah air yang dibutuhkan oleh tubuh sangat bervariasi, tergantung dari jenis makanan yang dikonsumsi, suhu dan kelembapan lingkungan, tingkat aktivitas tubuh, jenis kelamin, serta usia dan kondisi tubuh. Kira-kira tubuh memerlukan sekitar 2-2,5 liter air perhari, jumlah kebutuhan air ini sudah termasuk asupan dari air minum dan makanan.

Berdasarkan hal tersebut maka diperlukan air minum yang bersih dan higienis agar dalam pengonsumsiannya tubuh tetap sehat dan terjaga. Salah satu solusi yang ada sekarang ini yaitu dengan memanfaatkan Air Minum Dalam Kemasan (AMDK) yang dapat dengan mudah dijumpai di toko-toko terdekat. Namun inilah yang menjadi permasalahan karena banyak AMDK yang beredar yang tidak sesuai dengan ketentuan yang diberlakukan sehingga sama saja dapat berdampak buruk bagi kesehatan manusia.

Peredaran AMDK yang beredar di masyarakat sangat banyak dan sulit dilacak oleh Badan Pengawas Obat dan Makanan (BPOM). Dalam peredarannya masih terdapat beberapa AMDK yang tidak sesuai dengan standar kelayakan yang berlaku.

Berdasarkan data tersebut maka diperlukan suatu sistem yang bisa mendeteksi AMDK secara cepat dan mudah agar dapat mengetahui layak atau tidaknya AMDK beredar di pasaran sehingga kesehatan konsumen dapat dijaga.

B. Rumusan Masalah

Berdasarkan latar belakang yang telah diuraikan di atas, maka dapat dirumuskan permasalahan yaitu;

1. Bagaimana mendeteksi kelayakan Air Minum Dalam Kemasan (AMDK).
2. Bagaimana merancang sebuah alat pendeteksi kelayakan Air Minum Dalam Kemasan (AMDK) dengan mikrokontroler AVR ATmega8535.

C. Batasan Masalah

Adapun batasan masalah yang akan teliti adalah :

1. Parameter yang digunakan dalam menentukan kelayakan AMDK adalah kandungan *Total Dissolved Solids* (TDS) dimana jika kandungan TDSnya melebihi 50 ppm maka AMDK tersebut tidak layak untuk dikonsumsi.
2. Sampel yang diuji adalah AMDK atau air mineral yang beredar di masyarakat.
3. Informasi yang dikirimkan berupa layak atau tidak Air Minum Dalam Kemasan (AMDK) yang ditampilkan pada LCD dan berupa sertifikat pada PC.

D. Pengertian Judul

Untuk menghindari kesalahan pembaca dalam menafsirkan atau memaknai judul skripsi ini, maka penulis dapat menjelaskan beberapa istilah antara lain :

1. Sistem

Sistem adalah sekumpulan unsur atau elemen yang saling berkaitan dan saling mempengaruhi dalam melakukan suatu kegiatan bersama untuk mencapai suatu tujuan.

Menurut Mc. Leod (1995) dalam buku Hanif Al Fattah mendefinisikan sistem sebagai sekelompok elemen-elemen yang terintegrasi dengan maksud yang sama untuk mencapai tujuan.(Al-Fattah 2007, 3)

Ludwig Von Bertalanfy (2001) dalam buku Analisis dan Perancangan Sistem mendefinisikan sistem adalah seperangkat unsur yang saling terikat dalam suatu antar relasi diantara unsur-unsur tersebut dengan lingkungan.

2. Pendeteksi

Pendeteksi adalah sesuatu yang digunakan untuk menemukan dan menentukan keberadaan (Kamus Besar Bahasa Indonesia, 2005:378).

3. Kelayakan

Kelayakan adalah hal yang patut atau dapat dikatakan kepatutan, yang pantas (Kamus Besar Bahasa Indonesia, 2005:872).

4. Air Minum Dalam Kemasan (AMDK)

Air Minum Dalam Kemasan (AMDK) adalah air baku yang telah diproses, dikemas dan aman mencakup air mineral dan demineral.

5. Mikrokontroler

Arie Setiawan (2010) mendefinisikan, mikrokontroler adalah suatu alat elektronika digital yang mempunyai masukan dan keluaran serta kendali dengan program yang bisa ditulis dan dihapus dengan cara khusus. Menurut Ardi Winoto (2008), mikrokontroler adalah sistem *microprosesor* dimana di dalamnya sudah terdapat CPU, ROM, RAM, I/O, *Clock* dan peralatan *internal* lainnya yang sudah saling terhubung dan terorganisasi dengan baik oleh pabrik pembuatnya dan dikemas dalam satu *chip* yang siap pakai.

Sedangkan menurut Zerfani Yulias (2011), mikrokontroler adalah sebuah *chip* terintegrasi yang menjadi bagian dari sebuah sistem yang didesain untuk melakukan satu atau lebih fungsi khusus (Setiawan, 2010 : 10).

E. Tujuan dan Kegunaan Penelitian

1. Tujuan Penelitian

Adapun tujuan penelitian ini adalah merancang sebuah sistem yang dapat mendeteksi kelayakan air minum kemasan berbasis mikrokontroler.

2. Kegunaan Penelitian

- a. Kegunaan teoritis, yaitu sebagai referensi bagi mahasiswa lain yang melakukan penelitian dalam rangka pengembangan disiplin ilmu mikrokontroler dan pemrograman.
- b. Kegunaan praktis, yaitu diharapkan dapat berguna bagi masyarakat, untuk membantu masyarakat dalam menyeleksi dan mengetahui AMDK yang mana sajakah yang layak atau tidak untuk dikonsumsi.

BAB II

KAJIAN PUSTAKA

A. Tinjauan Pustaka

Prinsip kerja Sistem Pendeteksi Kelayakan Air Minum Dalam Kemasan Berbasis Mikrokontroler sebelumnya pernah dibuat oleh mahasiswa jurusan Fisika Universitas Andalas dengan judul Pendeteksi Kekeruhan Air Berbasis Mikrokontroler AT89S51 Dengan Sensor *Fototransistor* dan Led *Infra Merah* (Hedlyni, 2011). Adapun cara kerja dari sistem tersebut yaitu mendeteksi kekeruhan air untuk memberitahukan operator dalam memberikan perlakuan terhadap air keruh tersebut.

Kemudian sistem ini juga pernah dibuat oleh mahasiswa jurusan Kimia Universitas Muhammadiyah Malang dengan judul perencanaan dan pembuatan alat pendeteksi kadar logam pada air di Laboratorium Kimia UMM Berbasis MCU AVR 8535 (Yasir Arafah, 2008). Adapun cara kerja dari sistem ini yaitu mendeteksi logam dalam air menggunakan sensor logam, kemudian hasilnya akan diproses ke bagian Mikrokontroler ATmega8535, selanjutnya *outputnya* akan ditampilkan pada LCD.

Selanjutnya sistem ini juga pernah dibuat oleh mahasiswi jurusan Teknik Komputer Universitas Komputer Indonesia Bandung dengan judul Pendeteksi Kejernihan Air Berbasis Mikrokontroler ATmega8535 (Kholisoh, 2009). Adapun cara kerja dari sistem tersebut yaitu mendeteksi kejernihan air menggunakan sensor *infra merah*. Setelah itu hasilnya dikirim ke Mikrokontroler ATmega8535 dan hasil akhirnya ditampilkan pada LCD.

Dilihat dari sistem yang ada sebelumnya, terdapat beberapa prinsip kerja yang sama yaitu dalam proses pendeteksian kekeruhan air dan logam. Namun, pada Sistem Pendeteksi Kelayakan Air Minum Dalam Kemasan (AMDK) Berbasis Mikrokontroler yang akan dibuat diberi tambahan berupa *output* dalam tampilan LCD dan sistem informasi yang menyatakan layak atau tidaknya AMDK berdasarkan jumlah ppm yang diperoleh dari alat tersebut dan pengujian dikhususkan pada Air Minum Dalam Kemasan (AMDK).

B. Landasan Teori

Untuk memudahkan pengertian dalam judul skripsi ini maka dikemukakan definisi operasional dari beberapa kata yang dianggap perlu sebagai berikut:

1. Air Minum Dalam Kemasan (AMDK)

Air Minum Dalam Kemasan (AMDK) adalah air baku yang telah diproses, dikemas dan aman mencakup air mineral dan demineral.

Menurut data dari Badan Pengawas Obat dan Makanan (BPOM) dan *World Health Organization* (WHO) dalam edisi *Guidelines for Drinking-water Quality*, bila kandungan unsur padat yang terlarut dalam air diantaranya seperti aluminium, besi, perak, seng, mangan, garam (*Total Dissolved Solids*) lebih dari 50 ppm (*Parts Per Million*) dianggap tubuh tidak bisa memproses secara baik dan tidak sanggup diuraikan oleh organ-organ dengan baik. Risikonya akan terjadi endapan di organ vital.

Menurut standar pemerintah Amerika Serikat, badan *Food and Drug Administration* (FDA) air minum yang dimurnikan (*Purified Drinking Water*) harus

memiliki kadar (*Total Dissolved Solids*) atau biasa disingkat TDS di bawah 50 ppm. Padahal banyak AMDK yang beredar di masyarakat Indonesia memiliki nilai TDS antara 70 ppm s/d 100 ppm, bahkan ada yang mencapai 360 ppm. (*World Health Organization*, 1980: 4).

2. Total Dissolved Solids (TDS)

Total Dissolved Solids (TDS) adalah benda padat yang terlarut, yaitu semua mineral, garam, logam, serta *kation-anion* yang terlarut di air. Termasuk semua yang terlarut di luar molekul air murni (H_2O). Secara umum, konsentrasi benda-benda padat terlarut merupakan jumlah antara *kation* dan *anion* di dalam air. TDS terukur dalam satuan *Parts per Million* (ppm) atau perbandingan rasio berat ion terhadap air.

Benda-benda padat di dalam air tersebut berasal dari banyak sumber, organik seperti daun, lumpur, plankton, serta limbah industri dan kotoran. Sumber lainnya bisa berasal dari limbah rumah tangga, pestisida, dan banyak lainnya. Sedangkan, sumber anorganik berasal dari batuan dan udara yang mengandung kalsium bikarbonat, nitrogen, besi, fosfor, sulfur, dan mineral lain. Semua benda ini berbentuk garam, yang merupakan perpaduan antara logam dan non logam. Garam-garam ini biasanya terlarut di dalam air dalam bentuk ion, yang merupakan partikel yang memiliki kandungan positif dan negatif. Air juga mengangkut logam seperti timah dan tembaga saat perjalanannya di dalam pipa distribusi air minum. (*World Health Organization*, 1996: 237-240)

3. Mikrokontroler AVR ATmega 8535

Mikrokontroler AVR ATmega 8535 adalah piranti elektronik berupa IC (*Integrated Circuit*) yang memiliki kemampuan manipulasi data (informasi) berdasarkan suatu urutan instruksi (program).

Mikrokontroler sering juga disebut sebagai mikrokomputer atau *embedded system*. Mikrokontroler dapat dipandang sebagai suatu sistem yang terdiri atas *input*, program, dan *output*. Perancang dapat mengatur perilaku mikrokontroler melalui program.



Gambar II.1: Chip Mikrokontroler Atmega8535

(Sumber: Pemrograman Mikrokontroler AVR ATMEGA 16 Menggunakan Bahasa C, Heri Andrianto)

a. Konsep Mikrokontroler Atmega 8535

Mikrokontroler adalah sebuah sistem mikroprosesor dimana di dalamnya sudah terdapat CPU, ROM, RAM, I/O, *Clock* dan peralatan *internal* lainnya yang sudah saling terhubung dan terorganisasi (teralamat) dengan baik oleh pabrik pembuatnya dan dikemas dalam satu *chip* yang siap pakai. Sehingga pemakai tinggal memprogram isi ROM sesuai aturan penggunaan oleh pabrik pembuatnya.

(Winoto, 2008)

Bila dibandingkan dengan mikroprosesor, mikrokontroler jauh lebih unggul. Alasannya sebagai berikut :

- a) Tersedia I/O, I/O dalam mikrokontrolernya sudah tersedia, sementara pada mikroprosesor dibutuhkan IC tambahan untuk menangani I/O tersebut.
- b) Memori *Internal*, memori merupakan media untuk penyimpanan program dan data sehingga mutlak harus ada. Mikroprosesor belum memiliki memori *internal* sehingga memerlukan IC memori *eksternal* (Sridadi, 2009).

Sebagai contoh, salah satu produk yang dibuat dari mikrokontroler adalah robot. Robot adalah sebuah sistem cerdas yang dikembangkan dengan menggunakan mikrokontroler. Pada robot mikrokontroler bertindak sebagai otak dari robot karena mikrokontroler dapat mengolah data dari tiap sensor dan mampu mengendalikan motor penggerak sesuai dengan *feedback* (umpan balik) dari tiap sensor. Hal ini dapat dilakukan karena mikrokontroler memiliki *Arithmetic Logic Unit* (ALU) yang bertugas mengeksekusi (eksekutor) kode program yang ditunjuk oleh program *counter*. (Pitowarno, 2006)

b. Mikrokontroler ATmega8535 (AVR Atmega8535)

Mikrokontroler AVR memiliki arsitektur *RISC* (*Reduced Instruction Set Computing*) 8 bit, dimana semua instruksi dikemas dalam kode 16-bit (*16-bits word*) dan sebagian besar instruksi dieksekusi dalam satu siklus *clock*, berbeda dengan instruksi MCS51 yang membutuhkan 12 siklus *clock*. (Wardhana, 2006)

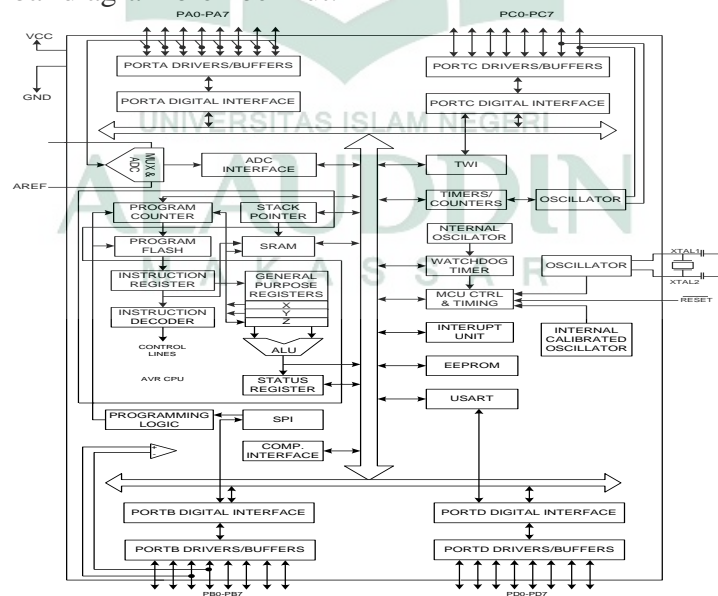
Untuk memahami mikrokontroler ATmega8535 dapat dilihat dari arsitekturnya, sebagai berikut :

Fitur

- a. 8 bit AVR berbasis Risc
- b. Kecepatan maksimal 16 Mhz
- c. Memori
- d. *Timer/Counter*
- e. 8 kanal 10/8 bit ADC.
- f. *Programmable*
- g. Komparator Analog
- h. 32 jalur I/O yang bisa diprogram. (Heryanto dan Wisnu, 2008)

1) Arsitektur Atmega8535

Secara umum arsitektur mikrokontroler ATmega8535 dapat dilihat pada gambar diagram blok berikut:

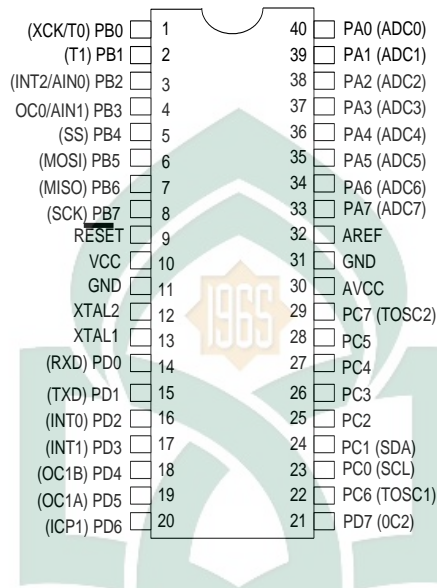


Gambar II.2: Diagram Blok ATmega8535

(Sumber: Pemrograman Mikrokontroler ATMEGA 16 Menggunakan Bahasa C, Heri Andrianto)

2) Konfigurasi Pin Atmega8535

ATmega8535 memiliki jumlah pin sebanyak empat puluh buah dengan 32 jalur I/O yaitu pada port A sampai D. Berikut ini adalah konfigurasi pinnya ;



Gambar II.3 Konfigurasi Pin Mikrokontroler ATmega8535

(Sumber: Pemrograman Mikrokontroler AVR ATMEGA 16 Menggunakan Bahasa C, Heri Andrianto)

a) Fungsi masing-masing Pin ATmega8535

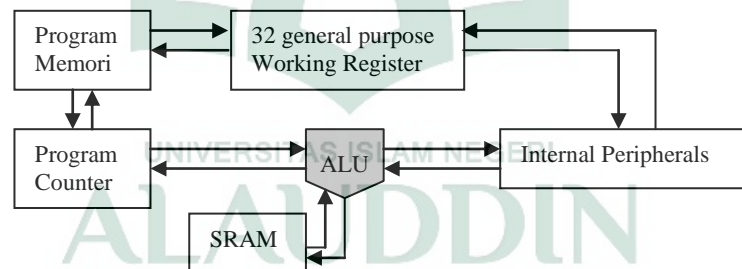
Adapun fungsi dari masing-masing pin pada mikrokontroler ATmega8535 adalah sebagai berikut :

- 1) VCC untuk tegangan pencatu daya positif.
- 2) GND untuk tegangan pencatu daya negatif.
- 3) PortA (PA0 - PA7) sebagai port *Input/Output* dan memiliki kemampuan lain yaitu sebagai *input* untuk ADC

- 4) PortB (PB0 – PB7) sebagai port *Input/Output* dan juga memiliki kemampuan yang lain.
- 5) PortC (PC0 – PC7) sebagai port *Input/Output* untuk ATmega8535.
- 6) PortD (PD0 – PD7) sebagai port *Input/Output* dan juga memiliki kemampuan yang lain.
- 7) *RESET* untuk melakukan *reset* program dalam mikrokontroler.
- 8) XTAL1 dan XTAL2 untuk *input* pembangkit sinyal *clock*.
- 9) AVCC untuk pin masukan tegangan pencatu daya untuk ADC.
- 10) AREF untuk pin tegangan referensi ADC. (Heryanto dan Wisnu, 2008)

b). Diagram Blok ATmega8535.

Diagram blok ATmega8535 adalah sebagai berikut:



Gambar II.4 Diagram Blok ATmega8535

(Sumber : Pemrograman Bahasa C untuk Mikrokontroler ATmega 8535, M. Ary Heryanto & Wisnu Adi P)

ALU (arithmetic logic unit) adalah prosesor yang bertugas mengeksekusi kode program yang ditunjuk *program counter*.

Program Memory adalah memori *Flash PEROM* yang bertugas menyimpan program yang telah dibuat dalam bentuk kode-kode program (berisi

alamat memori beserta kode program dalam ruangan memori alamat tersebut) yang telah kita *compile* berupa bilangan heksa atau biner .

Program Counter (PC) adalah komponen yang bertugas menunjukkan ke ALU alamat program yang berupa kode-kode program untuk diterjemahkan dan dieksekusi. Sifat PC adalah *linear* artinya menghitung naik satu bilangan bergantung alamat awalnya. Misalnya jika isi PC 0x000 maka dia akan naik satu menjadi 0x001 yang berarti memerintahkan ALU mengeksekusi kode program yang berada pada alamat 0x001 program memori. Jika isi PC dari 0x002 dipaksa (instruksi lompatan) 0x02A maka dia akan naik satu menjadi 0x02B dan melakukan tugasnya begitu seterusnya.

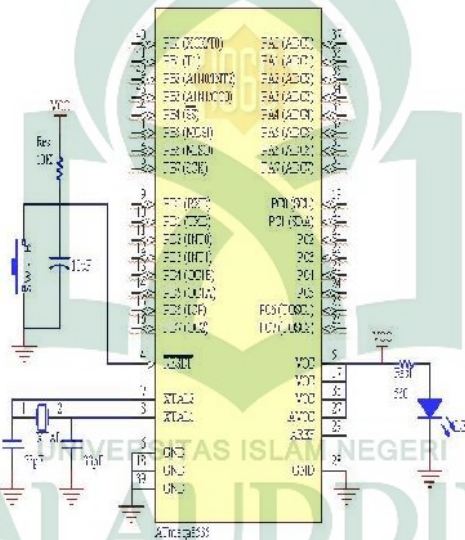
32 *General Purpose Working Register (GPR)* merupakan *register file* atau tempat *register-register* bekerja (R0-R31) yang mempunyai lebar 8 bit. Tugasnya adalah mengeksekusi ALU mengeksekusi kode-kode program, setiap instruksi dalam ALU melibatkan GPR. GPR terbagi 2 yaitu kelompok atas (R16-R31) dan kelompok bawah (R0-R15), dimana kelompok bawah tidak bisa mengakses data secara langsung (*imidiety*). Data konstan seperti intruksi *assembly* LDI, dan hanya bisa digunakan antar *register*, SRAM, atau *register I/O (register port)*. Sedangkan kelompok atas sama dengan kelompok bawah, hanya kelebihanannya adalah dapat mengakses data secara langsung dan konstan.

Static Random Access Memori (SRAM) adalah RAM yang berfungsi menyimpan data sementara sama seperti RAM pada umumnya mempunyai alamat dan ruangan data. Alamat terakhir dari SRAM bergantung pada kapasitas SRAM.

Internal Peripheral, adalah peralatan *internal* yang terdapat pada mikrokontroler seperti saluran I/O, *interupsi eksternal*, *timer/counter*, USART, EEPROM dan lain-lain. Tiap peralatan *Internal* memiliki *register port* (*register I/O*). (Ardi Winoto, 2008)

c). Rangkaian Sistem Minimum

Rangkaian sistem minimum adalah rangkaian minimal dimana *chip* mikrokontroler dapat bekerja (*running*).



Gambar II.5 Minimum sistem mikrokontroler ATmega8535

(Sumber : Pemrograman Mikrokontroler AVR ATMEGA 16 Menggunakan Bahasa C, Heri Andrianto.)

d). Peta *Memory* AVR

ATmega8535 memiliki dua ruang memori utama, yaitu memori data dan memori program. Selain dua memori utama, ATmega8535 juga memiliki *fitur* EEPROM yang dapat digunakan sebagai penyimpanan data.

1). *Flash Memory*

Flash Memory adalah memori ROM tempat kode-kode program berada. Memori *flash* terbagi dua bagian yaitu bagian aplikasi dan bagian *boot*. Bagian aplikasi adalah bagian kode-kode program aplikasi berada. Bagian *boot* adalah yang digunakan khusus untuk *booting* awal yang dapat diprogram untuk menulis bagian aplikasi. (Ardi Winoto, 2008)

ATmega8535 memiliki *flash memory* sebesar 8 Kbytes untuk memori program. Karena semua instruksi AVR menggunakan 16 atau 32 bit, maka AVR memiliki organisasi memori 4 Kbyte x 16 bit dengan alamat dari \$000 hingga \$FFF. (Wardhana, 2006)

2). SRAM

ATmega8535 memiliki 600 alamat memori data yang terbagi menjadi 3 bagian, yaitu 32 buah *register file*, 64 buah *I/O register* dan 512 byte *internal SRAM*.

Register File	Data Address Space	Register File	Internal SRAM
R0	\$0000	R0	\$0000
R1	\$0001	R1	\$0001
...
R30	\$001E	R30	\$001E
R31	\$001F	R31	\$001F

Gambar II.6 *Register Memori AVR ATmega8535*

(Sumber : Pemrograman Mikrokontroler AVR ATMEGA 16 Menggunakan Bahasa C, Heri Andrianto)

Tampak pada peta memori data bahwa alamat \$0000-\$0001 ditempati oleh *register file*. *I/O register* menempati alamat dari \$0020-\$005F. Sedangkan sisanya sebagai *Internal SRAM* sebesar 512byte (\$0060-\$025F).

3). EEPROM

EEPROM merupakan media penyimpanan (*memory*) yang mampu bertahan meskipun tanpa catu daya. Sebagai contoh mikrokontroler ATmega8535 atau ATmega32 memiliki EEPROM *internal* sebesar 512 byte. Untuk mengakses EEPROM tidak harus hafal akan *register-register* yang ada di mikrokontroler. Dengan menggunakan *Codevision* sangat mudah sekali, karena telah tersedia instruksi-instruksi yang digunakan.

Untuk melakukan *write/read* EEPROM *internal*, pertama kali tentu saja harus mendeklarasikan *variabel* untuk menunjuk *pointer* EEPROM.

(Heryanto dan Wisnu, 2008)

4) Analog to Digital Converter (ADC)

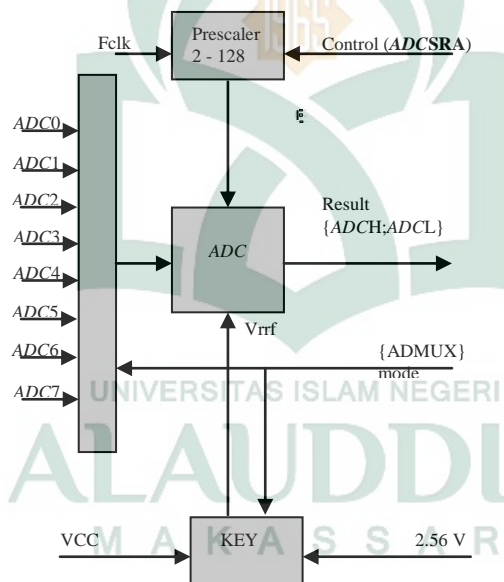
ADC adalah sebuah komponen elektronika yang berfungsi untuk mengubah besaran analog menjadi besaran digital (Ardi Winoto, 2008:104). ADC ini mutlak digunakan apabila mikrokontroler menggunakan sensor sebagai *inputnya*. Karena keluaran dari tiap sensor berupa besaran analog, sedangkan besaran yang dapat dibaca oleh mikrokontroler adalah besaran digital. Oleh karena itu diperlukan ADC untuk mengkonversi besaran analog ke digital agar dapat diolah mikrokontroler. Untuk menjalankan tugasnya ADC dilengkapi *fitur* pendukung antara lain :

Fitur :

- a. Resolusi mencapai 10 bit
- b. Waktu konversi 65 – 250 μ s,
- c. 8 ch *input* ADC
- d. 3 Mode pemilihan tegangan referensi

Pada mikrokontroler ATmega8535 ADC telah terintegrasi pada mikrokontroler *board*, jadi sudah tidak dibutuhkan lagi ADC *eksternal*.

Berikut ini adalah diagram blok ADC pada ATmega 8535.



Gambar II.7 Diagram Blok ADC

(Sumber : Pemrograman Bahasa C untuk Mikrokontroler ATmega 8535, M. Ary Heryanto & Wisnu Adi P)

Sinyal *input* dari pin ADC akan dipilih oleh *multiplexer* (*register* ADMUX) untuk diproses oleh ADC. Karena konverter ADC dalam mikrokontroler hanya satu sedangkan saluran *inputnya* hanya delapan maka dibutuhkan *multiplexer* untuk memilih *input* pin ADC secara bergantian. ADC

mempunyai rangkaian untuk mengambil sampel dan *hold* (menahan) tegangan *input* ADC sehingga dalam keadaan konstan selama proses konversi. ADC mempunyai catu daya yang terpisah yaitu pin AVCC-AGND. AVCC tidak boleh berbeda $\pm 0,3V$ dari Vcc.

5). Mode Operasi

Mode konversi tunggal dalam mode ini konversi dilakukan untuk sekali pembacaan sampel tegangan *input*, jika ingin membaca lagi maka harus disampel lagi sehingga ADC mengonversi tegangan analog ke digital pada saat-saat dibutuhkan saja. Untuk memilih mode konversi tunggal bit-ADFR dalam *register* ADCSRA. Mode *Free Running* dalam mode ini konversi terus menerus dilakukan secara terus menerus secara *continue*. Pada saat ADC membaca tegangan yang sedang berlangsung, maka yang terbaca adalah hasil ADC yang terakhir kali dibaca oleh ADC. *Register* Pengendali ADC Multiplexer (ADMUX) .

Bit	7	6	5	4	3	2	1	0
	REFS1	REFS0	ADLAR	-	MUX3	MUX2	MUX1	MUX0
Read/Write	R/W	R/W	R/W	R	R/W	R/W	R/W	R/W
Initial Value	0	0	0	0	0	0	0	0

Gambar II.8 ADC Multiplexer

(Sumber : Pemrograman Bahasa C untuk Mikrokontroler ATmega 8535, M. Ary Heryanto & Wisnu Adi P)

Bit 7:6 – REF1:0: *Reference Selection bits*, kedua bit ini bertugas untuk memilih tegangan referensi yang digunakan. Untuk melihat pemilihan tegangan referensi, dapat dilihat pada tabel II.1.

Tabel II.1 pemilihan tegangan referensi

(Sumber : Pemrograman Bahasa C untuk Mikrokontroler ATmega 8535, M. Ary Heryanto & Wisnu Adi P)

REFS1	REF0	Tegangan referensi
0	0	Pin Vref
0	1	Avcc
1	0	Tidak digunakan
1	1	Vref internal = 2,56

Bit 5 – ADLAR (*ADC Left Adjust Result*)

Bit ini berakibat pada format data hasil konversi dalam *register* ADCH:ADCL

Bits3:0 – MUX3:0: *Analog channel Selection Bits*. Bit - bit ini memilih saluran *input* pada ADC.

Tabel II.2 Pemilihan *channel input*

MUX3..0	Pin <i>input</i>
0000	ADC0
0001	ADC1
0010	ADC2
0011	ADC3
0100	ADC4
0101	ADC5
0110	ADC6
0111	ADC7

ADC Control dan Status Register

Bit	7	6	5	4	3	2	1	0
	ADEN	ADSC	ADFR	ADIF	ADIE	ADPS2	ADPS1	ADPS0
Read/Write	R/W	R/W	R/W	R/W	R/W	R/W	R/W	R/W
Initial Value	0	0	0	0	0	0	0	0

Gambar II.9 ADC Control dan Status Register

(Sumber : Pemrograman Bahasa C untuk Mikrokontroler ATmega 8535, M. Ary Heryanto & Wisnu Adi P)

Bit 7 – ADEN : ADC Enable

Bit pengaktif ADC (ADEN = 0, *disable* / ADEN = 1 *enable*).

Bit 6 – ADSC : ADC Start Conversion

Dalam mode konversi tunggal pengesetan bit ini, maka akan memulai konversi ADC untuk sekali konversi. Sedangkan dalam mode *free running* maka ADC akan memulai dengan mode konversi secara *continue*.

Bit 5 – ADFR : ADC Free Running Select.

Bit ini memilih mode operasi yang digunakan, ketika bit ini *diset*, maka ADC akan menggunakan *Free Running* dimana dalam mode ini ADC disampel dan *diupdate* secara simultan (*continue*). Ketika bit ini *diclear* maka mode operasi akan berubah menjadi konversi tunggal.

Bit 4 – ADIF : ADC Interupt Flag.

Bit ini akan *set* secara otomatis ketika konversi ADC telah selesai, dan akan *clear* ketika eksekusi interupsi ADC *conversion complete*.

Bit 3 – ADIE : ADC Interrupt Enable.

Bit ini bertugas mengaktifkan interupsi *ADC conversion complete* (ADIE = 0, *disable* / ADEIE = 1, *enable*.)

Bit 2:0 – ADPS2:0: ADC Prescaler Select Bits.

Bit – bit ini menentukan faktor pembagi frekuensi CPU yang digunakan untuk *clock* ADC.

Tabel II.3 ADC Prescaler

(Sumber : Pemrograman Bahasa C untuk Mikrokontroler ATmega 8535, M. Ary Heryanto & Wisnu Adi P)

ADPS2	ADPS1	ADPS0	Faktor pembagi
0	0	0	2
0	0	1	2
0	1	0	4
0	1	1	8
1	0	0	16
1	0	1	32
1	1	0	64
1	1	1	128

The ADC Data Register – ADCL and ADCH

ADLAR = 1									
Bit	15	14	13	12	11	10	9	8	
	-	-	-	-	-	-	ADC9	ADC8	ADCH
	ADC7	ADC6	ADC5	ADC4	ADC3	ADC2	ADC1	ADC0	ADCL
Read/Write	R	R	R	R	R	R	R	R	
Initial Value	0	0	0	0	0	0	0	0	
	0	0	0	0	0	0	0	0	

Gambar II.10 Data Register ADC, ADCL dan ADCH

(Sumber : Pemrograman Bahasa C untuk Mikrokontroler ATmega 8535, M. Ary Heryanto & Wisnu Adi P)

Ketika konversi selesai, maka hasilnya dapat dilihat pada *register* ADCH: ADCL. Ketika ADCL dibaca maka ADC tidak akan *update* sampai ADCH dibaca. Namun dalam bahasa C *programer* dimudahkan dalam mengakses *register* pasangan ADC sebagai *integer* yaitu ADCW.

4. *Liquid Crystal Display (LCD)*

LCD atau *Liquid Crystal Display*, merupakan suatu *display* (penampil) berbahan cairan kristal yang dioperasikan menggunakan sistem dotmatriks. LCD banyak ditemui di beberapa alat elektronik, seperti multimeter digital, kalkulator, jam digital, dan lain-lain. LCD yang digunakan merupakan LCD tipe karakter 16x2 karena LCD ini dapat menampilkan data. Keuntungan yang dapat diperoleh dengan menggunakan LCD adalah :

- 1) Dapat menampilkan karakter ASCII, sehingga memudahkan untuk membuat program tampilannya.
- 2) Mudah dihubungkan dengan port I/O karena hanya menggunakan 4 bit data dan 3 bit *control*.
- 3) Ukuran dari modul yang proporsional.
- 4) Penggunaan daya yang kecil.

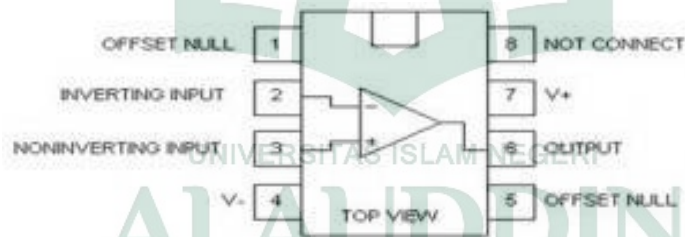


Gambar II.11 LCD tipe karakter 16x2

(Sumber: Mikrokontroler AVR *ATMega16* dan *ATMega8535*. Widodo Budiharto)

5. Op-Amp IC LM741

Penguat operasional (Op-Amp) adalah suatu blok penguat yang mempunyai dua masukan dan satu keluaran. Penguat operasional (Op-Amp) dikemas dalam suatu rangkaian terpadu (*integrated circuit-IC*). Salah satu tipe operasional *amplifier* (Op-Amp) yang populer adalah LM741. IC LM741 merupakan operasional *amplifier* yang dikemas dalam bentuk *dual in-line package* (DIP). Kemasan IC jenis DIP memiliki tanda bulatan atau strip pada salah satu sudutnya untuk menandai arah pin atau kaki nomor 1 dari IC tersebut. Penomoran IC dalam kemasan DIP adalah berlawanan arah jarum jam dimulai dari pin yang terletak paling dekat dengan tanda bulat atau strip pada kemasan DIP tersebut. IC LM741 memiliki kemasan DIP 8 pin seperti terlihat pada gambar berikut.



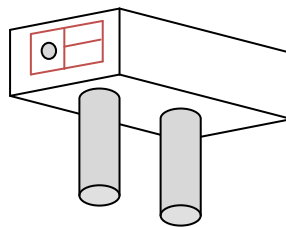
Gambar II.12 Konfigurasi Pin IC Op-Amp 741

Pada IC ini terdapat dua pin *input*, dua pin *power supply*, satu pin *output*, satu pin NC (*No Connection*), dan dua pin *offset null*. Pin *offset null* memungkinkan kita untuk melakukan sedikit pengaturan terhadap arus *internal* di dalam IC untuk memaksa tegangan *output* menjadi nol ketika kedua *input* bernilai nol. IC LM741 berisi satu buah Op-Amp, terdapat banyak tipe IC lain yang memiliki dua atau lebih Op-Amp dalam suatu kemasan DIP.

IC Op-Amp memiliki karakteristik yang sangat mirip dengan konsep Op-Amp ideal pada analisis rangkaian. Pada kenyataannya IC Op-Amp terdapat batasan-batasan penting yang perlu diperhatikan. Pertama, tegangan maksimum *power supply* tidak boleh melebihi rating maksimum, karena akan merusak IC. Kedua, tegangan *output* dari IC Op-Amp biasanya satu atau dua volt lebih kecil dari tegangan *power supply*. Ketiga, arus *output* dari sebagian besar Op-Amp memiliki batas pada 30mA, yang berarti bahwa resistansi beban yang ditambahkan pada *output* Op-Amp harus cukup besar sehingga pada tegangan *output* maksimum, arus *output* yang mengalir tidak melebihi batas arus maksimum. (Endra, 2006)

6. Elektrolisa air

Elektrolisa air adalah alat untuk memunculkan partikel kandungan logam (unsur terlarut) yang terbawa oleh air dan tidak tampak oleh mata. Dengan bantuan elektroda positif dan negatif ini air minum dipecah menjadi ion positif dan ion negatif sehingga ion oksigen akan bereaksi (meng-oksidasi) kandungan logam yang terlarut dalam air sehingga berubah menjadi gumpalan dan menimbulkan warna khusus.



Gambar II.13 Elektrolisa air
(Sumber: *Teknologi Kimia*. Handojo)

7. Sensor *Infrared*

Infrared merupakan piranti yang sangat umum digunakan dalam suatu sistem instrumentasi. *Infrared* dapat didefinisikan sebagai alat pemberi sinyal pada sensor.

Infrared digunakan dalam sistem *instrument* pengukuran kecepatan benda bergerak berupa cahaya yang memiliki panjang gelombang dan radiasi yang tajam. Adapun pemancar atau penembak cahaya yang dapat digunakan, seperti *infrared* dan *diode* laser.

Infrared memiliki prinsip kerja yang sama dengan LED. Perbedaannya cahaya yang dipancarkan pada *infrared* LED berupa cahaya tak tampak. *Infrared* LED memiliki panjang gelombang sebesar 750-1000 nM dan arus maksimal sebesar 100 mA. *Diode* laser merupakan pembangkit sinar laser yang memiliki panjang gelombang sebesar 530-680 nM. *Diode* laser selain memiliki sinar *focus* yang sangat kecil, juga daya jelajah yang sangat jauh jadi memungkinkan dapat digunakan di area yang sangat luas.

Daya yang digunakan *diode* laser pun sangat kecil, hanya membutuhkan daya sebesar 1mW, jadi dapat memungkinkan penghematan *power* pada rangkaian. (Arie Setiawan, 2011:12)



Gambar II.14 Sensor *Infrared*

(Sumber : *Mainkan Komputer dengan Remote TV dan HP*. Sani Gasali,S.T.)

8. Relay

Relay merupakan komponen *output* yang paling sering digunakan pada beberapa peralatan elektronika dan di berbagai bidang lainnya. *Relay* berfungsi untuk menghubungkan atau memutuskan aliran arus listrik yang dikontrol dengan memberikan tegangan dan arus tertentu pada koilnya. Ada 2 macam *relay* berdasarkan tegangan untuk menggerakkan koilnya, yaitu AC dan DC.

Pada perangkat yang dibuat digunakan *relay* DC dengan tegangan koil 12VDC, arus yang diperlukan sekitar 20 sampai dengan 30 mA. Ada berbagai macam jenis *relay* berdasarkan *pole*-nya. Pada perancangan kali ini dipakai *Single Pole Double Throw* (SPDT) yang berfungsi untuk menghubungkan dan memutus arus untuk menggerakkan peralatan di luar rangkaian.

Pada dasarnya *relay* adalah sebuah kumparan yang dialiri arus listrik sehingga kumparan mempunyai sifat sebagai magnet. Magnet sementara tersebut digunakan untuk menggerakkan suatu sistem saklar yang terbuat dari logam sehingga pada saat *relay* dialiri listrik arus listrik maka kumparan akan terjadi kemagnetan dan menarik logam tersebut, saat arus listrik diputus maka logam akan kembali pada posisi semula (Arie Setiawan, 21: 2011).



Gambar II.15. *Relay*

(Sumber: *Mikrokontroler AVR ATmega16 dan ATmega8535*. Widodo Budiharto)

9. Flowchart

Flowchart dapat diartikan sebagai suatu alat ukur atau sarana yang menunjukkan langkah-langkah yang harus dilaksanakan dalam menyelesaikan suatu permasalahan untuk komputasi dengan cara mengekspresikannya ke dalam serangkaian simbol-simbol grafis khusus. Beberapa simbol yang sering digunakan dalam *flowchart* adalah seperti ditunjukkan pada tabel II.4. (Sutanta, 2004 : 28).

Tabel II.4. Simbol dalam *Flowchart*



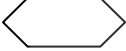


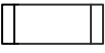
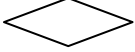


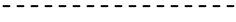
SIMBOL	NAMA	FUNGSI
	TERMINATOR	Permulaan/akhir program
	GARIS ALIR (FLOW LINE)	Arah aliran program
	PREPARATION	Proses inisialisasi/pemberian harga awal
	PROSES	Proses perhitungan/proses pengolahan data
	INPUT/OUTPUT DATA	Proses input/output data, parameter, informasi
	PREDEFINED PROCESS (SUB PROGRAM)	Permulaan sub program/proses menjalankan sub program
	DECISION	Perbandingan pernyataan, penyeleksian data yang memberikan pilihan untuk langkah selanjutnya
	ON PAGE CONNECTOR	Penghubung bagian-bagian flowchart yang berada pada satu halaman
	OFF PAGE CONNECTOR	Penghubung bagian-bagian flowchart yang berada pada halaman berbeda
	LIFELINE	Menyatakan kehidupan suatu objek


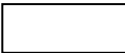
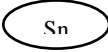
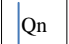
Diagram Alir atau *Flowchart* adalah dasar dari pemrograman. Mulai dari pemrograman bahasa tingkat rendah sampai bahasa pemrograman tinggi. Pemrograman fungsional ataupun pemrograman berorientasi objek, semuanya menggunakan *flowchart* dalam analisis pembuatan desainnya maupun proses *reverse engineering*-nya.

10. Sistem *Realtime*

Sistem *realtime* memunculkan beberapa aksi sebagai respon terhadap kejadian-kejadian *eksternal*. Untuk melakukan fungsi-fungsi tersebut, sistem melakukan akusisi data dengan kecepatan tinggi dan kontrol di bawah batasan waktu dan reliabilitas yang ketat. Karena batasan-batasan ini sangat ketat, maka sistem *realtime* kerap ditunjukkan pada aplikasi tunggal. (Jogiyanto, 2005)

Masing-masing desain *realtime* untuk perangkat lunak harus diaplikasikan di dalam konteks kinerja sistem. Pada sebagian besar kasus, kinerja suatu sistem *realtime* diukur sebagai satu atau lebih karakteristik yang berhubungan, tetapi pengukuran lain seperti toleransi kesalahan juga dapat dilakukan.

Tabel II.5. Simbol dalam Diagram *Realtime*

SIMBOL	NAMA	FUNGSI
	OBJEK DATA	Objek data pada symbol anak panah menunjukkan arah aliran data.
	ENTITY EKSTERNAL	Prosedur atau consumer informasi yang ada diluar bound sistem untuk di modelkan
	PROSES	Proses data
	REPOSITORY	Penyimpanan data

Banyak sistem operasi *realtime* dapat diaplikasikan pada rentang konfigurasi sistem yang luas, sementara yang lain disesuaikan dengan badan tertentu atau bahkan mikroprosessor, tanpa memperhatikan lingkungan elektronik sekelilingnya. Desain perangkat lunak *realtime* harus menggabungkan semua konsep dan prinsip fundamental yang berhubungan dengan perangkat lunak kualitas tinggi. Perangkat lunak *realtime* juga merupakan serangkaian masalah unik bagi para desainer. (Pressman, 2002)

11. Code Vision

Penggunaan *CodeVision AVR* untuk mikrokontroler sekarang ini telah umum. Mulai dari penggunaan untuk kontrol sederhana sampai kontrol yang cukup kompleks, mikrokontroler dapat berfungsi jika telah diisi sebuah program, pengisian program ini dapat dilakukan menggunakan *compiler* yang selanjutnya *download* ke dalam mikrokontroler menggunakan *downloader*. Salah satu *compiler* program yang umum digunakan sekarang ini adalah *CodeVision AVR* yang menggunakan bahasa pemrograman *Visual Basic*. Seperti aplikasi lainnya *Code Vision* dilengkapi dengan *source code editor* sebagai tempat untuk membuat teks program, *compiler* yang berfungsi sebagai penerjemah (*translator*) instruksi ke dalam mikrokontroler, *linker* akan bertugas untuk menyatukan *file-file objek* dan fungsi-fungsi yang bersilangan di antara *file objek* dan dapat memanggil Atmel AVR studio untuk *debuggernya*. Versi yang digunakan adalah versi evaluasi yang mempunyai kapasitas program maksimum 2 kilobyte. (Heriyanto, 2008)

12. Visual Basic 6.0

Visual Basic merupakan bahasa pemrograman yang sangat mudah dipelajari, dengan teknik pemrograman *visual* yang memungkinkan penggunanya untuk berkreasi lebih baik dalam menghasilkan suatu program aplikasi. Ini terlihat dari dasar pembuatan dalam *visual basic* adalah *form*, dimana pengguna dapat mengatur tampilan *form* kemudian dijalankan dalam *script* yang sangat mudah.

Hal ini juga ditunjang dengan teknik pemrograman di dalam *visual basic* yang mengadopsi dua macam jenis pemrograman yaitu Pemrograman *visual* dan *Object Oriented Programming* (OOP).

Visual Basic 6.0 sebetulnya perkembangan dari versi sebelumnya dengan beberapa penambahan komponen yang sedang tren saat ini, seperti kemampuan pemrograman internet dengan DHTML (*Dynamic HyperText Mark Language*), dan beberapa penambahan *fitur database* dan multimedia yang semakin baik. Sampai saat buku ini ditulis bisa dikatakan bahwa *visual basic* 6.0 masih merupakan pilih pertama di dalam membuat program aplikasi yang ada di pasar perangkat lunak nasional. Adapun fungsi tampilan jendela pada *visual basic* antara lain ;

1. Menubar

Pada bagian ini terdapat menu-menu dasar yang akan digunakan selama perancangan program. Ada *Menu File* (untuk membuka program, menyimpan program, dll), menu *View* (untuk menampilkan *tool-tool* yang belum ada), Menu *Run* (untuk kompilasi), dsb.

2. *Toolbar*

Pada bagian ini ditampilkan *icon-icon* dari menu utama yang ada pada *menubar*.

3. *Toolbox*

Digunakan untuk pemilihan kontrol-kontrol yang akan digunakan oleh program yang akan dirancang.

4. *Jendela Form*

Form adalah area tampilan yang berhubungan dengan sebuah jendela yang dapat dilihat ketika aplikasi berjalan. Pada *form* ini dapat diletakkan kontrol dan kode untuk pembuatan program. *Form* akan banyak digunakan saat perancangan.

5. *Jendela Code*

Jendela Code digunakan untuk menuliskan *source code* dari program yang kita buat.

6. *Project Explorer*

Project Explorer akan menampilkan *form-form* dan modul yang ada di dalam program yang kita buat. Dengan *project explorer* kita dapat berpindah-pindah dari satu *form* ke *form* yang lain.

7. *Jendela Properties*

Digunakan untuk mengatur sifat (properti) dari *form* atau kontrol-kontrol. Isi dari *window properties* ini dapat berubah-ubah sesuai dengan *form* atau kontrol yang dipilih.

Adapun *tool* yang digunakan untuk membuat *project* adalah sebagai berikut ;

- 1) *Label* untuk menampilkan tulisan pada *form*. Pemakai tidak dapat mengubah tulisan tersebut secara langsung
- 2) *TextBox* digunakan sebagai tempat *input* juga dapat digunakan untuk menampilkan teks, dan pemakai dapat mengubah-ubah tulisan yang terdapat pada *control* ini.
- 3) *ListBox* menampilkan beberapa item, dan dari *control* ini item-item tersebut dapat dipilih. *Scrollbar* dapat digunakan untuk menggulung pilihan yang tidak dapat ditampilkan seluruhnya.
- 4) *ComboBox* merupakan kombinasi antara *TextBox* dan *ListBox*. Sehingga pemilihan item dapat dilakukan dari *ListBox*, atau dengan mengetik langsung pada *TextBox*.
- 5) *Command Button* menjalankan suatu tindakan jika pemakai telah melakukan pilihan dengan menekan *control* ini.
- 6) *Frame* mengelompokkan *control-control* secara *visual* (tergambar) atau secara fungsional (tindakan).
- 7) *Check Box* menampilkan keadaan *True/False* atau pilihan *Yes/No*. beberapa *control* ini dapat memiliki keadaan yang sama pada suatu saat.
- 8) *Option Button Control* ini sama dengan *control CheckBox*. Perbedaannya hanya satu *control* dari beberapa *control* ini dapat di-*on*-kan. Jika *control* dengan tipe yang sama lainnya di-*on*-kan, maka *control* tipe ini yang sebelumnya *on* akan di-*off*-kan.
- 9) *Picture Box* digunakan untuk menampilkan gambar

Selanjutnya pada pembuatan *report* digunakan *crystal report* yang merupakan salah satu peranti lunak yang digunakan khusus untuk membuat laporan. Berbagai fasilitas yang dimilikinya memudahkan dan juga memperindah laporan yang kita buat. *Crystal Report* memiliki berbagai fungsi yang sangat memudahkan dalam pembuatan laporan seperti untuk membuat pengelompokan data laporan. (Faturrahman, 2008)

13. BlackBox Testing

Metode ujicoba *blackbox* memfokuskan pada keperluan fungsional dari *software*. Karena itu uji coba *blackbox* memungkinkan pengembang *software* untuk membuat himpunan kondisi *input* yang akan melatih seluruh syarat-syarat fungsional suatu program. Uji coba *blackbox* bukan merupakan alternatif dari uji coba *whitebox*, tetapi merupakan pendekatan yang melengkapi untuk menemukan kesalahan lainnya, selain menggunakan metode *whitebox*. (Janner, 2010)

Uji coba *blackbox* berusaha untuk menemukan kesalahan dalam beberapa kategori, diantaranya :

1. Fungsi-fungsi yang salah atau hilang
2. Kesalahan *interface*
3. Kesalahan dalam struktur data atau akses *database eksternal*
4. Kesalahan performa
5. Kesalahan inisialisasi dan terminasi

BAB III

METODOLOGI PENELITIAN

A. Lokasi Penelitian

Penelitian dilakukan di Laboratorium *Microprocessor and Robotic* Jurusan Teknik Informatika Fakultas Sains dan Teknologi dan BPOM Makassar.

B. Alat dan Bahan Penelitian

Adapun alat yang akan digunakan dalam penelitian yaitu :

- a. Elektrolisa air
- b. *Downloader* ATmega 8535
- c. PC atau Laptop
- d. Solder
- e. *Converter* USB Serial DB9
- f. Steker

Adapun bahan yang akan digunakan dalam penelitian yaitu :

- a. Sistem Minimum Mikrokontroler AVR ATmega8535
- b. Sensor *infrared*
- c. IC LM741
- d. Air minum dalam kemasan (AMDK)
- e. LCD 16x2
- f. Timah
- g. Elco

- h. Resistor
- i. Transistor regulator
- j. IC 7812, IC 7912 dan IC 7805
- k. Trimpot
- l. *Push Button*
- m. Trafo StepDown
- n. Max232
- o. Kristal
- p. Relay
- q. Beberapa komponen pendukung lainnya.

C. Metode Penelitian

Dalam melakukan penelitian ini, analisis data yang digunakan yaitu analisis data kualitatif dimana penelitian ini merupakan eksperimen. Jenis penelitian yang dilakukan adalah :

1. Jenis Penelitian

Jenis penelitian yang penulis gunakan dalam menyusun isi tulisan ini adalah:

- a. *Library research* atau penelitian kepustakaan yaitu cara mengumpulkan data dengan jalan membaca buku-buku yang berkaitan dengan penelitian, mengutip pendapat-pendapat para ahli dari buku-buku bacaan yang ada kaitannya dengan pembahasan penelitian ini, dan mengumpulkan artikel dari internet yang berhubungan dengan penelitian.

b. *Field research* atau penelitian lapangan yaitu mengumpulkan data dengan melakukan penelitian secara langsung di tempat penelitian yang telah ditentukan untuk memperoleh data yang dibutuhkan sebagai bahan pembahasan dalam tulisan ini.

2. Metode Pengumpulan Data

Dalam pengumpulan data, penulis menggunakan dua metode yaitu :

- a. Observasi yaitu melakukan pengamatan secara langsung di lokasi penelitian terhadap objek yang akan diteliti dan dibahas serta mengumpulkan data atau informasi sebanyak mungkin yang berhubungan dengan masalah yang akan diteliti.
- b. *Interview*, yaitu mengadakan wawancara dengan sumber informasi yang dianggap perlu untuk diambil keterangannya mengenai masalah-masalah yang akan dibahas misalnya masyarakat yang terlibat langsung dalam pengonsumsi AMDK.

BAB IV

ANALISIS DAN DESAIN SISTEM

A. Analisis Sistem

1. Analisis Kebutuhan Sistem

Untuk merealisasikan Sistem Informasi Pendeteksi Kelayakan Air Minum Dalam Kemasan (AMDK) Berbasis Mikrokontroler ini dibutuhkan beberapa penunjang. Diantaranya kebutuhan informasi dan kebutuhan pengguna.

a. Kebutuhan Informasi

Informasi atau *output* yang akan dihasilkan dari alat ini dapat mempermudah untuk menentukan layak tidaknya AMDK dengan cepat dan akurat. Selain itu sistem informasi ini dapat menyimpan data hasil pendeteksian kelayakan.

b. Kebutuhan Pengguna

Pada Sistem Informasi Pendeteksi Kelayakan Air Minum Dalam Kemasan (AMDK) Berbasis Mikrokontroler ini yang terlibat di dalamnya adalah seorang administrator yang sekaligus bertugas menjalankan alat ketika melakukan proses pemeriksaan. Jika terjadi masalah pada program maka administrator tersebut yang akan menanganinya.

2. Analisis Kebutuhan Sistem

a. Kelayakan Teknologi

Teknologi yang digunakan pada Sistem Informasi Pendeteksi Kelayakan Air Minum Dalam Kemasan (AMDK) Berbasis Mikrokontroler ini yaitu teknologi berbasis mikrokontroler. Teknologi ini sudah umum digunakan dalam bidang perindustrian dan telah dikembangkan ke sistem yang lebih kompleks. Dewasa ini, teknologi berbasis mikrokontroler ini mudah ditemukan dalam kehidupan sehari-hari. Karena peralihan pekerjaan manusia ke mesin menggunakan teknologi tersebut.

b. Kelayakan Operasional

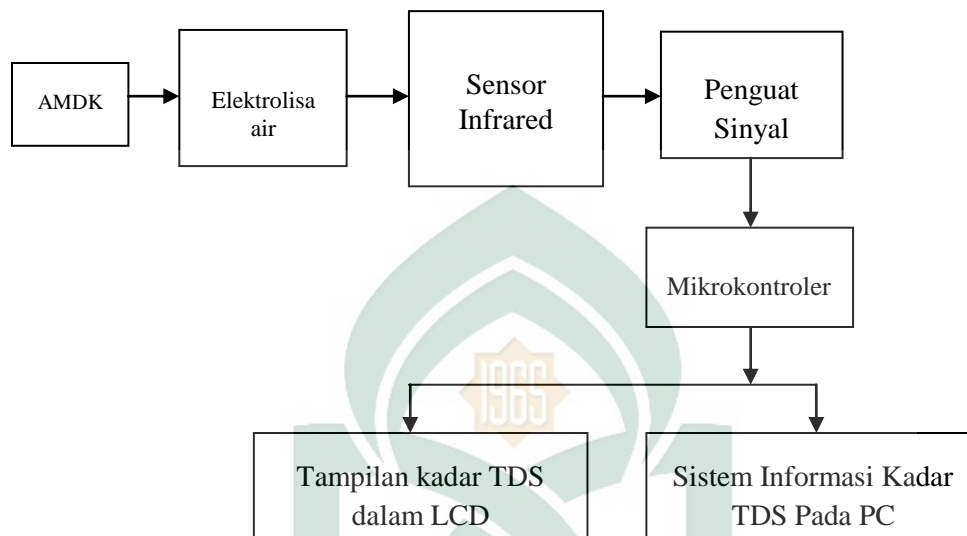
Sistem Informasi Pendeteksi Kelayakan Air Minum Dalam Kemasan (AMDK) Berbasis Mikrokontroler ini dapat dioperasikan dengan mudah. Sistem ini dilengkapi dengan tutorial yang memudahkan *user* untuk memahami dalam penggunaan sistem. Selain itu untuk lebih memudahkan dalam penerapan sistem dapat diadakan pelatihan khusus untuk pengguna sistem.

Sistem ini akan mempermudah untuk menentukan layak tidaknya Air Minum Dalam Kemasan (AMDK) dengan cepat dan akurat, jika prosedur penggunaan sistem sesuai dengan petunjuk penggunaan sistem.

B. Desain Sistem

1. Perancangan Perangkat Keras

a. Diagram Rancang Sistem



Gambar IV.1. Diagram Rancangan Sistem

Berdasarkan diagram rancang sistem tersebut dapat dijelaskan sebagai berikut :

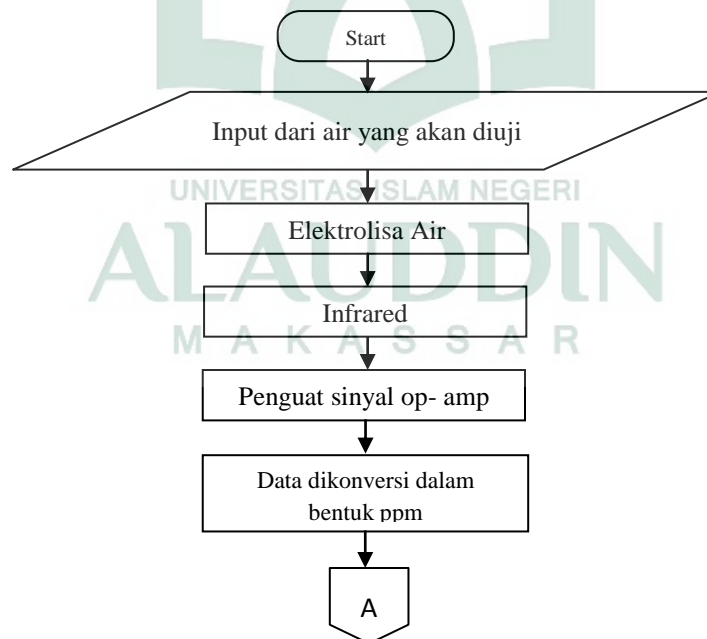
Input berupa AMDK yang akan diuji kandungan zat padat terlarut di dalamnya dengan menggunakan elektrolisa air. Hasil dari pengelektrolisaan tersebut selanjutnya akan diuji kelayakannya menggunakan sensor *Infrared* yang berfungsi sebagai *transmitter* dan *fotodiode* sebagai *receivernya*.

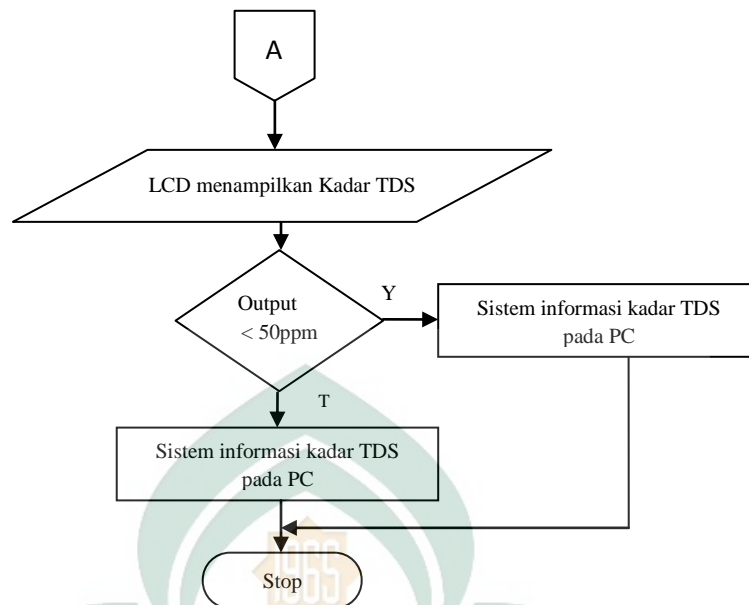
Setelah diuji akan menghasilkan *output* berupa tegangan yang sangat kecil. Karena tegangan yang dihasilkan sangat kecil maka digunakan penguat sinyal yang bertujuan untuk meningkatkan atau menguatkan tegangan sehingga hasil yang didapatkan sesuai dengan yang diharapkan. Kemudian jika hasil telah didapatkan maka akan diteruskan ke bagian mikrokontroler. Pada bagian

mikrokontroler inilah akan dilakukan pengkonversian dari data analog ke data digital.

Setelah melakukan konversi maka hasilnya akan dikeluarkan dalam bentuk digital menggunakan LCD dengan satuan ppm. Selanjutnya hasil yang diperoleh akan dikirim ke PC dalam bentuk sistem informasi kadar TDS. Kemudian jika kadar TDS nya < 50 ppm maka pada sistem informasi kadar TDS akan menyimpan data dan menampilkan *output* AMDK itu layak dan sebaliknya jika kadar TDS nya ≥ 50 ppm maka pada sistem informasi kadar TDS akan menyimpan data dan menampilkan *output* AMDK itu tidak layak.

b. *Flowchart*





Gambar IV.2. Flowchart

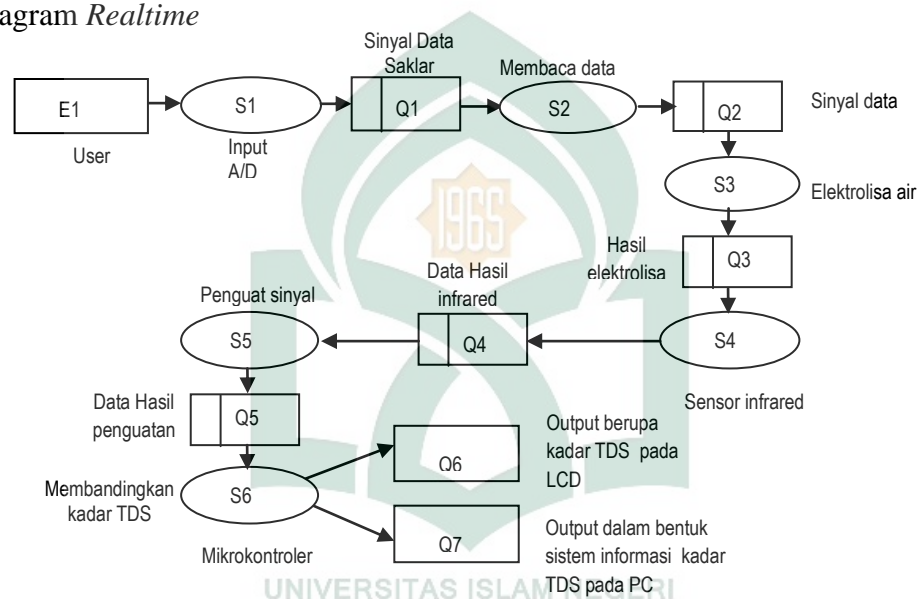
Berdasarkan gambar IV.2 dapat dijelaskan bahwa ketika *input* berupa air akan melalui proses yang pertama yaitu pemrosesan elektrolisa air. Pada proses ini elektrolisa air akan mengeluarkan zat-zat pada terlarut yang ada di dalam air yang diuji. Selanjutnya hasil tersebut masuk ke proses pengujian *Infrared* dimana akan dihitung jumlah cahaya yang melewati air. Setelah mendapatkan hasil dari pemrosesan *infrared* maka sinyal datanya akan di kuatkan oleh penguat sinyal sehingga dapat terbaca oleh mikrokontroler.

Pada proses mikrokontroler, data dikonversi ke bentuk ppm dan selanjutnya ditampilkan di LCD dan dikirim ke sistem informasi pada PC selanjutnya pada sistem ini dilakukan beberapa perbandingan yaitu jika pada hasil yang didapatkan lebih kecil dari 50 ppm maka air tersebut akan dinyatakan

layak. Kemudian data akan disimpan dan ditampilkan berupa *report* sertifikat kelayakan. Begitupun sebaliknya, jika hasil yang didapatkan lebih besar sama dengan 50 maka air tersebut akan dinyatakan tidak layak. Kemudian data akan disimpan dan ditampilkan berupa *report* sertifikat kelayakan.

2. Perancangan Perangkat Lunak

a. Diagram *Realtime*



Gambar IV.3. Diagram *Realtime*

Adapun penjelasan dari gambar di atas adalah sebagai berikut ;

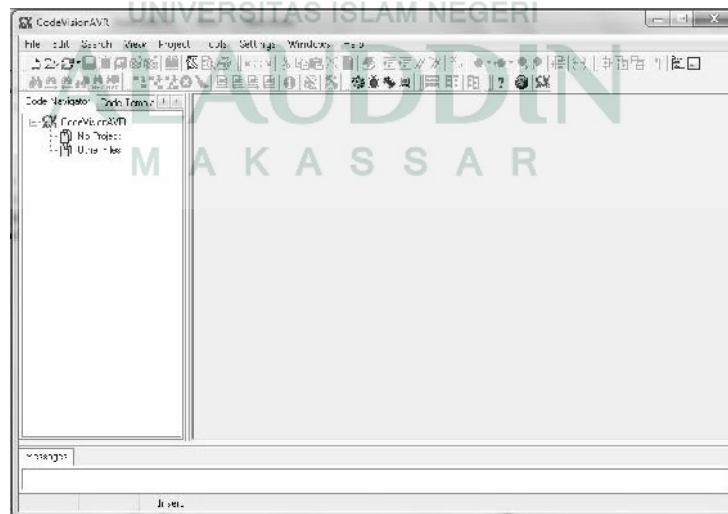
Pertama-tama (E1) yang tidak lain sebagai *user* mengirimkan *input* (proses S1) yang merupakan saat dimana *user* menyalakan saklar. Kemudian hasilnya berupa sinyal data saklar (Q1). Setelah saklar ditekan dan data saklar diterima maka akan dilakukan pembacaan data (S2) dan menghasilkan sinyal data (Q2). Setelah pembacaan data maka melanjutkan pada pemrosesan elektrolisa air (S3), kemudian dari proses tersebut menghasilkan *output* berupa perubahan

keadaan air (Q3). Selanjutnya masuk ke proses *infrared* (S4), kemudian menghasilkan *output* berupa data hasil pengukuran *infrared* (Q4).

Selanjutnya data hasil *infrared* akan diproses oleh penguat sinyal (S5). Data yang sesuai tersebut (Q5) selanjutnya akan dikirim ke proses mikrokontroler (S6). Pada proses ini terjadilah konversi data. Setelah diproses dalam Mikrokontroler maka akan diperoleh 2 *output*. *Output* yang pertama yaitu (Q6) yang merupakan hasil yang ditampilkan dalam LCD berupa kadar TDS. Kemudian *output* yang kedua (Q7) yang merupakan hasil akan ditampilkan dalam bentuk sistem informasi kadar TDS pada PC.

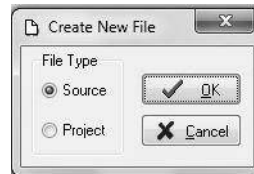
b. Perancangan program Mikrokontroler

Untuk memulai klik menu *Start* | *All Program* | *Code Vision AVR* | *Code Vision AVR C Compiler* atau melalui *desktop* klik *icon Code Vision*. Seperti yang ditampilkan gambar dibawah ini



Gambar IV.4. Interface Code Vision

Setelah itu, untuk membuat *project* baru pilih *File* | *New* | *OK* | *Yes*, seperti gambar IV.5 dan IV.6



Gambar IV.5. Membuat *File Project* Baru



Gambar IV.6. *Project* Baru Menggunakan *Code Vision AVR*

c. Perancangan Sistem Informasi Pendeteksi Kelayakan Air Minum Dalam Kemasan (AMDK).

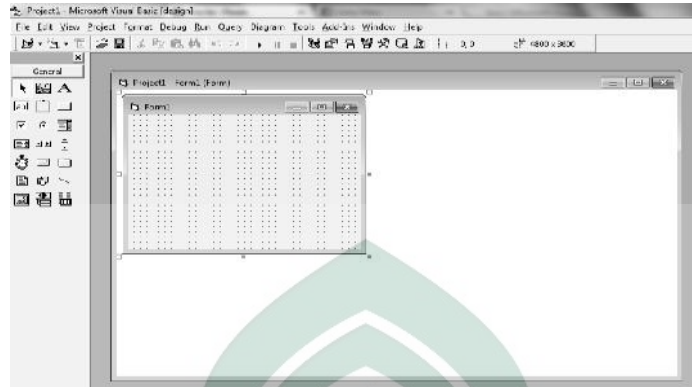
1) Perancangan Program

Untuk memulai klik menu *Start* | *All Program* | *Microsoft Visual Basic 6.0* | *Microsoft Visual Basic 6.0*. Seperti yang ditampilkan gambar IV.7 :



Gambar IV.7. *Interface Visual Basic 6.0*

Setelah itu, untuk membuat *project* baru pilih *File / New / Standard.Exe | open*, maka akan muncul *form* seperti gambar IV.8.



Gambar IV.8. *Project* baru

2) Perancangan Basis data (*Database*)

Sebelum membuat tabel, terlebih dahulu harus dibuat *database file* untuk menampung setiap tabel dengan nama *Baru.mdb*. Dalam *database*, akan dibuat dua tabel dengan nama *AIR* dan *login*. Rancangan tabelnya seperti tampak pada tabel di bawah ini.

Tabel IV.1 Rancangan tabel *AIR*

No.	Nama Field	Tipe
1.	KODE_AMDK	Text
2.	NAMA_AMDK	Text
3	TANGGAL_PEMERIKSAAN	Date/ Time
4	KADAR_TDS	Text
5	KETERANGAN	Text

Tabel IV.2 Rancangan tabel *login*

No.	Nama Field	Tipe
1.	Username	Text
2.	Password	Text

3) Perancangan Antarmuka (*Interface*)

a) Rancangan *Form Login*

The login form is titled "SISTEM INFORMASI PENDETEKSI KELAYAKAN AIR MINUM DALAM KEMASAN (AMDK) BERBASIS MIKROKONTROLER". It features a horizontal line below the title. Below the line, there are two input fields: "Username" and "Password". To the right of these fields are two buttons: "Login" and "Lihat&Cetak".

Gambar IV.9. Rancangan *Form Login*

b) Rancangan *Form Menu Utama*

The main menu interface has a header bar with four buttons: "MENU", "CETAK", "BANTUAN", and "LOGOUT". Below the header bar, the text "UNIVERSITAS ISLAM NEGERI ALAUDDIN" is displayed in a large, stylized font. Below this, the system title "SISTEM INFORMASI PENDETEKSI KELAYAKAN AIR MINUM DALAM KEMASAN (AMDK) BERBASIS MIKROKONTROLER" is shown. At the bottom, the text "Selamat Datang" is centered.

Gambar IV.10. Rancangan *Form Menu Utama*

c) Rancangan *Form Sub Menu*

MENU	CETAK	BANTUAN	LOGOUT	
Proses	▶	Form Data		
Ubah Akun		Lihat Data		
Keluar				

SISTEM INFORMASI
 PENDETEKSI KELAYAKAN AIR MINUM DALAM KEMASAN
 (AMDK) BERBASIS MIKROKONTROLER

Selamat Datang

Gambar IV.11. Rancangan *Form Sub Menu*d) Rancangan *Form Sub Menu Proses Form Data*

FORM DATA

KODE AMDK

NAMA AMDK

TANGGAL

STANDAR

KELAYAKAN

KOMUNIKASI PORT

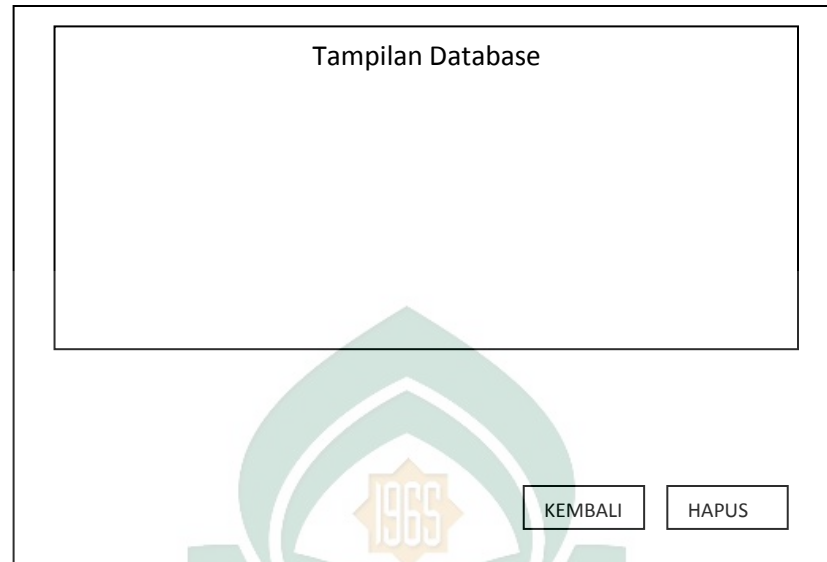
CONNECT DISCONNECT

KADAR TDR

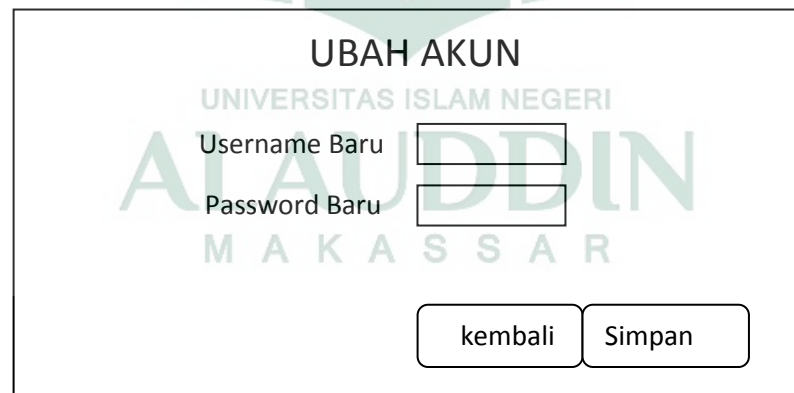
KETERANGAN

KEMBALI BARU SIMPAN

Gambar IV.12. Rancangan *Form Sub Menu Proses Form Data*

e) Rancangan *Form Sub* Menu Lihat Data

The image shows a wireframe for a 'Lihat Data' (View Data) sub-menu. It features a large rectangular area at the top labeled 'Tampilan Database' (Database Display). Below this area, there are two buttons: 'KEMBALI' (Back) and 'HAPUS' (Delete). A large, semi-transparent watermark of the Alauddin Makassar University logo is overlaid on the form.

Gambar IV.13. Rancangan *Form Sub* Menu Lihat Dataf) Rancangan *Form Sub* Menu Ubah Akun

The image shows a wireframe for an 'Ubah Akun' (Change Account) sub-menu. The title 'UBAH AKUN' is centered at the top. Below it, the text 'UNIVERSITAS ISLAM NEGERI' is displayed. The form contains two input fields: 'Username Baru' (New Username) and 'Password Baru' (New Password). At the bottom, there are two buttons: 'kembali' (Back) and 'Simpan' (Save). A large, semi-transparent watermark of the Alauddin Makassar University logo is overlaid on the form.

Gambar IV.14. Rancangan *Form Sub* Menu Ubah Akun

g) Rancangan *Form Sub Cetak*

MENU	CETAK	BANTUAN	LOGOUT	
	Cetak Berdasarkan Kode Cetak Berdasarkan Nama			
SISTEM INFORMASI PENDETEKSI KELAYAKAN AIR MINUM DALAM KEMASAN (AMDK) BERBASIS MIKROKONTROLER Selamat Datang				

Gambar IV.15. Rancangan *Form Sub Cetak*h) Rancangan *Form Sub Cetak Berdasarkan Kode*

Masukkan Kode

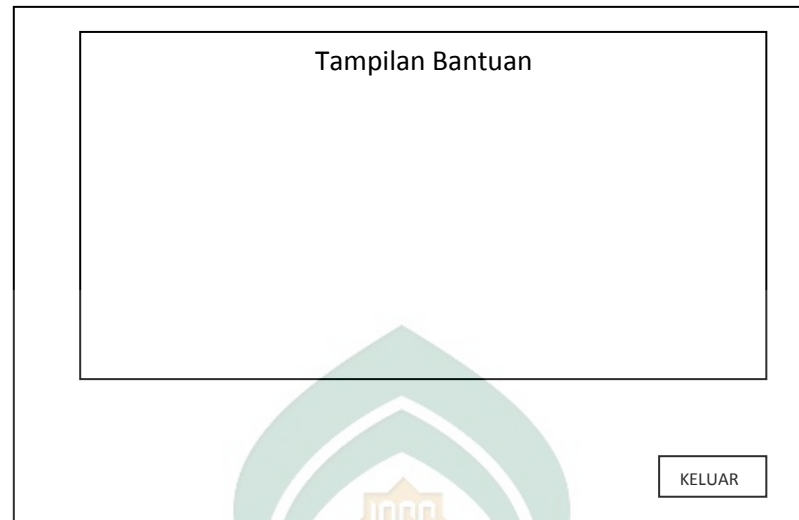
KEMBALI
CETAK

Gambar IV.16. Rancangan *Form Sub Cetak Berdasarkan Kode*i) Rancangan *Form Sub Cetak Berdasarkan Nama*

Masukkan Nama

KEMBALI
CETAK

Gambar IV.17. Rancangan *Form Sub Cetak Berdasarkan Nama*

j) Rancangan *Form Sub Bantuan*

The image shows a wireframe for a 'Form Sub Bantuan'. It consists of a large outer rectangle containing a smaller inner rectangle. The text 'Tampilan Bantuan' is centered at the top of the inner rectangle. In the bottom right corner of the outer rectangle, there is a small rectangular button labeled 'KELUAR'.

Gambar IV.18. Rancangan *Form Sub Bantuan*

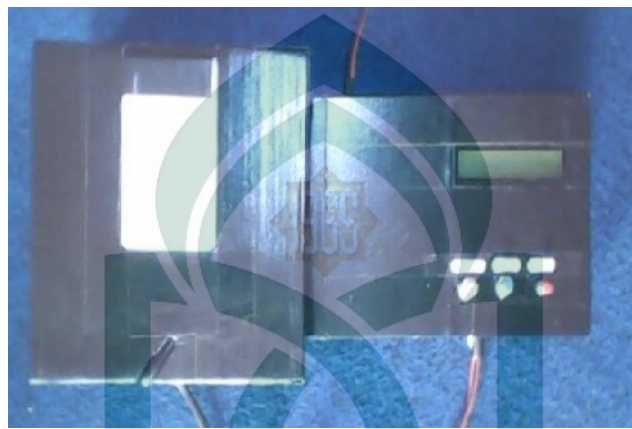
BAB V

IMPLEMENTASI DAN PENGUJIAN SISTEM

A. Implementasi

1. Hasil Perancangan Perangkat Keras

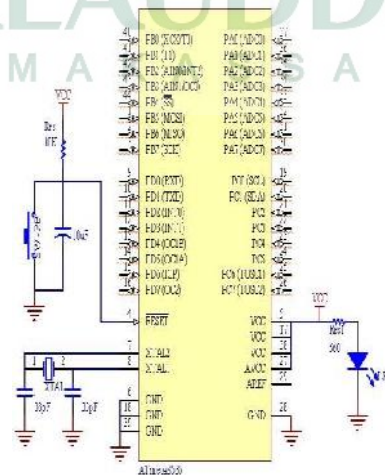
a. Tampilan Perangkat Keras



Gambar V.1 Sistem Pendeteksi kelayakan AMDK berbasis Mikrokontroler

b. Skema Rangkaian Sistem

1) Minimum Sistem Mikrokontroler ATmega 8535

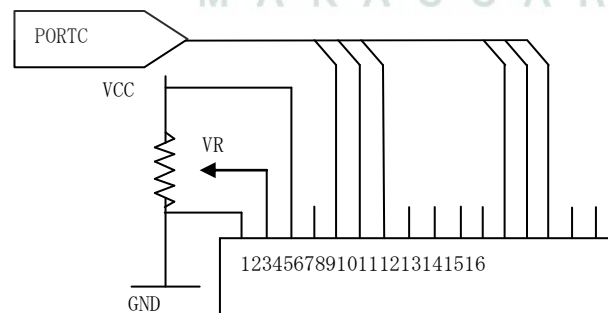


Gambar V.2: Minimum Sistem Mikrokontroler ATmega 8535

Sistem minimum ATmega8535 ini digunakan untuk Mikrokontroler AVR ATmega8535 agar dapat bekerja dengan baik ketika digunakan. Pada rangkaian sistem minimum ini, sudah dilengkapi rangkaian untuk catu daya, jadi selain bisa menerima *input* tegangan 5 volt, rangkaian ini juga bisa menerima tegangan 9V,12V, 15V, atau lebih. Terdapat 4x8 I/O (32 I/O). Selain itu terdapat 5 pin untuk *programming* mikrokontroler.

Pada gambar rangkaian di atas dapat dilihat mikrokontroler adalah pengendali utama, pin VCC merupakan pin yang berfungsi sebagai masukan catu daya, *reset* berfungsi sebagai pin masukan *mereset* program pada mikrokontroler, pin GND untuk *ground* dan pin XTAL 1,2 merupakan pin masukan *clock eksternal*, pada kaki pin PortC.0 sampai pin PortC.7 adalah pin untuk LCD, pin PortA.0, sampai pin PortA.7 merupakan *input sensor infrared*, pin PortB.0 sampai pin PortB.7 merupakan *input* elektrolisa air, pin PD2 untuk proses elektrolisa air serta pin PD3 untuk proses *infrared*.

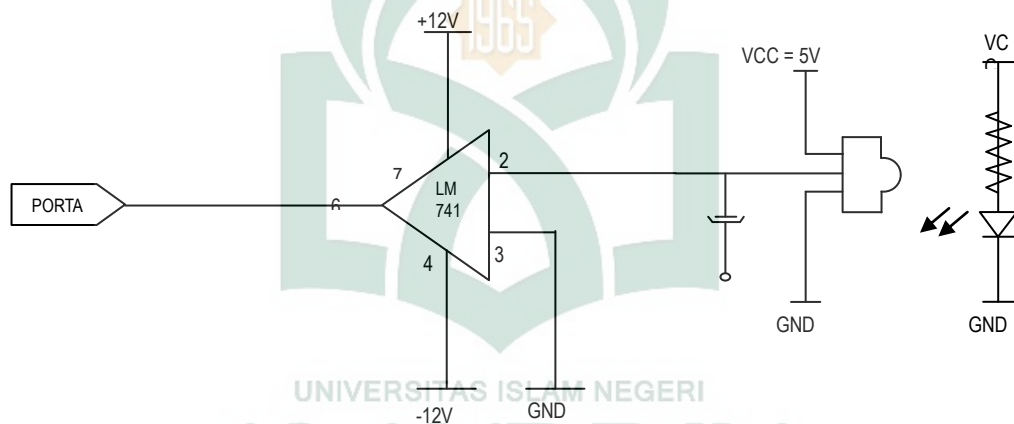
2) Rangkaian LCD (*Liquid Criystal Display*)



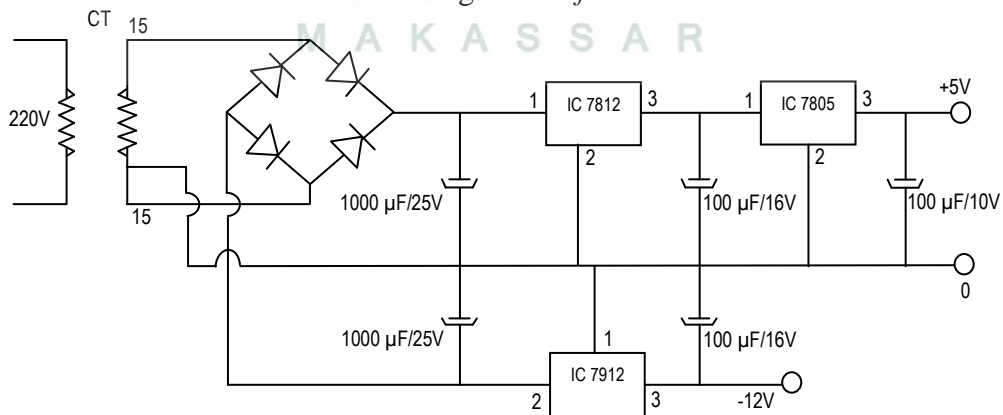
Gambar V.3: Rangkaian LCD

Rangkaian ini digunakan sebagai *display* tampilan, berfungsi untuk memberi peringatan *loading* program, peringatan *start* untuk menjalankan alat, dan penentuan standar tinggi yang *diinput*. *LCD* yang digunakan dengan tampilan 2x16 (2 baris, 16 kolom) dan pin yang digunakan untuk berhubungan dengan mikrokontroler adalah pin-pin *ADC (Analog Digital Converter)* yang berfungsi merubah tegangan analog ke digital pada *LCD* dan pin yang digunakan adalah Port C.

3) Rangkaian Sensor *Infrared*



Gambar V.4: Rangkaian *Infrared*

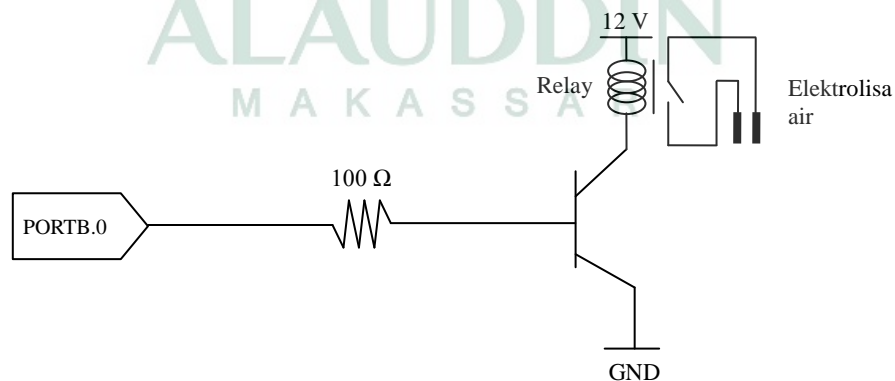


Gambar V.5. Regulator tegangan

Gambar V.4 merupakan rangkaian sensor *infrared* yang bekerja dengan memancarkan cahaya *infrared*. Antara Sensor *Infrared* dan *receiver* terdapat air yang akan diuji. Setelah *infrared* memancarkan cahaya, maka *receiver* akan menangkap cahaya *infrared* yang melewati air yang diuji. Agar hasil yang diperoleh oleh *receiver* dapat maksimal maka digunakan penguat sinyal Op-Amp IC LM741.

Regulator tegangan pada Gambar V.5 menandakan adanya perubahan tegangan, dimana tegangan yang semula 5V yang berasal dari *infrared* diubah menjadi 12V pada penguat Op-Amp kemudian diubah kembali ke tegangan 5V sehingga tegangan yang masuk ke mikrokontroler sebesar 5V. Berkas cahaya atau hasil yang ditangkap oleh *receiver* merupakan hasil yang nantinya akan menjadi *input* pada mikrokontroler. Untuk berhubungan dengan mikrokontroler digunakan PortA.

4) Rangkaian elektrolisa air



Gambar V.6. Rangkaian Elektrolisa Air

Pada Rangkaian elektroisa air terdapat *relay* yang berfungsi untuk menyambung atau memutuskan arus, sesuai dengan program yang telah dibuat.

Pada rangkaian ini untuk berhubungan dengan mikrokontroler digunakan PortB

5) Listing Program

```

signed int infra_merah;
float dataadc;
unsigned char sbuff[16];

// Read the AD conversion result
unsigned int read_adc(unsigned char adc_input)
{
ADMUX=adc_input | (ADC_VREF_TYPE & 0xff);
// Delay needed for the stabilization of the ADC input voltage
delay_us(10);
// Start the AD conversion
ADCSRA|=0x40;
// Wait for the AD conversion to complete
while ((ADCSRA & 0x10)==0);
ADCSRA|=0x10;
return ADCW;
}
Alphanumeric LCD initialization
// Connections specified in the
// Project|Configure|C Compiler|Libraries|Alphanumeric LCD
menu:
// RS - PORTC Bit 0
// RD - PORTC Bit 1
// EN - PORTC Bit 2
// D4 - PORTC Bit 4
// D5 - PORTC Bit 5
// D6 - PORTC Bit 6
// D7 - PORTC Bit 7
// Characters/line: 16
lcd_init(16);
lcd_clear();
lcd_gotoxy(0,0);
lcd_putsf("A.UKUR AIR KERUH");
lcd_gotoxy(0,1);
lcd_putsf("AAN-FST-UIN2008");
delay_ms(5000);

```

```

while (1)
{
  lcd_clear();
  infra_merah = read_adc(0);
  infra_merah = infra_merah^1023;
  infra_merah = infra_merah-350;
  //float to array, mengubah tipe data float k tipe data
  array yg kan ditampilkan di LCD
  if (infra_merah<0)
  infra_merah=0;
  else infra_merah=infra_merah;
    dataadc = ((float)infra_merah/1023)*1000;
    DDRD = 0x00;
    PORTD = 0xff;
  ftoa(dataadc,2,sbuff);
  delay_ms(500);
  if (PIND.2 == 0) // proses elektrolisa air
  {
    lcd_clear();
    lcd_gotoxy(0,0);
    lcd_putsf("A.UKUR AIR KERUH");
    lcd_gotoxy(0,1);
    lcd_putsf("SEDANG EL.ROLISA");
    DDRB.0 = 1;
    PORTB.0 = 1;
    delay_ms(60000);
    lcd_gotoxy(0,1);
    lcd_putsf("=== SELESAI === ");
    PORTB.0 = 0;
    delay_ms(3000);
  }
  //printf("Keluaran :");
  if (PIND.3 == 0) // proses penampilan kadar TDS ke LCD
  {
    lcd_clear();
    lcd_gotoxy(0,0);
    lcd_putsf("A.UKUR AIR KERUH");
    lcd_gotoxy(0,1);
    lcd_putsf("NILAI=");
    lcd_gotoxy(6,1);
    lcd_puts(sbuff);
    lcd_gotoxy(13,1);
    lcd_putsf("ppm");
    printf("%i",infra_merah);
    delay_ms(30000);
  }
}}

```

2. Hasil Perancangan Perangkat Lunak

Pada Gambar V.7, merupakan *interface* yang digunakan untuk mengakses sistem dengan cara menginput *username* dan *password*. *Button Login* digunakan untuk mengakses aplikasi apabila *username* serta *password* tersebut telah sesuai. *Button* lihat & cetak digunakan oleh selain *admin* atau pengguna lain hanya untuk melihat dan melakukan pencetakan *report*. *Button* ini tidak memerlukan *login* terlebih dahulu.

Gambar V.7. *Form Login*

Pada Gambar V.8, merupakan *interface* yang menampilkan menu-menu yang ada dalam *form* yang aktif. *Form Menu* memiliki *sub-menu* yang digunakan untuk memproses atau menampilkan *form* lainnya.

Apabila masuk sebagai *admin* maka ada empat menu yang akan muncul, yaitu menu, cetak, bantuan dan *logout*. Menu terdiri dari *sub menu* proses, ubah akun dan keluar. *Sub menu* proses memiliki dua *sub menu* lagi yaitu *form data* dan lihat data. Kemudian menu yang kedua yaitu menu cetak yang terdiri dari dua *sub menu*

yaitu cetak berdasarkan kode dan cetak berdasarkan nama. Menu yang ketiga yaitu menu bantuan dan menu yang keempat yaitu *logout*.

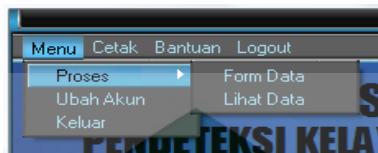
Apabila masuk tanpa *login* atau sebagai pengguna lain maka pada *form* menu utama yang membedakannya dengan *admin* yaitu pada *form sub* menu proses untuk *form* data dan *form* sub menu ubah akun akan ter *visible*. Selain itu pada *form* menu utama *logout* juga akan hilang. Jadi pada pengguna lain menu yang tampil hanya menu, cetak dan bantuan.



Gambar V.8. *Form* Menu Utama

Pada Gambar V.10, merupakan *Interface* yang digunakan untuk menginput data AMDK berupa kode AMDK, nama AMDK, tanggal, standar kelayakan, kadar TDS dan keterangan. Pada *form* ini juga memungkinkan pengguna untuk melakukan pengaturan port. Pada *button connect* dan *disconnect* merupakan penghubung antara sistem dan mikrokontroler.

Selanjutnya *button* simpan berfungsi untuk menyimpan data ke dalam *database* yang telah disediakan. *Button* baru digunakan jika ingin *input* data baru. *Button* kembali berfungsi untuk memungkinkan pengguna kembali ke menu utama.



Gambar V.9. *Form sub* Menu Utama

Gambar V.10. *Form data*

Pada Gambar V.11, merupakan *Interface* untuk melihat dan menghapus data. *Button* kembali digunakan untuk kembali ke menu utama. *Button* hapus digunakan untuk menghapus data yang ada pada *database*. Pengecualian jika masuk sebagai pengguna maka *button* akan *disable* atau tidak aktif.

DATABASE				
KODE AMDK	NAMA AMDK	TANGGAL PEMERIKSAAN	KADAR TD5	KETERANGAN
C1	A	12/19/2012	31.9648	TIDAK LAYAK
C2	B	12/19/2012	70.088	TIDAK LAYAK
C3	I	12/23/2012	34.54	TIDAK LAYAK
C4	C	12/23/2012	87.97654	TIDAK LAYAK
C5	E	12/30/2012	23.1672	TIDAK LAYAK
C6	F	12/30/2012	46.92082	LAYAK
C7	G	12/30/2012	62.661	TIDAK LAYAK
C8	F	12/30/2012	48.87586	LAYAK
C9	I	1/6/2013	31.9648	TIDAK LAYAK
C10	J	1/6/2013	236.5591	TIDAK LAYAK

Gambar V.11. *Form* Lihat data

Pada Gambar V.12, merupakan *interface* untuk mencetak *report*. Terdapat dua *sub* menu dalam menu cetak yaitu cetak berdasarkan kode, dimana pada *form* ini pengguna dapat mencetak *report* berdasarkan kode AMDK dan cetak berdasarkan nama, dimana pada *form* ini pengguna dapat mencetak *report* berdasarkan nama AMDK.



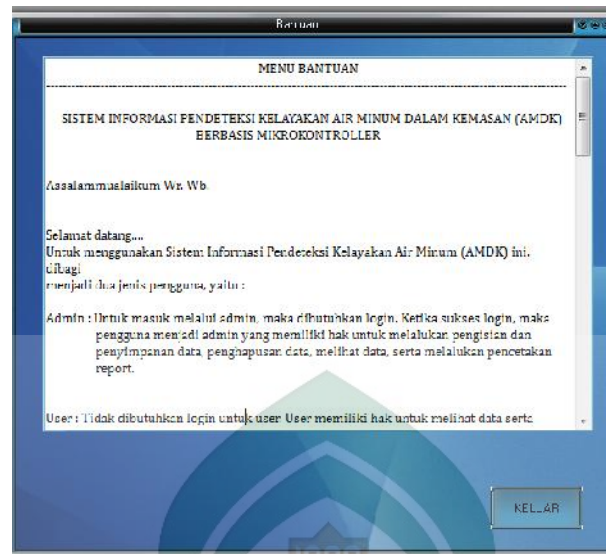
Gambar V.12. *Form sub* Menu Cetak

Gambar V.13. *Form* cetak berdasarkan Kode dan Nama

Pada gambar V.14, merupakan *interface* untuk mengubah akun. Pada *form* ini memungkinkan pengguna (*admin*) untuk mengganti *username* dan *password*nya.

Gambar V.14. *Form* Ubah Akun

Pada gambar V.15, merupakan *interface* memberikan petunjuk penggunaan dari sistem ini. Sehingga pengguna dapat dengan mudah untuk mengaplikasikan sistem ini. Pada *form* ini terdapat *textbox* yang berisi informasi penggunaan sistem dan sebuah *button* keluar yang berfungsi untuk keluar dari *form* tersebut.



Gambar V.15. Form Bantuan

SISTEM PENDETEKSI
KELAYAKAN AIR MINUM DALAM KEMASAN
(AMDK)
BERBASIS MIKROKONTROLLER

LAPORAN KELAYAKAN

SESUAI DENGAN KETETAPAN WORLD HEALTH ORGANIZATION (WHO) DAN STANDAR NEGARA INDONESIA (SNI) 3553-01-2006 TENTANG SYARAT DAN KETENTUAN AIR MINUM DALAM KEMASAN (AMDK) SEHINGGA DAPAT BEREDAR DI PASARAN. DENGAN INI DI NYATAKAN KEPADA :

KODE PRODUK : 06
NAMA PRODUK : F
TANGGAL PEMERIKSAAN : 12/30/2012

SETELAH MELALUI PROSES VERIFIKASI DAN EVALUASI DENGAN INI :

DINYATAKAN : LAYAK

DENGAN KADAR TDS : 46.92082 PPM

UNTUK MENDAPATKAN IZIN BEREDAR DI PASARAN.
BERLAKU SELAMA 1 TAHUN SETELAH TANGGAL PEMERIKSAAN.

KETUA

AAN SULFIKAR

Gambar V.16. Form report

Gambar V.16 merupakan contoh tampilan *report*, dimana di dalamnya berisi data-data yang sesuai dengan kode atau nama yang *diinput* pada *form* cetak sebelumnya. selain itu pada *report* ini juga menampilkan masa berlaku pemeriksaan dari sistem ini.

B. Pengujian Sistem

1. Pengujian Perangkat Keras

a. Pengujian Sensor

Pada pengujian sensor ini bertujuan untuk mengetahui tegangan *output* yang ditangkap oleh *received* dari *infrared*. dari hasil pengujian diperoleh tegangan yang berbeda antara saat air jernih dengan saat keruh.

Tabel.V.1. Pengujian tegangan pada Sensor *Infrared*

Tegangan (V)	Konversi desimal	Kadar (ppm)
0	0	420
0.5	256	315
1	512	210
1.5	768	105
2	1023	0

b. Pengujian Air Minum Dalam Kemasan (AMDK)

Pengujian ini bertujuan untuk mengetahui faktor-faktor apa sajakah yang dapat mempengaruhi nilai TDS dari suatu AMDK serta sejauh mana pengaruh yang diakibatkan. Faktor-faktor tersebut antara lain kontaminasi sinar matahari langsung, perubahan suhu dan kelembaban. Adapun hasil perbandingan data BPOM yang didapatkan dari AMDK yang diletakkan pada tempat yang sejuk atau sesuai dan AMDK yang terkontaminasi dapat dilihat pada tabel-tabel di bawah :

1) Pengujian pada AMDK (merek A)

Tabel.V.2. Perbandingan nilai TDS antara AMDK merek A pada tempat sejuk dan tempat bersuhu tinggi.

No	Merek AMDK	Penempatan		Persentase Kenaikan
		Tempat sejuk (Sesuai) (ppm)	Tempat suhu tinggi (ppm)	
1	A1	139	184	32,3 %
2	A2	139	245	76,2 %
3	A3	139	152	9,3 %
4	A4	139	145	4,3 %
5	A5	139	212	52,5 %
6	A6	139	168	20,8 %
7	A7	139	149	7,1 %
8	A8	139	167	20,1 %
9	A9	139	142	2,1 %
10	A10	139	192	38,1 %
Rata-rata kenaikan				26,28 %

Pada tabel.V.2. dapat dilihat bahwa setelah melakukan pengujian terhadap 10 AMDK merek A, didapatkan kenaikan nilai TDS setelah mengalami kontaminasi terhadap suhu tinggi sebesar 26,28 %

Tabel.V.3. Perbandingan nilai TDS antara AMDK merek A pada tempat sejuk dan tempat bersuhu rendah.

No	Merek AMDK	Penempatan		Persentase Kenaikan
		Tempat sejuk (Sesuai) (ppm)	Tempat suhu rendah (ppm)	
1	A1	139	158	13,7 %
2	A2	139	173	24,5 %
3	A3	139	224	61,2 %
4	A4	139	149	7,2 %
5	A5	139	154	10,8 %
6	A6	139	199	43,2 %
7	A7	139	165	18,7 %
8	A8	139	167	20,1 %
9	A9	139	178	28,1 %
10	A10	139	165	18,7 %
Rata-rata kenaikan				24,6 %

Pada tabel.V.3. dapat dilihat bahwa setelah melakukan pengujian terhadap 10 AMDK merek A, didapatkan kenaikan nilai TDS setelah mengalami kontaminasi terhadap suhu rendah sebesar 24,6 %

2) Pengujian pada AMDK (merek B)

Tabel.V.4. Perbandingan nilai TDS antara AMDK merek B pada tempat sejuk dan tempat bersuhu tinggi.

No	Merek AMDK	Penempatan		Persentase Kenaikan
		Tempat sejuk (Sesuai) (ppm)	Tempat suhu tinggi (ppm)	
1	B1	180	225	25 %
2	B2	180	214	18,9 %
3	B3	180	223	23,9 %
4	B4	180	235	30,6 %
5	B5	180	216	20 %
6	B6	180	199	10,6 %
7	B7	180	189	5 %
8	B8	180	192	6,7 %
9	B9	180	256	42,2 %
10	B10	180	262	45,6 %
		Rata-rata kenaikan		22,8 %

Pada tabel.V.4. dapat dilihat bahwa setelah melakukan pengujian terhadap 10 AMDK merek B, didapatkan kenaikan nilai TDS setelah mengalami kontaminasi terhadap suhu tinggi sebesar 22,8 %

Tabel.V.5. Perbandingan nilai TDS antara AMDK merek B pada tempat sejuk dan tempat bersuhu rendah.

No	Merek AMDK	Penempatan		Persentase Kenaikan
		Tempat sejuk (Sesuai) (ppm)	Tempat suhu rendah (ppm)	
1	B1	180	234	30 %
2	B2	180	255	41,7 %
3	B3	180	247	37,2 %
4	B4	180	210	16,7 %
5	B5	180	198	10 %

6	B6	180	216	20 %
7	B7	180	190	5,6 %
8	B8	180	187	3,9 %
9	B9	180	219	21,7 %
10	B10	180	238	32,2 %
		Rata-rata kenaikan		21,9 %

Pada tabel.V.5. dapat dilihat bahwa setelah melakukan pengujian terhadap 10 AMDK merek B, didapatkan kenaikan nilai TDS setelah mengalami kontaminasi terhadap suhu rendah sebesar 21,9 %

3) Pengujian pada AMDK (merek C)

Tabel.V.6. Perbandingan nilai TDS antara AMDK merek C pada tempat sejuk dan tempat bersuhu tinggi.

No	Merek AMDK	Penempatan		Persentase Kenaikan
		Tempat sejuk (Sesuai) (ppm)	Tempat suhu tinggi (ppm)	
1	C1	144	205	42,4 %
2	C2	144	160	11,1 %
3	C3	144	213	47,9 %
4	C4	144	187	29,9 %
5	C5	144	198	37,5 %
6	C6	144	145	0,7 %
7	C7	144	218	51,4 %
8	C8	144	237	64,6 %
9	C9	144	287	99,3 %
10	C10	144	162	12,5 %
		Rata-rata kenaikan		39,7 %

Pada tabel.V.6. dapat dilihat bahwa setelah melakukan pengujian terhadap 10 AMDK merek C, didapatkan kenaikan nilai TDS setelah mengalami kontaminasi terhadap suhu tinggi sebesar 39,7 %

Tabel.V.7. Perbandingan nilai TDS antara AMDK merek C pada tempat sejuk dan tempat bersuhu rendah.

No	Merek AMDK	Penempatan		Persentase Kenaikan
		Tempat sejuk (Sesuai) (ppm)	Tempat suhu rendah (ppm)	
1	C1	144	210	45,8 %
2	C2	144	156	8,3 %
3	C3	144	162	12,5 %
4	C4	144	149	3,5 %
5	C5	144	234	62,5 %
6	C6	144	222	54,2 %
7	C7	144	248	72,2 %
8	C8	144	187	29,9 %
9	C9	144	162	12,5 %
10	C10	144	211	46,5 %
		Rata-rata kenaikan		34,8 %

Pada tabel.V.7. dapat dilihat bahwa setelah melakukan pengujian terhadap 10 AMDK merek C, didapatkan kenaikan nilai TDS setelah mengalami kontaminasi terhadap suhu rendah sebesar 34,8 %

4) Pengujian pada AMDK (merek D)

Tabel.V.8. Perbandingan nilai TDS antara AMDK merek D pada tempat sejuk dan tempat bersuhu tinggi.

No	Merek AMDK	Penempatan		Persentase Kenaikan
		Tempat sejuk (Sesuai) (ppm)	Tempat suhu tinggi (ppm)	
1	D1	79	80	1,3 %
2	D2	79	97	22,8 %
3	D3	79	111	40,5 %
4	D4	79	102	29,1 %
5	D5	79	88	11,4 %
6	D6	79	134	69,6 %
7	D7	79	121	53,2 %
8	D8	79	84	6,3 %
9	D9	79	92	16,5 %
10	D10	79	128	62 %
		Rata-rata kenaikan		31,3 %

Pada tabel.V.8. dapat dilihat bahwa setelah melakukan pengujian terhadap 10 AMDK merek D, didapatkan kenaikan nilai TDS setelah mengalami kontaminasi terhadap suhu tinggi sebesar 31,3 %

Tabel.V.9. Perbandingan nilai TDS antara AMDK merek D pada tempat sejuk dan tempat bersuhu rendah.

No	Merek AMDK	Penempatan		Persentase Kenaikan
		Tempat sejuk (Sesuai) (ppm)	Tempat suhu rendah (ppm)	
1	D1	79	91	15,2 %
2	D2	79	86	8,9 %
3	D3	79	119	50,6 %
4	D4	79	120	51,9 %
5	D5	79	102	29,1 %
6	D6	79	98	24,1 %
7	D7	79	93	17,7 %
8	D8	79	126	59,5 %
9	D9	79	142	79,7 %
10	D10	79	137	73,4 %
		Rata-rata kenaikan		41 %

Pada tabel.V.9. dapat dilihat bahwa setelah melakukan pengujian terhadap 10 AMDK merek D, didapatkan kenaikan nilai TDS setelah mengalami kontaminasi terhadap suhu rendah sebesar 41 %

5) Pengujian pada AMDK (merek E)

Tabel.V.10. Perbandingan nilai TDS antara AMDK merek E pada tempat sejuk dan tempat bersuhu tinggi.

No	Merek AMDK	Penempatan		Persentase Kenaikan
		Tempat sejuk (Sesuai) (ppm)	Tempat suhu tinggi (ppm)	
1	E1	130	139	6,9 %
2	E2	130	153	17,7 %
3	E3	130	169	30 %

4	E4	130	210	61,5 %
5	E5	130	138	6,2 %
6	E6	130	142	9,2 %
7	E7	130	168	29,2 %
8	E8	130	174	33,8 %
9	E9	130	198	52,3 %
10	E10	130	204	56,9 %
Rata-rata kenaikan				30,4 %

Pada tabel.V.10. dapat dilihat bahwa setelah melakukan pengujian terhadap 10 AMDK merek E, didapatkan kenaikan nilai TDS setelah mengalami kontaminasi terhadap suhu tinggi sebesar 30,4 %

Tabel.V.11. Perbandingan nilai TDS antara AMDK merek E pada tempat sejuk dan tempat bersuhu rendah.

No	Merek AMDK	Penempatan		Persentase Kenaikan
		Tempat sejuk (Sesuai) (ppm)	Tempat suhu rendah (ppm)	
1	E1	130	218	67,7 %
2	E2	130	160	23,1 %
3	E3	130	134	3,1 %
4	E4	130	178	36,9 %
5	E5	130	145	11,5 %
6	E6	130	183	40,8 %
7	E7	130	146	12,3 %
8	E8	130	217	66,9 %
9	E9	130	156	20 %
10	E10	130	142	9,2 %
Rata-rata kenaikan				29,2 %

Pada tabel.V.11. dapat dilihat bahwa setelah melakukan pengujian terhadap 10 AMDK merek E, didapatkan kenaikan nilai TDS setelah mengalami kontaminasi terhadap suhu rendah sebesar 29,2 %

6) Pengujian pada AMDK (merek F)

Tabel.V.12. Perbandingan nilai TDS antara AMDK merek F pada tempat sejuk dan tempat bersuhu tinggi.

No	Merek AMDK	Penempatan		Persentase Kenaikan
		Tempat sejuk (Sesuai) (ppm)	Tempat suhu tinggi (ppm)	
1	F1	48	51	6,3 %
2	F2	48	59	22,9 %
3	F3	48	89	85,4 %
4	F4	48	121	152,1 %
5	F5	48	67	39,6 %
6	F6	48	58	20,8 %
7	F7	48	140	191,7 %
8	F8	48	76	58,3 %
9	F9	48	82	70,8 %
10	F10	48	115	139,6 %
		Rata-rata kenaikan		78,8 %

Pada tabel.V.12. dapat dilihat bahwa setelah melakukan pengujian terhadap 10 AMDK merek F, didapatkan kenaikan nilai TDS setelah mengalami kontaminasi terhadap suhu tinggi sebesar 78,8%

Tabel.V.13. Perbandingan nilai TDS antara AMDK merek F pada tempat sejuk dan tempat bersuhu rendah.

No	Merek AMDK	Penempatan		Persentase Kenaikan
		Tempat sejuk (Sesuai) (ppm)	Tempat suhu rendah (ppm)	
1	F1	48	56	16,7 %
2	F2	48	64	33,3 %
3	F3	48	87	81,3 %
4	F4	48	93	93,8 %
5	F5	48	67	39,6 %
6	F6	48	76	58,3 %
7	F7	48	110	129,2 %
8	F8	48	52	8,3 %
9	F9	48	94	95,8 %
10	F10	48	75	56,3 %
		Rata-rata kenaikan		61,3 %

Pada tabel.V.13. dapat dilihat bahwa setelah melakukan pengujian terhadap 10 AMDK merek F, didapatkan kenaikan nilai TDS setelah mengalami kontaminasi terhadap suhu rendah sebesar 61,3 %

7) Pengujian pada AMDK (merek G)

Tabel.V.14. Perbandingan nilai TDS antara AMDK merek G pada tempat sejuk dan tempat bersuhu tinggi.

No	Merek AMDK	Penempatan		Persentase Kenaikan
		Tempat sejuk (Sesuai) (ppm)	Tempat suhu tinggi (ppm)	
1	G1	56	60	7,1 %
2	G2	56	59	5,4 %
3	G3	56	71	26,8 %
4	G4	56	87	55,4 %
5	G5	56	66	17,9 %
6	G6	56	91	62,5 %
7	G7	56	93	66,1 %
8	G8	56	77	37,5 %
9	G9	56	101	80,4 %
10	G10	56	58	3,6 %
Rata-rata kenaikan				36,3 %

Pada tabel.V.14. dapat dilihat bahwa setelah melakukan pengujian terhadap 10 AMDK merek G, didapatkan kenaikan nilai TDS setelah mengalami kontaminasi terhadap suhu tinggi sebesar 36,3 %

Tabel.V.15. Perbandingan nilai TDS antara AMDK merek G pada tempat sejuk dan tempat bersuhu rendah.

No	Merek AMDK	Penempatan		Persentase Kenaikan
		Tempat sejuk (Sesuai) (ppm)	Tempat suhu rendah (ppm)	
1	G1	56	76	35,7 %
2	G2	56	58	3,6 %
3	G3	56	90	60,7 %
4	G4	56	82	46,4 %
5	G5	56	112	100 %

6	G6	56	78	39,3 %
7	G7	56	88	57,1 %
8	G8	56	93	66,1 %
9	G9	56	81	44,6 %
10	G10	56	70	25 %
		Rata-rata kenaikan		47,9 %

Pada tabel.V.15. dapat dilihat bahwa setelah melakukan pengujian terhadap 10 AMDK merek G, didapatkan kenaikan nilai TDS setelah mengalami kontaminasi terhadap suhu rendah sebesar 47,9 %

8) Pengujian pada AMDK (merek H)

Tabel.V.16. Perbandingan nilai TDS antara AMDK merek H pada tempat sejuk dan tempat bersuhu tinggi.

No	Merek AMDK	Penempatan		Persentase Kenaikan
		Tempat sejuk (Sesuai) (ppm)	Tempat suhu tinggi (ppm)	
1	H1	40	51	27,5 %
2	H2	40	56	40%
3	H3	40	72	80 %
4	H4	40	65	62,5 %
5	H5	40	52	30 %
6	H6	40	49	22,5 %
7	H7	40	43	7,5 %
8	H8	40	41	2,5 %
9	H9	40	53	32,5 %
10	H10	40	65	62,5 %
		Rata-rata kenaikan		36,8 %

Pada tabel.V.16. dapat dilihat bahwa setelah melakukan pengujian terhadap 10 AMDK merek H, didapatkan kenaikan nilai TDS setelah mengalami kontaminasi terhadap suhu tinggi sebesar 36,8 %

Tabel.V.17. Perbandingan nilai TDS antara AMDK merek H pada tempat sejuk dan tempat bersuhu rendah.

No	Merek AMDK	Penempatan		Persentase Kenaikan
		Tempat sejuk (Sesuai) (ppm)	Tempat suhu rendah (ppm)	
1	H1	40	44	10 %
2	H2	40	45	12,5 %
3	H3	40	49	22,5 %
4	H4	40	52	30 %
5	H5	40	58	45 %
6	H6	40	45	12,5 %
7	H7	40	66	65 %
8	H8	40	63	57,5 %
9	H9	40	43	7,5 %
10	H10	40	56	40 %
		Rata-rata kenaikan		30,3 %

Pada tabel.V.17. dapat dilihat bahwa setelah melakukan pengujian terhadap 10 AMDK merek H, didapatkan kenaikan nilai TDS setelah mengalami kontaminasi terhadap suhu rendah sebesar 30,3 %

9) Pengujian pada AMDK (merek I)

Tabel.V.18. Perbandingan nilai TDS antara AMDK merek I pada tempat sejuk dan tempat bersuhu tinggi.

No	Merek AMDK	Penempatan		Persentase Kenaikan
		Tempat sejuk (Sesuai) (ppm)	Tempat suhu tinggi (ppm)	
1	I1	123	144	17,1 %
2	I2	123	134	8,9 %
3	I3	123	124	0,8 %
4	I4	123	156	26,8 %
5	I5	123	187	52 %
6	I6	123	156	26,8 %
7	I7	123	154	25,2 %
8	I8	123	186	51,2 %
9	I9	123	148	20,3 %
10	I10	123	198	61 %
		Rata-rata kenaikan		29 %

Pada tabel.V.18. dapat dilihat bahwa setelah melakukan pengujian terhadap 10 AMDK merek I, didapatkan kenaikan nilai TDS setelah mengalami kontaminasi terhadap suhu tinggi sebesar 29 %

Tabel.V.19. Perbandingan nilai TDS antara AMDK merek I pada tempat sejuk dan tempat bersuhu rendah.

No	Merek AMDK	Penempatan		Persentase Kenaikan
		Tempat sejuk (Sesuai) (ppm)	Tempat suhu rendah (ppm)	
1	I1	123	125	1,6 %
2	I2	123	129	4,9 %
3	I3	123	132	7,3 %
4	I4	123	154	25,2 %
5	I5	123	133	8,1 %
6	I6	123	129	4,9 %
7	I7	123	135	9,8 %
8	I8	123	143	16,3 %
9	I9	123	176	43,1 %
10	I10	123	135	9,8 %
		Rata-rata kenaikan		13,1 %

Pada tabel.V.19. dapat dilihat bahwa setelah melakukan pengujian terhadap 10 AMDK merek I, didapatkan kenaikan nilai TDS setelah mengalami kontaminasi terhadap suhu rendah sebesar 13,1 %

10) Pengujian pada AMDK (merek J)

Tabel.V.20. Perbandingan nilai TDS antara AMDK merek J pada tempat sejuk dan tempat bersuhu tinggi.

No	Merek AMDK	Penempatan		Persentase Kenaikan
		Tempat sejuk (Sesuai) (ppm)	Tempat suhu tinggi (ppm)	
1	J1	213	222	4,2 %
2	J2	213	245	15 %
3	J3	213	267	25,4 %
4	J4	213	245	15 %
5	J5	213	276	29,6 %

6	J6	213	219	2,8 %
7	J7	213	257	20,7 %
8	J8	213	286	34,3 %
9	J9	213	246	15,5 %
10	J10	213	217	1,9 %
		Rata-rata kenaikan		16,4 %

Pada tabel.V.20. dapat dilihat bahwa setelah melakukan pengujian terhadap 10 AMDK merek J, didapatkan kenaikan nilai TDS setelah mengalami kontaminasi terhadap suhu tinggi sebesar 16,4 %

Tabel.V.21. Perbandingan nilai TDS antara AMDK merek J pada tempat sejuk dan tempat bersuhu rendah.

No	Merek AMDK	Penempatan		Persentase Kenaikan
		Tempat sejuk (Sesuai) (ppm)	Tempat suhu rendah (ppm)	
1	J1	213	256	20,2 %
2	J2	213	298	39,9 %
3	J3	213	246	15,5 %
4	J4	213	214	0,5 %
5	J5	213	257	20,7 %
6	J6	213	235	10,3 %
7	J7	213	287	34,7 %
8	J8	213	253	18,8 %
9	J9	213	219	2,8 %
10	J10	213	271	27,2 %
		Rata-rata kenaikan		19,1 %

Pada tabel.V.21. dapat dilihat bahwa setelah melakukan pengujian terhadap 10 AMDK merek J, didapatkan kenaikan nilai TDS setelah mengalami kontaminasi terhadap suhu rendah sebesar 19,1 %

Tabel.V.22. Perbandingan rata-rata persentase nilai TDS beberapa merek AMDK tempat bersuhu tinggi dan tempat bersuhu rendah.

No	Merek AMDK	Rata-rata persentase kenaikan	
		Tempat suhu rendah (ppm)	Tempat bersuhu tinggi (ppm)
1	A	26,28	24,6
2	B	22,8	21,9
3	C	39,7	34,8
4	D	31,3	41
5	E	30,4	29,2
6	F	78,8	61,3
7	G	36,3	47,9
8	H	36,8	30,3
9	I	29	13,1
10	J	16,4	19,1
Rata-rata		34,77	32,32

Pada tabel.V.22. dapat dilihat bahwa rata-rata persentase kenaikan nilai TDS dari beberapa merek AMDK yaitu 34,77 % untuk AMDK yang di tempatkan pada suhu tinggi dan 32,32 % untuk AMDK yang di tempatkan pada suhu rendah.

c. Pengujian Sistem Secara Keseluruhan

Tabel V.23. Hasil pengujian sistem secara keseluruhan

No	Merek	Kadar TDS dari BPOM (ppm)	Kadar TDS alat (ppm)	Perbedaan (%)	Ket
1	A	139	131,96	5,06	Tidak Layak
2	B	180	170,08	5,51	Tidak Layak
3	C	144	133,91	7,00	Tidak Layak
4	D	79	87,97	11,35	Tidak Layak
5	E	130	123,16	5,26	Tidak Layak
6	F	48	46,92	2,16	Layak
7	G	56	62,56	11,71	Tidak Layak
8	H	40	48,87	22,17	Layak
9	I	123	131,96	7,28	Tidak Layak
10	J	213	236,55	11,05	Tidak Layak
Rata-rata				8,855	

d. Analisa Hasil Pengujian Perangkat Keras

Dari Pengujian AMDK diketahui bahwa terjadi perbedaan nilai antara AMDK yang diletakkan di tempat yang sejuk dan AMDK yang diletakkan di tempat yang bersuhu tinggi dan tempat yang bersuhu rendah yaitu 34,77 % untuk AMDK yang di tempatkan pada suhu tinggi dan 32,32 % untuk AMDK yang di tempatkan pada suhu rendah.

Kemudian dari hasil pengujian sistem didapatkan perbedaan hasil dari data BPOM dengan rata-rata hasil kalibrasi sistem sebesar 8,855%. Adapun toleransi perbedaan pada sistem ini adalah 10 %. Dari hasil tersebut maka dapat dikatakan bahwa sistem telah berjalan dengan baik karena tidak melebihi batas toleransi. Perbedaan yang terjadi pada sistem dikarenakan faktor dalam seperti sensor yang digunakan kurang presisi dalam menangkap sinyal yang dipancarkan oleh *infrared* serta faktor luar seperti kontaminasi sinar matahari langsung, perubahan suhu dan kelembaban pada saat AMDK tersebut diuji.

Akan tetapi secara keseluruhan sistem sudah berjalan dengan baik. Dimana apabila sensor menangkap sinyal maka sinyalnya akan dikuatkan oleh penguat Op-Amp kemudian nantinya akan dikonversi ke dalam satuan ppm. Setelah itu hasilnya akan ditampilkan pada LCD baru kemudian akan dikirimkan ke sistem informasi dan selanjutnya dapat dicetak dalam bentuk *report*.

2. Pengujian Perangkat Lunak

a. Pengujian *form login*

Pada pengujian *form login* terdapat beberapa hal yang harus diperhatikan.

Jika *user* masuk sebagai *admin* maka pada saat *login* akan masuk ke menu utama tanpa adanya batasan fungsi-fungsi seperti *input* data dan hapus data. Dan jika *user* masuk sebagai *user* umum yang tidak memiliki *username* dan *password* maka hanya dapat melihat dan mencetak data hasil pengujian sesuai dengan yang telah di siapkan di *form login*.



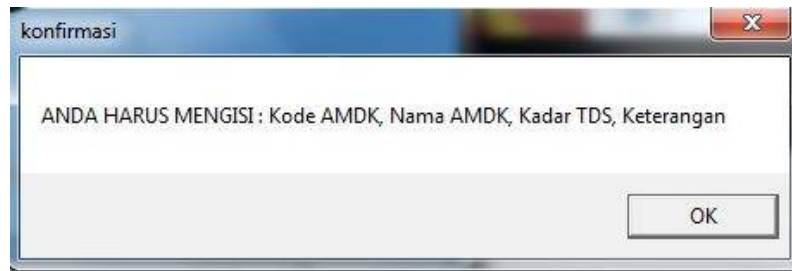
Gambar V.17. Tampilan potongan *form* menu yang masuk sebagai *user* umum



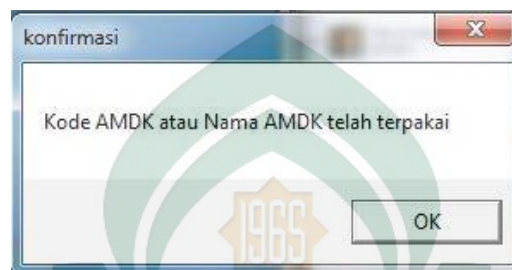
Gambar V.18. Tampilan potongan *form* menu yang masuk sebagai *admin*

b. Pengujian *Form input* data

Pada pengujian *form input* data terdapat beberapa elemen yang perlu dimasukkan seperti kode AMDK, nama AMDK, tanggal, kadar TDS dan Keterangan. Jika salah satu ataupun semua elemen tidak diisi kemudian dilakukan penyimpanan maka akan muncul pesan bahwa elemen tersebut masih kosong. Kemudian jika data pada elemen kode atau nama AMDK dimasukkan sama dengan data sebelumnya maka juga akan menampilkan pesan bahwa kode atau nama tersebut telah terpakai.



Gambar V.19. Tampilan *form* pesan jika elemen kosong



Gambar V.20. Tampilan *form* pesan jika elemen telah terpakai sebelumnya

Selanjutnya pada bagian Komunikasi Port terdapat bagian yang perlu diisi guna untuk mengoneksikan antara alat dan sistem informasi, diantaranya mengatur COM yang digunakan, kecepatan pengiriman data dan konversi data kedalam sistem informasi. Pada *form* ini juga terdapat *button connect* yang berfungsi untuk mengkoneksikan antara alat dan sistem dan *button disconnect* yang berfungsi untuk menghentikan koneksi setelah data terkirim. Setelah *button disconnect* ini di tekan maka hasil pengujian akan di tampilkan pada kotak kadar TDS dan keterangan.

c. Pengujian *form* lihat data

Pada pengujian *form* lihat data terdapat perbedaan fungsi pada *admin* dan *user* umum. Dimana jika masuk sebagai *admin* maka pada *form* ini *button* hapus

akan *enable* namun jika masuk sebagai *user* umum maka *button* hapus tersebut akan *disable*.

KODE ANAK	NAMA ANAK	TANGGAL PEMERIKSAAN	KEPERAWATAN
01	A	12/18/2012	131.9548
02	B	12/19/2012	172.0000
03	C	12/23/2012	132.9198
04	D	12/23/2012	87.87564
05	E	12/23/2012	122.7172
06	F	12/20/2012	46.32282
07	G	12/20/2012	62.9611
08	H	12/20/2012	49.87582
09	I	12/20/2012	110.1144
10	J	12/22/2012	225.5391

Gambar V.21. Tampilan *form* lihat data jika masuk sebagai *admin*

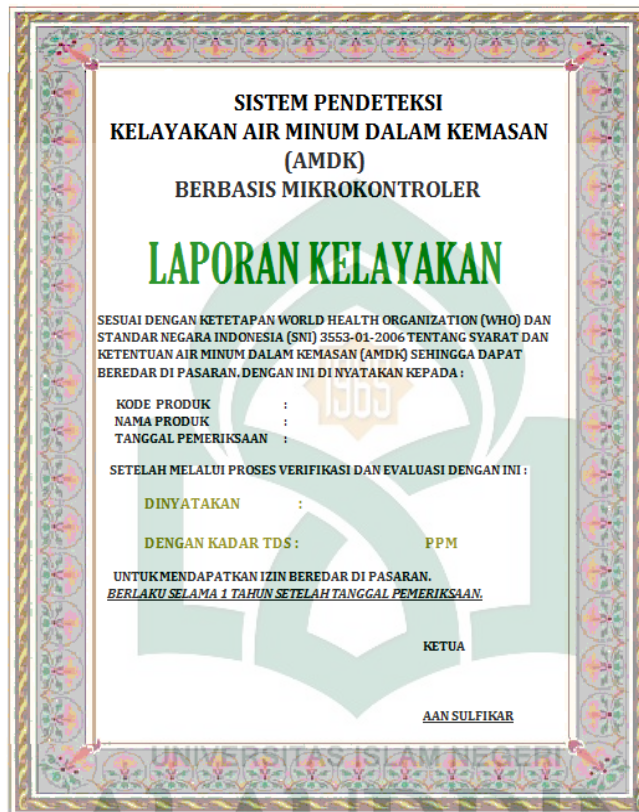
KODE ANAK	NAMA ANAK	TANGGAL PEMERIKSAAN	KEPERAWATAN
01	A	12/18/2012	131.9548
02	B	12/19/2012	172.0000
03	C	12/23/2012	132.9198
04	D	12/23/2012	87.87564
05	E	12/23/2012	122.7172
06	F	12/20/2012	46.32282
07	G	12/20/2012	62.9611
08	H	12/20/2012	49.87582
09	I	12/20/2012	110.1144
10	J	12/22/2012	225.5391

Gambar V.22. Tampilan *form* lihat data jika masuk sebagai *user* umum

d. Pengujian *form* cetak berdasarkan nama dan *form* cetak berdasarkan kode

Pada pengujian kedua *form* ini masing-masing hanya memasukkan kode atau nama sesuai dengan apa yang tersimpan pada *database*. Jika nama atau kode

yang dimasukkan tidak sesuai dengan nama atau kode yang ada di *database* maka *report* akan ditampilkan dalam kondisi elemen-elemen seperti nama AMDK, kode AMDK, kadar TDS, tanggal dan keterangan akan kosong.



Gambar V.23. Tampilan *report* jika nama atau kode tidak sesuai

e. Analisa hasil pengujian perangkat lunak

Berdasarkan hasil pengujian perangkat lunak yang telah dilakukan memberikan kesimpulan bahwa pada proses sudah benar sehingga secara fungsional sistem sudah dapat menghasilkan *output* yang diharapkan.

BAB VI

PENUTUP

A. Kesimpulan

1. Sistem Pendeteksi Air Minum Dalam Kemasan (AMDK) menggunakan Mikrokontroler ATmega8535 dan Visual Basic sebagai bahasa pemrograman dalam membuat sistem informasinya.
2. Sistem Pendeteksi Air Minum Dalam Kemasan (AMDK) ini akan mendeteksi layak atau tidaknya AMDK yang beredar di pasaran untuk dikonsumsi dengan menampilkan hasilnya melalui tampilan LCD dan *report*.
3. Parameter yang digunakan dalam menentukan kelayakan AMDK adalah kandungan *Total Dissolved Solids* (TDS) dimana jika kandungan TDS nya melebihi 50 ppm maka AMDK tersebut tidak layak untuk dikonsumsi.
4. Dari Pengujian AMDK diketahui bahwa terjadi perbedaan nilai antara AMDK yang diletakkan di tempat yang sejuk dan AMDK yang diletakkan di tempat yang bersuhu tinggi dan tempat yang bersuhu rendah yaitu 34,77 % untuk AMDK yang di tempatkan pada suhu tinggi dan 32,32 % untuk AMDK yang di tempatkan pada suhu rendah.
5. Dari hasil pengujian sistem secara keseluruhan didapatkan hasil dari beberapa contoh AMDK seperti merek A yaitu 131,96ppm, merek B yaitu 170,08ppm dan merek C yaitu 133,91ppm masih berbeda dengan data dari BPOM. Dimana dari data BPOM untuk merek A yaitu 139ppm, merek B yaitu 180ppm dan merek C yaitu 144ppm. Perbedaan tersebut berkisar 8,855 %. Perbedaan yang terjadi pada

sistem dikarenakan faktor dalam seperti sensor yang digunakan kurang presisi dalam menangkap sinyal yang dipancarkan oleh *infrared* serta faktor luar seperti kontaminasi sinar matahari langsung, perubahan suhu dan kelembaban pada saat AMDK tersebut diuji.

6. Secara keseluruhan alat yang dibuat, dapat bekerja dan berfungsi dengan baik, karena rata-rata perbedaan yang dihasilkan tidak melebihi batas toleransi yaitu sebesar 10%, sehingga diharapkan dapat dimanfaatkan utamanya oleh BPOM dalam menguji sampel AMDK yang beredar di pasaran.

B. Saran

1. Untuk pengembangan penelitian, sistem pendeteksi kelayakan air minum dalam kemasan (AMDK) ini dapat dikembangkan baik dari segi perancangan maupun fungsi kerjanya.
2. Diharapkan untuk penelitian selanjutnya tidak hanya mendeteksi kelayakan air tapi diusahakan agar dapat membersihkan serta menjernihkan AMDK sehingga dapat dikonsumsi.

DAFTAR PUSTAKA

- Adrianto, Heri. Pemrograman Mikrokontroller AVR ATMEGA16 Menggunakan BahasaC (*CodeVisionAVR*). Cetakan 1 Bandung: Informatika, 2008.
- Al-Fattah, Hanif. Analisis dan Perancangan Sistem Informasi. Yogyakarta: Andi. 2007.
- Budiharto, Widodo. Mikrokontroler AVR ATMega16 dan ATMega8535. Jakarta : PT. Elex Media Komputindo. 2007.
- Departemen Agama RI. Al Hikmah Al Quran dan Terjemahnya. Bandung : CV Penerbit Diponegoro. 2005
- Departemen Pendidikan Nasional. Kamus Besar Bahasa Indonesia, Jakarta: Balai Pustaka. 2005.
- Endra, Pitowarno. Robotika, Desain, kontrol, dan kecerdasan buatan. Yogyakarta: Andi. 2006.
- Faturrahman. Pemrograman Dasar *Visual Basic*. Jakarta. Graha Ilmu. 2008
- Handoyo, L. Teknologi Kimia, Jilid 2. Jakarta: PT. Pradnya Paramita. 2004.
- Janner, S. Rekayasa Perangkat Lunak. Yogyakarta: Andi. 2010
- Jogiyanto, Analisis dan Desain Sistem. Yogyakarta: Penerbit Andi. 2005
- M. Ary, Heryanto. dan Wisnu, Adi P. Pemrograman Bahasa C Untuk Mikrokontroler AtMega 8535. Yogyakarta: Andi. 2008.
- Pressman, Roger. Rekayasa Perangkat Lunak. Yogyakarta: Andi. 2002.
- Sani, Gasali. Mainkan Komputer dengan *Remote* TV dan HP. Jakarta. Graha Ilmu. 2007.
- Setiawan, Arie. 20 Aplikasi Mikrokontroler ATMEGA 8535 & ATMEGA 16 menggunakan BASCOM-AVR. Yogyakarta: Andi. 2011.
- Sridadi, Bambang. Pemodelan Dan Simulasi Sistem. Bandung: Informatika. 2009.

- Supardi, Yuniar. Microsoft Visual Basic 6.0 untuk segala tingkat. Jakarta: Elex Media komputindo. 2006.
- Sutanta, Edhy. Algoritma: Teknik Penyelesaian Permasalahan untuk Komputasi. Yogyakarta: Graha Ilmu. 2004.
- Wardhana, Lingga. Belajar Sendiri Mikrokontroler AVR Seri ATmega8535 Simulasi, *Hardware* dan Aplikasi. Yogyakarta: Andi. 2006.
- Winoto, Ardi. Mikrokontroler AVR ATmega8/32/16/8535 dan Pemrogramannya dengan Bahasa C pada WinAVR. Bandung: Informatika. 2008.
- World Health Organization. Guidelines for Drinking-water Quality. 2nd edn, vol. 2, Health Criteria and Other Supporting Information.* Geneva: 1996.
- World Health Organization. Guidelines On Health Aspects Of Water Desalination.* Geneva: 1980.

LAMPIRAN



UNIVERSITAS ISLAM NEGERI
ALAUDDIN
M A K A S S A R

Listing Program Pada Mikrokontroler

```
/*  
This program was produced by the  
CodeWizardAVR V2.04.9 Evaluation  
Automatic Program Generator  
© Copyright 1998-2010 Pavel Haiduc, HP InfoTech s.r.l.  
http://www.hpinfotech.com
```

```
Project :  
Version :  
Date    : 9/4/2012  
Author  : Freeware, for evaluation and non-commercial use  
only  
Company :  
Comments:
```

```
Chip type      : ATmega8535  
Program type   : Application  
AVR Core Clock frequency: 11.059200 MHz  
Memory model   : Small  
External RAM size : 0  
Data Stack size : 128
```

```
*****/
```

```
#include <mega8535.h>  
#include <delay.h>  
//#include <stdio.h>  
#include <string.h>  
#include <stdlib.h>
```

```
// Alphanumeric LCD Module functions  
#include <alcd.h>  
// Standard Input/Output functions  
#include <stdio.h>  
#define ADC_VREF_TYPE 0x00  
#define VREF 5.0
```

```
signed int infra_merah;  
float dataadc;  
unsigned char sbuff[16];  
// Read the AD conversion result  
unsigned int read_adc(unsigned char adc_input)
```

```

{
ADMUX=adc_input | (ADC_VREF_TYPE & 0xff);
// Delay needed for the stabilization of the ADC input
voltage
delay_us(10);
// Start the AD conversion
ADCSRA|=0x40;
// Wait for the AD conversion to complete
while ((ADCSRA & 0x10)==0);
ADCSRA|=0x10;
return ADCW;
}

// Declare your global variables here
void main(void)
{
// Declare your local variables here
// Input/Output Ports initialization
// Port A initialization
// Func7=In Func6=In Func5=In Func4=In Func3=In Func2=In
Func1=In Func0=In
// State7=T State6=T State5=T State4=T State3=T State2=T
Statel=T State0=T
PORTA=0x00;
DDRA=0x00;

// Port B initialization
// Func7=In Func6=In Func5=In Func4=In Func3=In Func2=In
Func1=In Func0=In
// State7=T State6=T State5=T State4=T State3=T State2=T
Statel=T State0=T
PORTB=0x00;
DDRB=0x00;

// Port C initialization
// Func7=In Func6=In Func5=In Func4=In Func3=In Func2=In
Func1=In Func0=In
// State7=T State6=T State5=T State4=T State3=T State2=T
Statel=T State0=T
PORTC=0x00;
DDRC=0x00;
// Port D initialization
// Func7=In Func6=In Func5=In Func4=In Func3=In Func2=In
Func1=In Func0=In

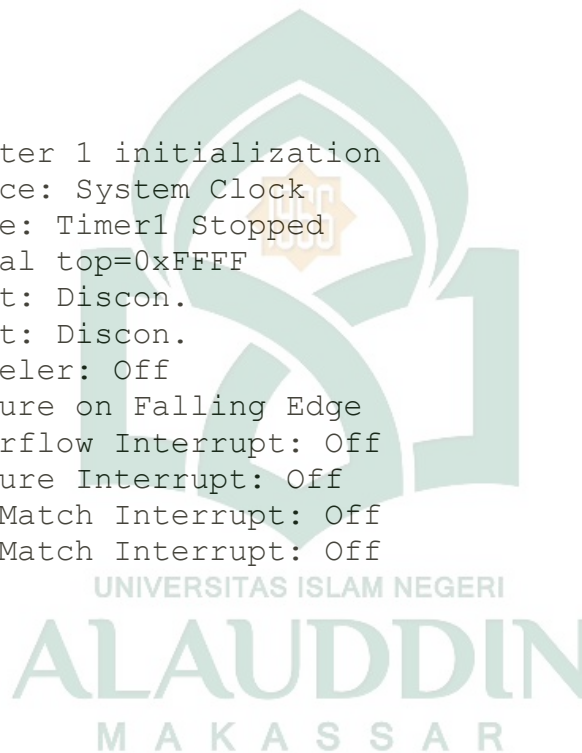
```

```
// State7=T State6=T State5=T State4=T State3=T State2=T
State1=T State0=T
PORTD=0x00;
DDRD=0x00;

// Timer/Counter 0 initialization
// Clock source: System Clock
// Clock value: Timer 0 Stopped
// Mode: Normal top=0xFF
// OC0 output: Disconnected
TCCR0=0x00;
TCNT0=0x00;
OCR0=0x00;

// Timer/Counter 1 initialization
// Clock source: System Clock
// Clock value: Timer1 Stopped
// Mode: Normal top=0xFFFF
// OC1A output: Discon.
// OC1B output: Discon.
// Noise Canceler: Off
// Input Capture on Falling Edge
// Timer1 Overflow Interrupt: Off
// Input Capture Interrupt: Off
// Compare A Match Interrupt: Off
// Compare B Match Interrupt: Off
TCCR1A=0x00;
TCCR1B=0x00;
TCNT1H=0x00;
TCNT1L=0x00;
ICR1H=0x00;
ICR1L=0x00;
OCR1AH=0x00;
OCR1AL=0x00;
OCR1BH=0x00;
OCR1BL=0x00;

// Timer/Counter 2 initialization
// Clock source: System Clock
// Clock value: Timer2 Stopped
// Mode: Normal top=0xFF
// OC2 output: Disconnected
ASSR=0x00;
TCCR2=0x00;
```



```

TCNT2=0x00;
OCR2=0x00;

// External Interrupt(s) initialization
// INT0: Off
// INT1: Off
// INT2: Off
MCUCR=0x00;
MCUCSR=0x00;

// Timer(s)/Counter(s) Interrupt(s) initialization
TIMSK=0x00;
// USART initialization
// Communication Parameters: 8 Data, 1 Stop, No Parity
// USART Receiver: On
// USART Transmitter: On
// USART Mode: Asynchronous
// USART Baud Rate: 9600
UCSRA=0x00;
UCSRB=0x18;
UCSRC=0x86;
UBRRH=0x00;
UBRRL=0x47;

// Analog Comparator initialization
// Analog Comparator: Off
// Analog Comparator Input Capture by Timer/Counter 1:
Off
ACSR=0x80;
SFIOR=0x00;

// ADC initialization
// ADC Clock frequency: 691.200 kHz
// ADC Voltage Reference: AREF pin
// ADC High Speed Mode: Off
// ADC Auto Trigger Source: ADC Stopped
ADMUX=ADC_VREF_TYPE & 0xff;
ADCSRA=0x84;
SFIOR&=0xEF;

// Alphanumeric LCD initialization
// Connections specified in the
// Project|Configure|C Compiler|Libraries|Alphanumeric
LCD menu:

```

```

// RS - PORTC Bit 0
// RD - PORTC Bit 1
// EN - PORTC Bit 2
// D4 - PORTC Bit 4
// D5 - PORTC Bit 5
// D6 - PORTC Bit 6
// D7 - PORTC Bit 7
// Characters/line: 16
lcd_init(16);
lcd_clear();
lcd_gotoxy(0,0);
lcd_putsf("A.UKUR AIR KERUH");

lcd_gotoxy(0,1);
lcd_putsf("AAN-FST-UIN2008");
delay_ms(5000);
while (1)
{
    lcd_clear();

    infra_merah = read_adc(0);
    infra_merah = infra_merah^1023;
    infra_merah = infra_merah-350;
    if (infra_merah<0)
        infra_merah=0;
    else infra_merah=infra_merah;
        dataadc = ((float)infra_merah/1023)*1000;
        DDRD = 0x00;
        PORTD = 0xff;
        ftoa(dataadc,2,sbuff); //float to array, mengubah
        tipedata float k tipe data array yg kan ditampilkan di
        LCD
        delay_ms(500);
        if (PIND.2 == 0)
            {
                lcd_clear();
                lcd_gotoxy(0,0);
                lcd_putsf("A.UKUR AIR KERUH");
                lcd_gotoxy(0,1);
                lcd_putsf("SEDANG EL.ROLISA");
                DDRB.0 = 1;
                PORTB.0 = 1;
                delay_ms(60000);
                lcd_gotoxy(0,1);
            }
}

```

```

        lcd_putsf("=== SELESAI === ");
        PORTB.0 = 0;
        delay_ms(3000);
    }
    //printf("Keluaran :");
    if (PIND.3 == 0)
    {
        lcd_clear();
        lcd_gotoxy(0,0);
        lcd_putsf("A.UKUR AIR KERUH");
        lcd_gotoxy(0,1);
        lcd_putsf("NILAI=");
        lcd_gotoxy(6,1);
        lcd_puts(sbuff);
        lcd_gotoxy(13,1);
        lcd_putsf("ppm");
        printf("%i",infra_merah);
        delay_ms(30000);
        // Place your code here
    }
}
}

```

Listing program pada Sistem Informasi

1. Form login

```

Private Sub Command1_Click()
Dim konf As VbMsgBoxResult
If (Text1.Text = "ADMIN" Or Text1.Text = "admin") And (Text2.Text = "AAN"
Or Text2.Text = "aan") Then
FORM1.Show
Form3.Hide
Else: konf = MsgBox("Maaf Username dan Password Salah! ", vbOKOnly,
"konfirmasi")
Text1.Text = ""
Text2.Text = ""
Text1.SetFocus
End If
Form2.BTBACK.Visible = False
Form2.BT_KEMBALI.Visible = True
Form2.BTHAPUS.Enabled = True
Form2.KELUAR.Visible = False

```

```

End Sub
Private Sub Form_Unload(Cancel As Integer)
    Dim msgResp As VbMsgBoxResult
    msgResp = MsgBox("Apakah anda yakin akan keluar dari Program ini..?",
vbQuestion + vbYesNo, "Konfirmasi...")
    If msgResp = vbNo Then
        Cancel = 1
    Else
        End
    End If
End Sub
Private Sub Command2_Click()
Form2.Show
Form2.BTHAPUS.Enabled = False
Form2.BT_KEMBALI.Visible = False
Form2.BTBACK.Visible = True
Form2.KELUAR.Visible = True
End Sub
Private Sub form_load()
Skin1.LoadSkin App.Path + "\\chizh.skn"
Skin1.ApplySkin Me.hWnd
End Sub
Private Sub form_activate()
Text1.SetFocus
End Sub

Private Sub LAGI_Click()
FORM1.Show
Form2.BTHAPUS.Enabled = False
Form2.BT_KEMBALI.Visible = False
Form2.BTBACK.Visible = True
Form2.KELUAR.Visible = True
FORM1.Data.Visible = False
FORM1.Log.Visible = False
Form3.Hide
End Sub

Private Sub Text1_KeyPress(KeyAscii As Integer)
If (KeyAscii = vbKeyReturn) Then Text2.SetFocus
End Sub
Private Sub Text2_KeyPress(KeyAscii As Integer)
If (KeyAscii = vbKeyReturn) Then Command1.SetFocus
End Sub

```

2. Form Menu utama

```
Private Sub DATA_Click()
Form4.Show
End Sub

Private Sub help_Click()
Form7.Show
End Sub

Private Sub id_Click()
Form6.Show
End Sub

Private Sub KELUAR_Click()
pesan = MsgBox("Apakah anda yakin akan keluar dari Program ini..?",
vbQuestion + vbYesNo, "Konfirmasi...")
If pesan = vbYes Then
End
Else
Exit Sub
End If

End Sub
Private Sub Form_Unload(Cancel As Integer)
Dim msgResp As VbMsgBoxResult
msgResp = MsgBox("Apakah anda yakin akan keluar dari Program
ini..?", vbQuestion + vbYesNo, "Konfirmasi...")
If msgResp = vbNo Then
Cancel = 1
Else
End
End If
End Sub
Private Sub log_Click()
FORM1.Hide
Form3.Show
Form3.Text1 = ""
Form3.Text2 = ""
Form3.Text1.SetFocus
End Sub
Private Sub form_load()
Skin1.LoadSkin App.Path + "\\chizh.skn"
```



```
    Skin1.ApplySkin Me.hWnd  
End Sub
```

```
Private Sub nm_Click()  
    Form5.Show  
End Sub
```

```
Private Sub VIEW_Click()  
    Form2.Show  
End Sub
```

3. Form data

```
Private Sub BT_KEMBALI_Click()  
    Unload Me  
    Load Form4  
End Sub
```

```
Private Sub BT_SIMPAN_Click()  
    Dim kosong As String  
    Dim a As VbMsgBoxResult  
    Dim b As VbMsgBoxResult  
    Dim c As VbMsgBoxResult  
    kosong = "ANDA HARUS MENGISI : "  
    If TXTID.Text = "" Then kosong = kosong + "Kode AMDK,"  
    If TXTNAMA.Text = "" Then kosong = kosong + " Nama AMDK,"  
    If TXTKADAR.Text = "" Then kosong = kosong + " Kadar TDS,"  
    If TXTKETERANGAN.Text = "" Then kosong = kosong + " Keterangan"  
  
    If TXTID.Text = "" Or TXTNAMA.Text = "" Or TXTKADAR.Text = "" Or  
    TXTKETERANGAN.Text = "" Then  
        c = MsgBox(kosong, vbOKOnly, "konfirmasi")  
        If TXTNAMA.Text = "" Then TXTNAMA.SetFocus  
        If TXTID.Text = "" Then TXTID.SetFocus  
    End If  
  
    If TXTID.Text <> "" And TXTNAMA.Text <> "" And TXTKADAR.Text <>  
    "" And TXTKETERANGAN.Text <> "" Then  
  
    On Error GoTo SIMPAN  
    Data1.Recordset.AddNew  
    Data1.Recordset!KODE_AMDK = TXTID.Text  
    Data1.Recordset!NAMA_AMDK = TXTNAMA.Text
```

```

Data1.Recordset!KADAR_TDS = TXTKADAR.Text
Data1.Recordset!KETERANGAN = TXTKETERANGAN.Text
Data1.Recordset!TANGGAL_PEMERIKSAAN = DTPicker1.Value
Data1.Recordset.Update
Data1.Refresh
b = MsgBox("Data telah tersimpan", vbOKOnly, "konfirmasi")
TXTID = ""
TXTNAMA = ""
TXTKADAR = ""
TXTKETERANGAN = ""
TXTID.SetFocus
    Form2.Adodc1.Refresh
    Form2.DataGrid1.Refresh
    Form2.Data1.Refresh
Exit Sub
SIMPAN: a = MsgBox("Kode AMDK atau Nama AMDK telah terpakai",
vbOKOnly, "konfirmasi")
TXTID = ""
TXTNAMA = ""

TXTID.SetFocus

End If
End Sub

Private Sub Command3_Click()
TXTID = ""
TXTNAMA = ""
TXTKADAR = ""
TXTKETERANGAN = ""
TXTID.SetFocus
End Sub

Private Sub Form_Unload(Cancel As Integer)
    Unload Me
    Load Form4
End Sub
Private Sub Command1_Click()
Dim port As Integer

On Error Resume Next
For port = 1 To 20
If MSComm1.PortOpen = False Then

```

```

MSComm1.CommPort = port
Combo1.ListIndex = (MSComm1.CommPort) - 1
MSComm1.RThreshold = 1
MSComm1.InputLen = 40
MSComm1.Settings = Combo2.List(Combo2.ListIndex) & ",N,8,1"
MSComm1.PortOpen = True
Command1.Enabled = False
Command2.Enabled = True
End If
Next
Exit Sub
TXTKADAR = ""
TXTKETERANGAN = ""
End Sub

Private Sub Command2_Click()
Dim c As VbMsgBoxResult
On Error GoTo LAGI
Dim a As Single
Dim b As Single

If MSComm1.PortOpen = True Then
    MSComm1.PortOpen = False
End If
Command1.Enabled = True
Command2.Enabled = False

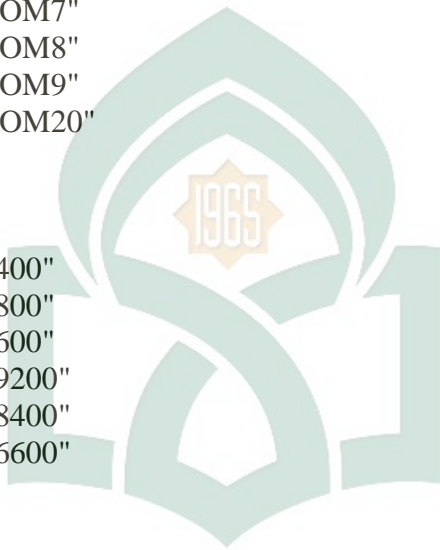
a = Int(tempo.Text)
b = (a / 1023) * 1000
TXTKADAR = Str(b)
If TXTKADAR <= 60 Then
TXTKETERANGAN = "LAYAK"
Else: TXTKETERANGAN = "TIDAK LAYAK"
End If
tempo.Text = ""
Exit Sub
LAGI: c = MsgBox("Data Belum Diterima", vbOKOnly, "konfirmasi")

End Sub

Private Sub DATA_Click()
Form2.Show
End Sub

```

```
Private Sub form_load()  
    Skin1.LoadSkin App.Path + "\\chizh.skf"  
    Skin1.ApplySkin Me.hWnd  
With Combo1  
    .AddItem "COM1"  
    .AddItem "COM2"  
    .AddItem "COM3"  
    .AddItem "COM4"  
    .AddItem "COM5"  
    .AddItem "COM6"  
    .AddItem "COM7"  
    .AddItem "COM8"  
    .AddItem "COM9"  
    .AddItem "COM20"  
End With  
  
With Combo2  
    .AddItem "2400"  
    .AddItem "4800"  
    .AddItem "9600"  
    .AddItem "19200"  
    .AddItem "38400"  
    .AddItem "56600"  
End With  
  
Timer1.Enabled = False  
Command1.Enabled = True  
Command2.Enabled = False  
Data1.Refresh  
  
End Sub  
Private Sub form_activate()  
    TXTID.SetFocus  
    TXTKETERANGAN.Enabled = False  
    TXTKADAR.Enabled = False  
End Sub  
  
Private Sub TXTID_KeyPress(KeyAscii As Integer)  
    If (KeyAscii = vbKeyReturn) Then TXTNAMA.SetFocus  
End Sub  
Private Sub TXTNAMA_KeyPress(KeyAscii As Integer)  
    If (KeyAscii = vbKeyReturn) Then DTPicker1.SetFocus  
End Sub
```



```

Private Sub DTPicker1_KeyPress(KeyAscii As Integer)
If (KeyAscii = vbKeyReturn) Then Combo2.SetFocus
End Sub

```

```

Private Sub Combo2_KeyPress(KeyAscii As Integer)
If (KeyAscii = vbKeyReturn) Then Combo1.SetFocus
End Sub
Private Sub Combo1_KeyPress(KeyAscii As Integer)
If (KeyAscii = vbKeyReturn) Then Command1.SetFocus
End Sub
Private Sub Command1_KeyPress(KeyAscii As Integer)
If (KeyAscii = vbKeyReturn) Then tempo.SetFocus
End Sub
Private Sub TEMPO_KeyPress(KeyAscii As Integer)
If (KeyAscii = vbKeyReturn) Then Command2.SetFocus
End Sub
Private Sub MSComm1_OnComm()
Dim buffer As String
Dim temp As String

buffer = MSComm1.Input
If buffer <> "" Then
With tempo
.SelStart = Len(.Text)
.SelText = buffer
End With
End If
End Sub
Private Sub Timer1_Timer()
MSComm1_OnComm
End Sub

```

4. Form Lihat data

```

Private Sub BT_KEMBALI_Click()
Form2.Hide
FORM1.Show
End Sub
Private Sub BTBACK_Click()
FORM1.Show
Form2.Hide
End Sub

```

```

Private Sub BTHAPUS_Click()
    Dim a As VbMsgBoxResult
    Adodc1.Recordset.Delete
    DataGrid1.Refresh
    Adodc1.Recordset.Update
    a = MsgBox("Data telah terhapus", vbOKOnly, "konfirmasi")
End Sub
Private Sub Form_Unload(Cancel As Integer)
    Unload Me
    Load Form2
End Sub
Private Sub form_load()
    Adodc1.Refresh
    DataGrid1.Refresh
    Data1.Refresh
    Skin1.LoadSkin App.Path + "\\chizh.skf"
    Skin1.ApplySkin Me.hWnd
End Sub
Private Sub KELUAR_Click()
    pesan = MsgBox("Apakah anda yakin akan keluar dari Program ini..?",
vbQuestion + vbYesNo, "Konfirmasi...")
    If pesan = vbYes Then
        End
    Else
        Exit Sub
    End If
End Sub

```

5. Form cetak berdasarkan nama

```

Private Sub cetaknama_Click()
    Dim d As VbMsgBoxResult
    If Text1.Text = "" Then
        d = MsgBox("Nama Belum Terisi...", vbOKOnly, "konfirmasi")
        Text1.SetFocus
    Else
        CrystalReport1.SelectionFormula = "{AIR.NAMA_AMDK}="" &
Text1.Text & """"
        CrystalReport1.ReportFileName = App.Path & "\\REPORT.rpt"
        CrystalReport1.PrintReport
    End If
    Text1.Text = ""
End Sub

```

```
Private Sub form_activate()  
Text1.SetFocus  
End Sub  
Private Sub Command1_Click()  
Unload Me  
Load Form5  
End Sub
```

```
Private Sub form_load()  
Skin1.LoadSkin App.Path + "\\chizh.skf"  
Skin1.ApplySkin Me.hWnd  
End Sub
```

6. Form cetak berdasarkan kode

```
Private Sub CETAKID_Click()  
Dim a As VbMsgBoxResult  
If Text1.Text = "" Then  
a = MsgBox("Kode Belum Terisi", vbOKOnly, "konfirmasi")  
Text1.SetFocus  
Else  
CrystalReport1.SelectionFormula = "{AIR.KODE_AMDK}=" &  
Text1.Text & ""  
CrystalReport1.ReportFileName = App.Path & "\\REPORT.rpt"  
CrystalReport1.PrintReport  
End If  
Text1.Text = ""  
End Sub  
Private Sub form_activate()  
Text1.SetFocus  
End Sub  
Private Sub Command1_Click()  
Unload Me  
Load Form6  
End Sub  
  
Private Sub form_load()  
Skin1.LoadSkin App.Path + "\\chizh.skf"  
Skin1.ApplySkin Me.hWnd  
End Sub
```

7. Form bantuan

```
Private Sub Command1_Click(Index As Integer)
Unload Me
Load Form7
End Sub
Private Sub form_load()
Skin1.LoadSkin App.Path + "\\chizh.skf"
Skin1.ApplySkin Me.hWnd
End Sub
```



DATA SHEET

1. IC LM741

DESCRIPTION

The LM741 series are general purpose operational amplifiers which feature improved performance over industry standards like the LM709. They are direct, plug-in replacements for the 709C, LM201, MC1439 and 748 in most applications.

The amplifiers offer many features which make their application nearly foolproof: overload protection on the input and output, no latch-up when the common mode range is exceeded, as well as freedom from oscillations. The LM741C is identical to the LM741/LM741A except that the LM741C has their performance guaranteed over a 0°C to $+70^{\circ}\text{C}$ temperature range, instead of -55°C to $+125^{\circ}\text{C}$.

CONNECTION DIAGRAM

Figure 1. Metal Can Package

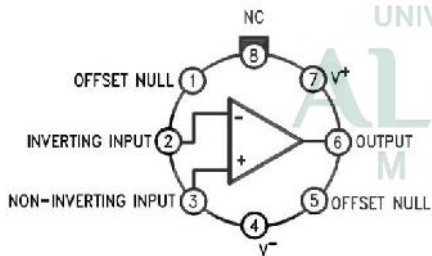


Figure 3. Ceramic Flatpak

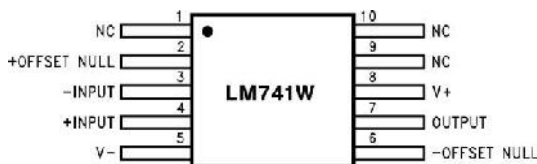


Figure 2. Dual-In-Line or S.O. Package

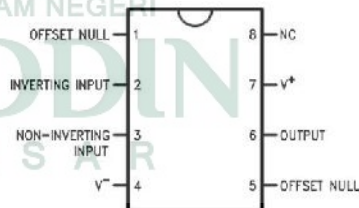
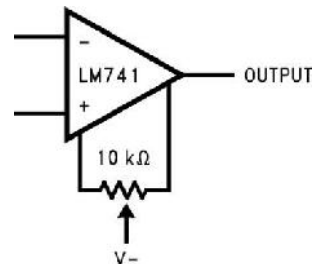


Figure 4. Offset Nulling Circuit



Absolute Maximum Ratings^{(1) (2)}

	LM741A	LM741	LM741C
Supply Voltage	±22V	±22V	±18V
Power Dissipation ⁽³⁾	500 mW	500 mW	500 mW
Differential Input Voltage	±30V	±30V	±30V
Input Voltage ⁽⁴⁾	±15V	±15V	±15V
Output Short Circuit Duration	Continuous	Continuous	Continuous
Operating Temperature Range	-55°C to +125°C	-55°C to +125°C	0°C to +70°C
Storage Temperature Range	-65°C to +150°C	-65°C to +150°C	-65°C to +150°C
Junction Temperature	150°C	150°C	100°C
Soldering Information			
N-Package (10 seconds)	260°C	260°C	260°C
J- or H-Package (10 seconds)	300°C	300°C	300°C
M-Package			
Vapor Phase (60 seconds)	215°C	215°C	215°C
Infrared (15 seconds)	215°C	215°C	215°C
See AN-450 "Surface Mounting Methods and Their Effect on Product Reliability" for other methods of soldering surface mount devices.			
ESD Tolerance ⁽⁵⁾	400V	400V	400V

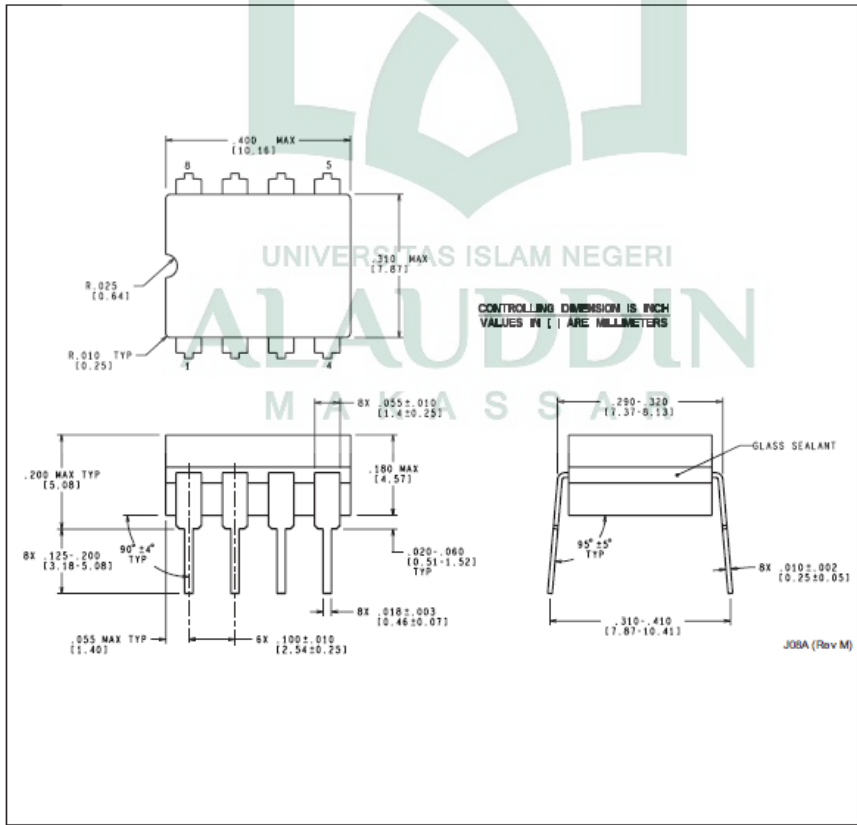
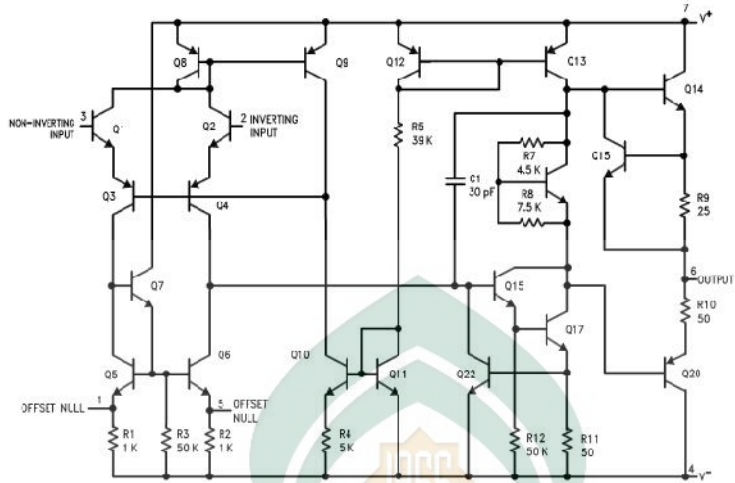
- (1) "Absolute Maximum Ratings" indicate limits beyond which damage to the device may occur. Operating Ratings indicate conditions for which the device is functional, but do not guarantee specific performance limits.
- (2) For military specifications see RETS741X for LM741 and RETS741AX for LM741A.
- (3) For operation at elevated temperatures, these devices must be derated based on thermal resistance, and T_J max. (listed under "Absolute Maximum Ratings"). $T_J = T_A + (\theta_{JA} P_D)$.
- (4) For supply voltages less than ±15V, the absolute maximum input voltage is equal to the supply voltage.
- (5) Human body model, 1.5 kΩ in series with 100 pF.

Electrical Characteristics⁽¹⁾

Parameter	Conditions	LM741A			LM741			LM741C			Units
		Min	Typ	Max	Min	Typ	Max	Min	Typ	Max	
Input Offset Voltage	$T_A = 25^\circ\text{C}$ $R_S \leq 10\text{ k}\Omega$ $R_S \leq 50\Omega$		0.8	3.0		1.0	5.0		2.0	6.0	mV
	$T_{AMIN} \leq T_A \leq T_{AMAX}$ $R_S \leq 50\Omega$ $R_S \leq 10\text{ k}\Omega$			4.0			6.0			7.5	mV
				15							$\mu\text{V}/^\circ\text{C}$
Average Input Offset Voltage Drift				15							$\mu\text{V}/^\circ\text{C}$
Input Offset Voltage Adjustment Range	$T_A = 25^\circ\text{C}$, $V_S = \pm 20\text{V}$	±10			±15			±15			mV
Input Offset Current	$T_A = 25^\circ\text{C}$		3.0	30		20	200		20	200	nA
	$T_{AMIN} \leq T_A \leq T_{AMAX}$			70		85	500			300	nA
Average Input Offset Current Drift				0.5							$\text{nA}/^\circ\text{C}$
Input Bias Current	$T_A = 25^\circ\text{C}$		30	80		80	500		80	500	nA
	$T_{AMIN} \leq T_A \leq T_{AMAX}$			0.210			1.5			0.8	μA
Input Resistance	$T_A = 25^\circ\text{C}$, $V_S = \pm 20\text{V}$	1.0	6.0		0.3	2.0		0.3	2.0		MΩ
	$T_{AMIN} \leq T_A \leq T_{AMAX}$, $V_S = \pm 20\text{V}$	0.5									MΩ

- (1) Unless otherwise specified, these specifications apply for $V_S = \pm 15\text{V}$, $-55^\circ\text{C} \leq T_A \leq +125^\circ\text{C}$ (LM741/LM741A). For the LM741C/LM741E, these specifications are limited to $0^\circ\text{C} \leq T_A \leq +70^\circ\text{C}$.

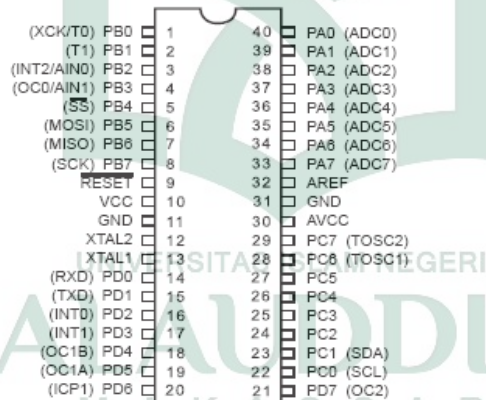
SCHEMATIC DIAGRAM



2. Mikrokontroler AVR ATmega8535

- Merupakan mikrokontroler 8 bit
- Keluarga RISC (*reduced instruction set computer*) kebalikan dari CISC (*complex ISC*)
- Pada CISC mikrokontroler 8 bit, akan terdapat 2^{8-1} instruksi, pada RISC, terdapat $< 2^{8-1} \rightarrow$ lebih menghemat *resource mikro*
- Program dan data ditempatkan di *memory* yang berbeda. Program ditempatkan di memori program, sedangkan data di memori data
- Memori program merupakan *flash memory* yg bisa dihapus-tulis berkali-kali, bersifat *non-volatile* (isi tidak hilang kalau catu dicabut)
- Memori data berupa SRAM (*STATIC RAM*)

ATmega8535 pinout

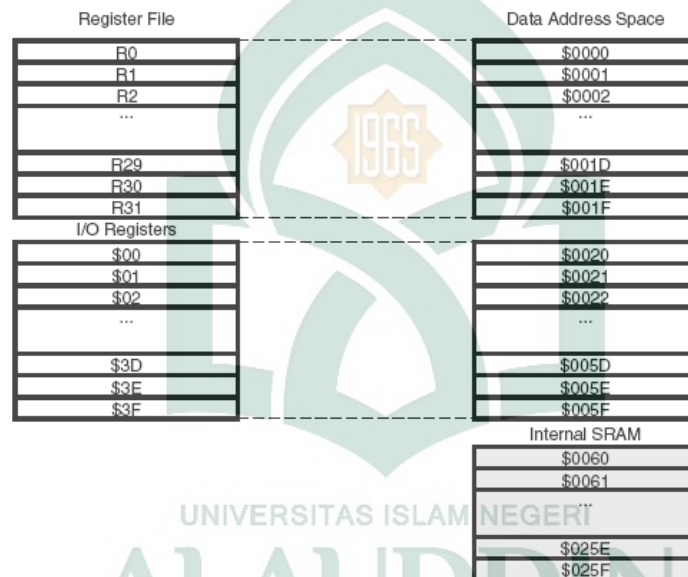


- IC ATmega8535 merupakan IC 40 pin
- PA_x, PB_x, PC_x, PD_x merupakan port I/O. Selain sebagai port I/O
- VCC, AVCC terhubung ke 5 V
- GND terhubung ke 0 V
- *Pin Reset* digunakan untuk mereset mikro. Bersifat aktif rendah
- *Pin XTALx* terhubung ke kristal dan kapasitor
- Selengkapnya baca di *datasheet*

MEMORY MAP

Mikrokontroler AVR memiliki peta memori yang terpisah antara memori data dan program.

- a. **Memory data** : berupa *memory volatile* (RAM) yang terbagi atas :
 - 32 *register General purpose* (alamat 0x00 sampai 0x1F)
 - 64 *register I/O* (alamat 0x20 sampai 0x5F) → *register* yang digunakan untuk mengatur fungsi beberapa *peripheral* mikrokontroler
 - SRAM *internal* (alamat 0x60 sampai 0x25F)



- b. **Memori program** : berupa *flash memory (non volatile)* yang bisa dihapus tulis. *Memory program* tersusun atas *word* (2 byte) karena setiap instruksi memiliki lebar 16 bit atau 32 bit. ATmega8535 memiliki *4KWord flash* dengan alamat 0x000 sampai 0xFFFF. *Flash* tersebut dialamati oleh program counter (PC)

DATA TRANSFER INSTRUCTIONS

Mnemonics	Operands	Description	Operation	Flags	#Clocks
MOV	Rd, Rr	Move Between Registers	$Rd \leftarrow Rr$	None	1
MOVW	Rd, Rr	Copy Register Word	$Rd+1:Rd \leftarrow Rr+1:Rr$	None	1
LDI	Rd, K	Load Immediate	$Rd \leftarrow K$	None	1
LD	Rd, X	Load Indirect	$Rd \leftarrow (X)$	None	2
LD	Rd, X+	Load Indirect and Post-Inc.	$Rd \leftarrow (X), X \leftarrow X + 1$	None	2
LD	Rd, -X	Load Indirect and Pre-Dec.	$X \leftarrow X - 1, Rd \leftarrow (X)$	None	2
LD	Rd, Y	Load Indirect	$Rd \leftarrow (Y)$	None	2
LD	Rd, Y+	Load Indirect and Post-Inc.	$Rd \leftarrow (Y), Y \leftarrow Y + 1$	None	2
LD	Rd, -Y	Load Indirect and Pre-Dec.	$Y \leftarrow Y - 1, Rd \leftarrow (Y)$	None	2
LDD	Rd, Y+q	Load Indirect with Displacement	$Rd \leftarrow (Y + q)$	None	2
LD	Rd, Z	Load Indirect	$Rd \leftarrow (Z)$	None	2
LD	Rd, Z+	Load Indirect and Post-Inc.	$Rd \leftarrow (Z), Z \leftarrow Z + 1$	None	2
LD	Rd, -Z	Load Indirect and Pre-Dec.	$Z \leftarrow Z - 1, Rd \leftarrow (Z)$	None	2
LDD	Rd, Z+q	Load Indirect with Displacement	$Rd \leftarrow (Z + q)$	None	2
LDS	Rd, k	Load Direct from SRAM	$Rd \leftarrow (k)$	None	2
ST	X, Rr	Store Indirect	$(X) \leftarrow Rr$	None	2
ST	X+, Rr	Store Indirect and Post-Inc.	$(X) \leftarrow Rr, X \leftarrow X + 1$	None	2
ST	-X, Rr	Store Indirect and Pre-Dec.	$X \leftarrow X - 1, (X) \leftarrow Rr$	None	2
ST	Y, Rr	Store Indirect	$(Y) \leftarrow Rr$	None	2
ST	Y+, Rr	Store Indirect and Post-Inc.	$(Y) \leftarrow Rr, Y \leftarrow Y + 1$	None	2
ST	-Y, Rr	Store Indirect and Pre-Dec.	$Y \leftarrow Y - 1, (Y) \leftarrow Rr$	None	2
STD	Y+q, Rr	Store Indirect with Displacement	$(Y + q) \leftarrow Rr$	None	2
ST	Z, Rr	Store Indirect	$(Z) \leftarrow Rr$	None	2
ST	Z+, Rr	Store Indirect and Post-Inc.	$(Z) \leftarrow Rr, Z \leftarrow Z + 1$	None	2
ST	-Z, Rr	Store Indirect and Pre-Dec.	$Z \leftarrow Z - 1, (Z) \leftarrow Rr$	None	2
STD	Z+q, Rr	Store Indirect with Displacement	$(Z + q) \leftarrow Rr$	None	2
STS	k, Rr	Store Direct to SRAM	$(k) \leftarrow Rr$	None	2
LPM		Load Program Memory	$R0 \leftarrow (Z)$	None	3
LPM	Rd, Z	Load Program Memory	$Rd \leftarrow (Z)$	None	3
LPM	Rd, Z+	Load Program Memory and Post-Inc	$Rd \leftarrow (Z), Z \leftarrow Z + 1$	None	3
SPM		Store Program Memory	$(Z) \leftarrow R1:R0$	None	-
IN	Rd, P	In Port	$Rd \leftarrow P$	None	1
OUT	P, Rr	Out Port	$P \leftarrow Rr$	None	1
PUSH	Rr	Push Register on Stack	$STACK \leftarrow Rr$	None	2
POP	Rd	Pop Register from Stack	$Rd \leftarrow STACK$	None	2

BIT AND BIT-TEST INSTRUCTIONS

Mnemonics	Operands	Description	Operation	Flags	#Clocks
SBI	P, b	Set Bit in I/O Register	$I/O(P, b) \leftarrow 1$	None	2
CBI	P, b	Clear Bit in I/O Register	$I/O(P, b) \leftarrow 0$	None	2
LSL	Rd	Logical Shift Left	$Rd(n+1) \leftarrow Rd(n), Rd(0) \leftarrow 0$	Z, C, N, V	1
LSR	Rd	Logical Shift Right	$Rd(n) \leftarrow Rd(n+1), Rd(7) \leftarrow 0$	Z, C, N, V	1
ROL	Rd	Rotate Left Through Carry	$Rd(0) \leftarrow C, Rd(n+1) \leftarrow Rd(n), C \leftarrow Rd(7)$	Z, C, N, V	1
ROR	Rd	Rotate Right Through Carry	$Rd(7) \leftarrow C, Rd(n) \leftarrow Rd(n+1), C \leftarrow Rd(0)$	Z, C, N, V	1
ASR	Rd	Arithmetic Shift Right	$Rd(n) \leftarrow Rd(n+1), n=0..6$	Z, C, N, V	1
SWAP	Rd	Swap Nibbles	$Rd(3..0) \leftarrow Rd(7..4), Rd(7..4) \leftarrow Rd(3..0)$	None	1
BSET	s	Flag Set	$SREG(s) \leftarrow 1$	SREG(s)	1
BCLR	s	Flag Clear	$SREG(s) \leftarrow 0$	SREG(s)	1
BST	Rr, b	Bit Store from Register to T	$T \leftarrow Rr(b)$	T	1
BLD	Rd, b	Bit load from T to Register	$Rd(b) \leftarrow T$	None	1
SEC		Set Carry	$C \leftarrow 1$	C	1
CLC		Clear Carry	$C \leftarrow 0$	C	1
SEN		Set Negative Flag	$N \leftarrow 1$	N	1
CLN		Clear Negative Flag	$N \leftarrow 0$	N	1
SEZ		Set Zero Flag	$Z \leftarrow 1$	Z	1
CLZ		Clear Zero Flag	$Z \leftarrow 0$	Z	1
SEI		Global Interrupt Enable	$I \leftarrow 1$	I	1
CLI		Global Interrupt Disable	$I \leftarrow 0$	I	1
SES		Set Signed Test Flag	$S \leftarrow 1$	S	1
CLS		Clear Signed Test Flag	$S \leftarrow 0$	S	1
SEV		Set Twos Complement Overflow	$V \leftarrow 1$	V	1
CLV		Clear Twos Complement Overflow	$V \leftarrow 0$	V	1
SET		Set T in SREG	$T \leftarrow 1$	T	1
CLT		Clear T in SREG	$T \leftarrow 0$	T	1
SEH		Set Half Carry Flag in SREG	$H \leftarrow 1$	H	1
CLH		Clear Half Carry Flag in SREG	$H \leftarrow 0$	H	1

ARITHMETIC AND LOGIC INSTRUCTIONS

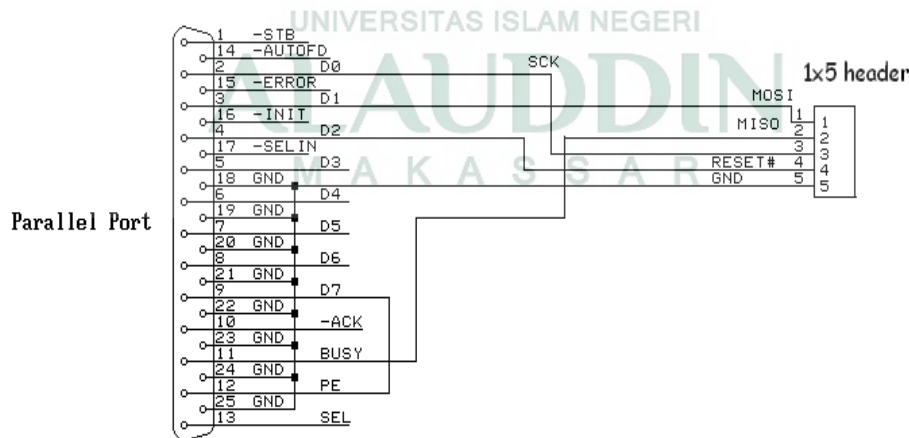
Mnemonics	Operands	Description	Operation	Flags	#Clocks
ADD	Rd, Rr	Add two Registers	$Rd \leftarrow Rd + Rr$	Z,C,N,V,H	1
ADC	Rd, Rr	Add with Carry two Registers	$Rd \leftarrow Rd + Rr + C$	Z,C,N,V,H	1
ADIW	Rd,K	Add Immediate to Word	$Rd \leftarrow Rd + Rd \ll 16 + K$	Z,C,N,V,S	2
SUB	Rd, Rr	Subtract two Registers	$Rd \leftarrow Rd - Rr$	Z,C,N,V,H	1
SUBI	Rd, K	Subtract Constant from Register	$Rd \leftarrow Rd - K$	Z,C,N,V,H	1
SBC	Rd, Rr	Subtract with Carry two Registers	$Rd \leftarrow Rd - Rr - C$	Z,C,N,V,H	1
SBCI	Rd, K	Subtract with Carry Constant from Reg.	$Rd \leftarrow Rd - K - C$	Z,C,N,V,H	1
SBIW	Rd,K	Subtract Immediate from Word	$Rd \leftarrow Rd - Rd \ll 16 - K$	Z,C,N,V,S	2
AND	Rd, Rr	Logical AND Registers	$Rd \leftarrow Rd \wedge Rr$	Z,N,V	1
ANDI	Rd, K	Logical AND Register and Constant	$Rd \leftarrow Rd \wedge K$	Z,N,V	1
OR	Rd, Rr	Logical OR Registers	$Rd \leftarrow Rd \vee Rr$	Z,N,V	1
ORI	Rd, K	Logical OR Register and Constant	$Rd \leftarrow Rd \vee K$	Z,N,V	1
EOR	Rd, Rr	Exclusive OR Registers	$Rd \leftarrow Rd \oplus Rr$	Z,N,V	1
COM	Rd	One's Complement	$Rd \leftarrow 0xFF - Rd$	Z,C,N,V	1
NEG	Rd	Two's Complement	$Rd \leftarrow 0x00 - Rd$	Z,C,N,V,H	1
SBR	Rd,K	Set Bit(s) in Register	$Rd \leftarrow Rd \vee K$	Z,N,V	1
CBR	Rd,K	Clear Bit(s) in Register	$Rd \leftarrow Rd \wedge (0xFF - K)$	Z,N,V	1
INC	Rd	Increment	$Rd \leftarrow Rd + 1$	Z,N,V	1
DEC	Rd	Decrement	$Rd \leftarrow Rd - 1$	Z,N,V	1
TST	Rd	Test for Zero or Minus	$Rd \leftarrow Rd \wedge Rd$	Z,N,V	1
CLR	Rd	Clear Register	$Rd \leftarrow Rd \oplus Rd$	Z,N,V	1
SER	Rd	Set Register	$Rd \leftarrow 0xFF$	None	1
MUL	Rd, Rr	Multiply Unsigned	$R1:R0 \leftarrow Rd \times Rr$	Z,C	2
MULS	Rd, Rr	Multiply Signed	$R1:R0 \leftarrow Rd \times Rr$	Z,C	2
MULSU	Rd, Rr	Multiply Signed with Unsigned	$R1:R0 \leftarrow Rd \times Rr$	Z,C	2
FMUL	Rd, Rr	Fractional Multiply Unsigned	$R1:R0 \leftarrow (Rd \times Rr) \ll \frac{1}{16}$	Z,C	2
FMULS	Rd, Rr	Fractional Multiply Signed	$R1:R0 \leftarrow (Rd \times Rr) \ll \frac{1}{16}$	Z,C	2
FMULSU	Rd, Rr	Fractional Multiply Signed with Unsigned	$R1:R0 \leftarrow (Rd \times Rr) \ll \frac{1}{16}$	Z,C	2

MCU CONTROL INSTRUCTIONS

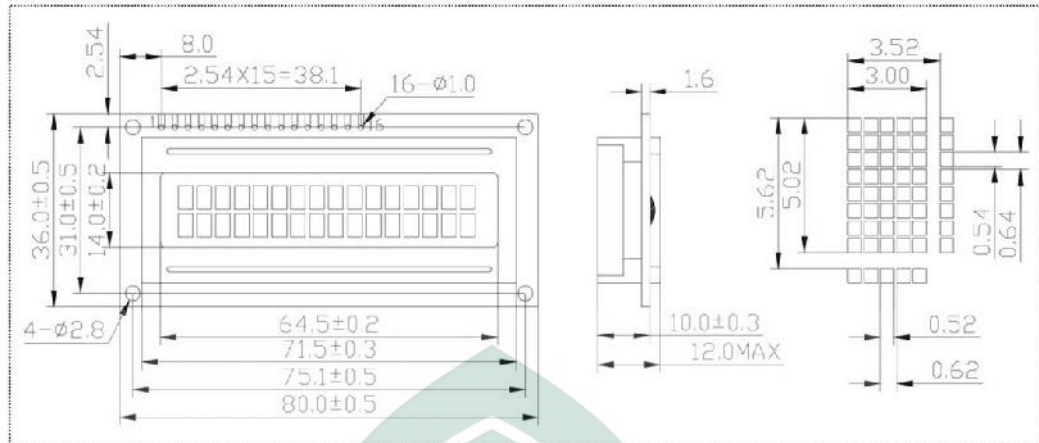
NOP		No Operation		None	1
SLEEP		Sleep	(see specific descr. for Sleep function)	None	1
WDR		Watchdog Reset	(see specific descr. for WDR/Timer)	None	1
BREAK		Break	For On-chip Debug Only	None	N/A

BRANCH INSTRUCTIONS

Mnemonics	Operands	Description	Operation	Flags	#Clocks
RJMP	k	Relative Jump	$PC \leftarrow PC + k + 1$	None	2
LJMP		Indirect Jump to (Z)	$PC \leftarrow Z$	None	2
RCALL	k	Relative Subroutine Call	$PC \leftarrow PC + k + 1$	None	3
ICALL		Indirect Call to (Z)	$PC \leftarrow Z$	None	3
RET		Subroutine Return	$PC \leftarrow STACK$	None	4
RETI		Interrupt Return	$PC \leftarrow STACK$	I	4
CPSE	Rd,Rr	Compare, Skip If Equal	If (Rd = Rr) $PC \leftarrow PC + 2$ or 3	None	1/2/3
CP	Rd,Rr	Compare	$Rd - Rr$	Z, N, V, C, H	1
CPC	Rd,Rr	Compare with Carry	$Rd - Rr - C$	Z, N, V, C, H	1
CPI	Rd,K	Compare Register with Immediate	$Rd - K$	Z, N, V, C, H	1
SBRC	Rr, b	Skip If Bit in Register Cleared	If (Rr(b)=0) $PC \leftarrow PC + 2$ or 3	None	1/2/3
SBRS	Rr, b	Skip If Bit in Register Is Set	If (Rr(b)=1) $PC \leftarrow PC + 2$ or 3	None	1/2/3
SBIC	P, b	Skip If Bit in I/O Register Cleared	If (P(b)=0) $PC \leftarrow PC + 2$ or 3	None	1/2/3
SBIS	P, b	Skip If Bit in I/O Register Is Set	If (P(b)=1) $PC \leftarrow PC + 2$ or 3	None	1/2/3
BRBS	s, k	Branch If Status Flag Set	If (SREG(s) = 1) then $PC \leftarrow PC + k + 1$	None	1/2
BRBC	s, k	Branch If Status Flag Cleared	If (SREG(s) = 0) then $PC \leftarrow PC + k + 1$	None	1/2
BREQ	k	Branch If Equal	If (Z = 1) then $PC \leftarrow PC + k + 1$	None	1/2
BRNE	k	Branch If Not Equal	If (Z = 0) then $PC \leftarrow PC + k + 1$	None	1/2
BRCS	k	Branch If Carry Set	If (C = 1) then $PC \leftarrow PC + k + 1$	None	1/2
BRCC	k	Branch If Carry Cleared	If (C = 0) then $PC \leftarrow PC + k + 1$	None	1/2
BRSH	k	Branch If Same or Higher	If (C = 0) then $PC \leftarrow PC + k + 1$	None	1/2
BRLO	k	Branch If Lower	If (C = 1) then $PC \leftarrow PC + k + 1$	None	1/2
BRMI	k	Branch If Minus	If (N = 1) then $PC \leftarrow PC + k + 1$	None	1/2
BRPL	k	Branch If Plus	If (N = 0) then $PC \leftarrow PC + k + 1$	None	1/2
BRGE	k	Branch If Greater or Equal, Signed	If (N @ V = 0) then $PC \leftarrow PC + k + 1$	None	1/2
BRLT	k	Branch If Less Than Zero, Signed	If (N @ V = 1) then $PC \leftarrow PC + k + 1$	None	1/2
BRHS	k	Branch If Half Carry Flag Set	If (H = 1) then $PC \leftarrow PC + k + 1$	None	1/2
BRHC	k	Branch If Half Carry Flag Cleared	If (H = 0) then $PC \leftarrow PC + k + 1$	None	1/2
BRTS	k	Branch If T Flag Set	If (T = 1) then $PC \leftarrow PC + k + 1$	None	1/2
BRTC	k	Branch If T Flag Cleared	If (T = 0) then $PC \leftarrow PC + k + 1$	None	1/2
BRVS	k	Branch If Overflow Flag Is Set	If (V = 1) then $PC \leftarrow PC + k + 1$	None	1/2
BRVC	k	Branch If Overflow Flag Is Cleared	If (V = 0) then $PC \leftarrow PC + k + 1$	None	1/2
BRIE	k	Branch If Interrupt Enabled	If (I = 1) then $PC \leftarrow PC + k + 1$	None	1/2
BRID	k	Branch If Interrupt Disabled	If (I = 0) then $PC \leftarrow PC + k + 1$	None	1/2



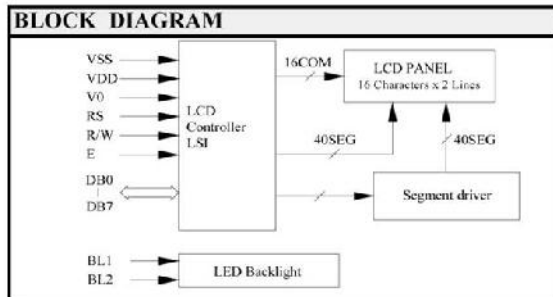
3. LCD 16X2



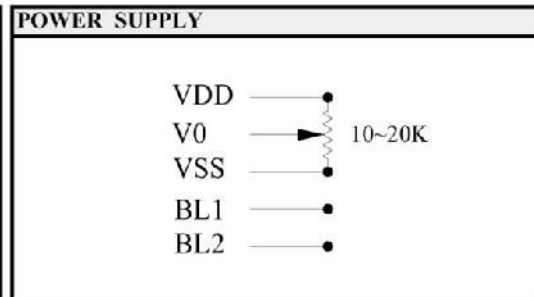
MECHANICAL DATA		
Item	Nominal Dimensions	Unit
Module Size(W×H×T)	80.0×36.0×12.0	mm
Viewing Area(W×H)	64.5×14.0	mm
Character Size(W×H)	3.00×5.02	mm
Dot Size(W×H)	0.52×0.54	mm

ABSOLUTE MAXIMUM RATINGS					
Item	Symbol	Min	Type	Max	Unit
Operating Voltage	VDD	4.5	5.0	5.5	V
Operating Current	IDD	1.0	1.3	1.5	mA
LED Voltage	V _{LED}	1.5	5.0	5.5	V
LED Current	I _{LED}	75	140	200	mA
Operating Temp.	T _{opr}	-20	—	+70	°C
Storage Temp.	T _{sto}	-30	—	+80	°C

ELECTRICAL CHARACTERISTICS					
Item	Symbol	Min	Type	Max	Unit
Input High Voltage	V _{IH}	2.2	—	VDD	V
Input Low Voltage	V _{IL}	0	—	0.6	V
Output High Voltage	V _{OH}	2.4	—	VDD	V
Output Low Voltage	V _{OL}	0	—	0.4	V



PIN CONNECTIONS			
PIN	Symbol	Level	Function
1	VSS	—	GND(0V)
2	VDD	—	Supply Voltage for Logic(+5V)
3	V0	—	Power supply for LCD
4	RS	H/L	H: Data; L: Instruction Code
5	R/W	H/L	H: Read; L: Write
6	E	H/L	Enable Signal
7	DB0	H/L	Data Bus Line
8	DB1	H/L	
9	DB2	H/L	
10	DB3	H/L	
11	DB4	H/L	
12	DB5	H/L	
13	DB6	H/L	
14	DB7	H/L	
15	BL1	—	Backlight Power(+5V)
16	BL2	—	Backlight Power(0V)



4. RELAY

Tyco Electronics Relay Products

A.E. Petsche offers the complete line of Tyco Electronics relay products including these popular mil. spec and OEM models. Customized designs are also available upon request

Specification	Tyco Electronics Product	Category
AN3303-2	CII Custom Relays	High Power
AN3308-2	CII Custom Relays	High Power
AN3320-1	CII Custom Relays	High Power
AN3324-1	CII Custom Relays	High Power
DSCC DWG. 85092	CII Solid State Relays	High Power
DSCC DWG. 86031	CII Solid State Relays	High Power
DSCC DWG. 88062	CII Solid State Relays	High Power
DSCC DWG. 89116	CII Solid State Relays	High Power
DSCC DWG. 90091	CII Solid State Relays	High Power
MIL-DTL-83725/1	KILOVAC High Voltage Relays	High Power
MIL-DTL-83725/2	KILOVAC High Voltage Relays	High Power
MIL-DTL-83725/4	KILOVAC High Voltage Relays	High Power
MIL-DTL-83725/5	KILOVAC High Voltage Relays	High Power
MIL-DTL-83725/10	KILOVAC High Voltage Relays	High Power
MIL-DTL-83725/16	KILOVAC High Voltage Relays	High Power
MIL-DTL-83725/18	KILOVAC High Voltage Relays	High Power
MIL-DTL-83725/21	KILOVAC High Voltage Relays	High Power
MIL-DTL-83725/24	KILOVAC High Voltage Relays	High Power
MIL-PRF-28750/5	CII Solid State Relays	High Power
MIL-PRF-28750/6	CII Solid State Relays	High Power
MIL-PRF-28750/7	CII Solid State Relays	High Power
MIL-PRF-28750/9	CII Solid State Relays	High Power
MIL-PRF-28750/10	CII Solid State Relays	High Power
MIL-PRF-28776/1	CII TO-5 &.100 Signal Level Hybrid Relays	Signal
MIL-PRF-28776/3	CII TO-5 &.100 Signal Level Hybrid Relays	Signal
MIL-PRF-28776/4	CII TO-5 &.100 Signal Level Hybrid Relays	Signal
MIL-PRF-28776/5	CII TO-5 &.100 Signal Level Hybrid Relays	Signal
MIL-PRF-28776/6	CII TO-5 &.100 Signal Level Hybrid Relays	Signal
MIL-PRF-28776/7	CII TO-5 &.100 Signal Level Hybrid Relays	Signal
MIL-PRF-6106/15	HARTMAN Contactors	High Power
MIL-PRF-6106/26	HARTMAN Contactors	High Power
MS24185	HARTMAN Contactors	High Power
MS27750	HARTMAN Contactors	High Power
MIL-PRF-6106/19	CII FCA-125 Midrange Relays	Midrange
MIL-PRF-83536/1	CII FCB-205 Midrange Relays	Midrange
MIL-PRF-83536/2	CII FCB-205 Midrange Relays	Midrange

MIL-PRF-85536/5	CII FCB-405 Midrange Relays	Midrange
MIL-PRF-85536/6	CII FCB-405 Midrange Relays	Midrange
MIL-PRF-85536/9	CII FCA-210 Midrange Relays	Midrange
MIL-PRF-85536/10	CII FCA-210 Midrange Relays	Midrange
MIL-PRF-85536/15	CII FCA-410 Midrange Relays	Midrange
MIL-PRF-85536/16	CII FCA-410 Midrange Relays	Midrange
MIL-PRF-85536/25	CII FCA-610 Midrange Relays	Midrange
MIL-PRF-85536/26	CII FCA-610 Midrange Relays	Midrange
MIL-PRF-85536/32	CII FCA-325 Midrange Relays	Midrange
MIL-PRF-85536/33	CII FCA-325 Midrange Relays	Midrange
MIL-PRF-85536/13	CII Time Delay Relays	High Power
MIL-R-5757/1	CII Full Size Signal Level Electromechanical Relays	Signal
MIL-R-5757/7	CII Full Size Signal Level Electromechanical Relays	Signal
MIL-R-5757/8	CII Full Size Signal Level Electromechanical Relays	Signal
MIL-R-5757/10	CII Full Size Signal Level Electromechanical Relays	Signal
MIL-R-5757/13	CII Full Size Signal Level Electromechanical Relays	Signal
MIL-R-5757/23	CII Full Size Signal Level Electromechanical Relays	Signal
MS27245	CII Full Size Signal Level Electromechanical Relays	Signal
MS27247	CII Full Size Signal Level Electromechanical Relays	Signal
MIL-PRF-39016/32	CII Full Size Signal Level Electromechanical Relays	Signal
MIL-PRF-39016/34	CII Full Size Signal Level Electromechanical Relays	Signal
NASA S-311-P-754	CII 1/5 Size Signal Level Electromechanical Relays	Signal
NAVSEA DWG. 5496664	CII Solid State Relays	High Power

5. INFRARED

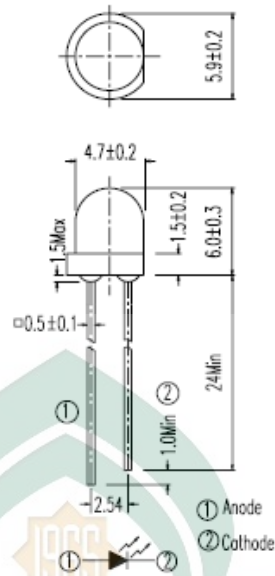
Descriptions

1. Everlight's infrared emitting diode (IR323/H0-A) is a high intensity diode, molded in a blue transparent plastic package .
2. The device is spectrally matched with phototransistor. Photodiode and infrared receiver module.

Applications

1. Free air transmission system
2. Infrared remote control units with high power requirement
3. Smoke detector
4. Infrared applied system

Package Dimensions



- Notes: 1. All dimensions are in millimeters
2. Tolerances unless dimensions ± 0.25 mm

Absolute Maximum Ratings ($T_a = 25^\circ\text{C}$)

Parameter	Symbol	Rating	Units
Continuous Forward Current	I_F	100	mA
Peak Forward Current	I_{FP}	1.0	A
Reverse Voltage	V_R	5	V
Operating Temperature	T_{opr}	$-40 \sim +85$	$^\circ\text{C}$
Storage Temperature	T_{stg}	$-40 \sim +85$	$^\circ\text{C}$
Soldering Temperature	T_{sol}	260	$^\circ\text{C}$
Power Dissipation at (or below) 25 $^\circ\text{C}$ Free Air Temperature	P_d	150	mW

Notes: *1: I_{FP} Conditions--Pulse Width $\leq 100 \mu\text{s}$ and Duty $\leq 1\%$.

*2: Soldering time ≤ 5 seconds.

Electro-Optical Characteristics (Ta=25°C)

Parameter	Symbol	Condition	Min.	Typ.	Max.	Units
Radiant Intensity	Ee	I _F =20mA	2.0	3.5	--	mW/sr
		I _F =100mA Pulse Width ≤ 100 μs ,Duty ≤ 1%	--	15	--	
		I _F =1A Pulse Width ≤ 100 μs ,Duty ≤ 1%.	--	160	--	
Peak Wavelength	λ _p	I _F =20mA	--	940	--	nm
Spectral Bandwidth	Δ λ	I _F =20mA	--	45	--	nm
Forward Voltage	V _F	I _F =20mA		1.2	1.5	V
		I _F =100mA Pulse Width ≤ 100 μs ,Duty ≤ 1%	--	1.4	1.8	
		I _F =1A Pulse Width ≤ 100 μs ,Duty ≤ 1%.	--	2.6	4.0	
Reverse Current	I _R	V _R =5V	--	--	10	μ A
View Angle	2 θ 1/2	I _F =20mA	--	60	--	deg

Rank

Condition : I_F=20mA

Unit : mW/sr

Bin Number	H	J	K
Min	2.0	2.8	4.0
Max	3.2	4.5	6.4